



(12) BẢN MÔ TẢ SÁNG CHẾ THUỘC BẰNG ĐỘC QUYỀN SÁNG CHẾ
(19) Cộng hòa xã hội chủ nghĩa Việt Nam (VN) (11) 
CỤC SỞ HỮU TRÍ TUỆ
(51)^{2020.01} A01H 1/04; C12N 15/82; C12Q 1/68; (13) B
A01H 5/00

1-0045021

-
- (21) 1-2020-06751 (22) 03/09/2014
(62) 1-2016-01146
(86) PCT/EP2014/002386 03/09/2014 (87) WO 2015/032494 12/03/2015
(30) 10 2013 014 637.2 04/09/2013 DE; 10 2014 005 823.9 24/04/2014 DE
(45) 25/04/2025 445 (43) 26/04/2021 397A
(71) 1. KWS SAAT SE (DE)
BDT-LIP, Grimsehlstrasse 31, 37555 Einbeck, Germany
2. Universität Zürich (CH)
Rämistr. 71, CH-8006 Zürich, Switzerland
(72) OUZUNOVA, Milena (DE); SCHEUERMANN, Daniela (DE); KELLER, Beat
(CH); KRATTINGER, Simon (CH); WICKER, Thomas (CH); HERREN, Gerhard
(CH); HURNI, Severine (CH); KESSEL, Bettina (DE); PRESTERL, Thomas (DE);
KNAAK, Carsten (DE).
(74) Công ty TNHH Tâm nhìn và Liên danh (VISION & ASSOCIATES CO.LTD.)
-
- (54) PHƯƠNG PHÁP NHẬN BIẾT CÂY NGÔ KHÁNG HELMINTHOSPORIUM
TURCICUM

(21) 1-2020-06751

(57) Sáng chế đề xuất cây ngô kháng *Helminthosporium turcicum* và các phần của cây ngô này. Sáng chế cũng đề xuất phương pháp nhận biết cây ngô kháng *Helminthosporium turcicum*, cũng như phương pháp làm tăng năng suất của cây ngô kháng *H. turcicum*.

Lĩnh vực kỹ thuật được đề cập

Sáng chế đề cập đến lĩnh vực biến đổi cây bằng cách sử dụng các phương pháp sinh học phân tử và công nghệ chỉ thị, cùng với kỹ thuật thiết kế di truyền. Sáng chế đề cập đến cây có tính kháng *Helminthosporium turcicum*, cụ thể là cây ngô chứa polynucleotit có một hoặc nhiều gen truyền tính kháng trên đoạn nhiễm sắc thể cài biến từ giống *Pepitilla* đăng ký, cũng như té bào, mô, phần, hạt và hạt giống của nó, polynucleotit được phân lập chứa một hoặc nhiều gen truyền tính kháng *Helminthosporium turcicum*, vectơ, té bào cây chuyển gen và cây chuyển gen chứa polynucleotit này. Sáng chế cũng bao gồm chỉ thị phân tử thích hợp và ứng dụng của chúng để đưa locus kháng hoặc gen chuyển vào cây, cũng như nhận biết các cây ngô cài tiến chứa đoạn nhiễm sắc thể cài biến.

Tình trạng kỹ thuật của sáng chế

Ở cây ngô (*Zea mays L.*), có một lượng tác nhân gây bệnh nấm lớn gây bệnh cho lá. Loại nấm có thể gây thiệt hại nhiều nhất trong điều kiện khí hậu đới cũng như khí hậu ôn đới, như các điều kiện khí hậu ở phần lớn châu Âu và Bắc Mỹ cũng như ở châu Phi và Ấn Độ, được biết đến là *Helminthosporium turcicum* hay còn gọi là bệnh đốm lá (*Exserohilum turcicum*) (Pass.) Leonard and Suggs (teleomorph: *Setosphaeria turcica* (Luttrell) Leonard & Suggs). *H. turcicum* là nguyên nhân gây bệnh đốm lá được biết đến là “bệnh đốm lá to ở ngô” (Northern Corn Leaf Blight - NCLB), mà có thể xuất hiện ở tầm cỡ dịch bệnh vào các năm mưa nhiều, tấn công các giống ngô dễ bị gây hại và gây thiệt hại lớn và làm giảm năng suất đáng kể 30% và cao hơn trên diện rộng (Perkins & Pedersen, 1987; Raymundo & Hooker, 1981a; Ullstrup & Miles, 1957). Từ sau những năm 1970 thì tính kháng tự nhiên trong vật liệu di truyền đã được tìm kiếm. Hiện nay, đã biết về tính kháng theo định lượng và theo định tính. Mặc dù tính kháng định lượng di truyền một gen và nhiều gen xuất hiện chưa đầy đủ và không đặc hiệu ở kiểu hình theo nòi và bị ảnh hưởng bởi các gen bổ sung và các gen trội một phần, nhưng tính kháng theo định tính thường vẫn đặc hiệu nòi và có thể được di truyền thông qua các gen đơn lẻ, chủ yếu là các gen trội như *Ht1*,

Ht2, *Ht3*, *Htm1* hoặc *Htn1* (Lipps *et al.*, 1997; Welz & Geiger, 2000). Việc lai ngược dòng ở nhiều dòng ngô lai nội dòng thông dụng như W22, A619, B37 hoặc B73 thành công đem đến sự lai nhập gen của các gen HT, trong đó chúng có tính trội một phần và biểu hiện như chức năng của nền di truyền tương ứng (Welz, 1998).

Bất chấp kiến trúc di truyền phức tạp của tính kháng NCLB này ở cây ngô, đến hiện tại thì về cơ bản việc sử dụng gen *Ht1* ở cây ngô cùng với tính kháng định lượng một phần là đủ để kiểm soát helminthosporiosis (Welz, 1998). Cơ sở cho điều này là trên toàn cầu, nòi 0 của *H. turcicum* được sử dụng nhiều (khoảng 55%) (Lipps *et al.*, 1997; Ferguson & Carson, 2007), còn các nòi khác như 2N và 23N chỉ hiếm khi được sử dụng và ngay cả ở vùng bị giới hạn về mặt địa lý (Moghaddam & Pataky, 1994; Jordan *et al.*, 1983; Lipps & Hite, 1982; Thakur *et al.*, 1989; Welz, 1998). Nòi 0 này không có độc lực trên cây ngô mang *Ht1*, sao cho khi được truyền tính kháng định lượng thích hợp vào, thì nó sẽ có đủ tính kháng tổng thể với NCLB. Tuy nhiên, nhiều nghiên cứu đã báo cáo về sự phát tán gia tăng của các nòi ít phổ biến hơn (Jordan *et al.*, 1983; Welz, 1998; Pratt & Gordon, 2006). Nguyên nhân của hiện tượng này có liên hệ với động học của quần thể mầm bệnh mà phép thay đổi độc lực của mầm bệnh thông qua các đột biến mới trên các gen không có độc lực và thông qua tổ hợp mới của các gen có độc lực sẵn có. Cuối cùng, việc này có thể dẫn đến sự xuất hiện các nòi gây bệnh mới, thích hợp, đôi khi có tính xâm lấn cao hơn. Ở Brazil chẳng hạn, quần thể *H. turcicum* về thực chất có vẻ đã đa dạng hơn về hợp phần nòi so với, ví dụ, ở Bắc Mỹ. Gianasi *et al.* (1996) đã báo cáo về các nòi *H. turcicum* bị tiêu diệt bởi tính kháng do gen *Ht1* tạo ra. Ngoài ra, các gen kháng có thể không ổn định với một số yếu tố môi trường nhất định như nhiệt độ và cường độ ánh sáng ở một số vùng khí hậu (Thakur *et al.*, 1989). Diễn biến này dẫn tới kết quả là, toàn cầu đang gia tăng tầm quan trọng của việc sử dụng các gen kháng HT mới hoặc các gen mà từ trước đến nay ít được chú ý đến để tạo ra các cây ngô thương mại nhằm có được tính kháng rộng hơn và lâu dài hơn với *H. turcicum* ở cây ngô. Phương pháp đầu tiên cho mục đích này được Pataky *et al.* nỗ lực đưa ra sớm từ năm 1998. Tính kháng NCLB ở cây ngô ưu tú *sh2* được cải thiện bằng cách sử dụng tổ hợp của *Ht1* và *Htn1*.

Nguồn cung cấp tính kháng *Htn1* đơn gen là giống Mehico “Pepitilla” (Gevers, 1975). Các dòng lai nhập gen *Htn1* có bản đồ gen trên nhánh dài của nhiễm sắc thể 8 cách khoảng 10 cM tính từ *Ht2* và 0,8 cM tính từ chỉ thị RFLP umc117 (bin 8.06) (Simcox & Bennetzen, 1993). Trái với các gen kháng HT thông thường, *Htn1* tạo ra tính kháng bằng cách làm chậm quá trình hình thành bào tử, và vì vậy, ngăn chặn sự phát triển của các tổn thương. Kết quả là, sẽ tạo ra tổn thương ít hơn, nhỏ hơn cũng như giảm các vùng hình thành bào tử (Raymundo *et al.*, 1981b, Simcox & Bennetzen, 1993). Không hình thành các tổn thương úa vàng-hoại tử như các tổn thương xuất hiện cùng với tính kháng do *Ht1*, *Ht2* hoặc *Ht3* tạo ra (Gevers, 1975). Tuy nhiên, phản ứng kháng ở trạng thái dị hợp tử của gen *Htn1* cho hiệu quả thấp hơn nhiều so với khi ở trạng thái đồng hợp tử (Raymundo *et al.*, 1981b).

Việc phát triển các chỉ thị đặc hiệu bổ sung mà còn có thể giúp quá trình xác định kiểu gen đơn giản hơn nữa làm cải thiện khả năng kiểm soát sinh sản của gen *Htn1*. Theo đó, công nghệ chọn lọc nhờ chỉ thị (marker assisted selection - MAS) khiến cho việc xếp chồng hoặc tạo tháp cho vài gen kháng có thể đạt hiệu quả (Min *et al.*, 2012). Các dòng lai nhập gen B37*Htn1* hoặc W22*Htn1* được dùng trong nhiều nghiên cứu lập bản đồ cho locus kháng và xác định nguồn kháng (Raymundo *et al.*, 1981a, b; Simcox & Bennetzen, 1993, Bar-Zur *et al.*, 1998; Coates & White, 1998). Tuy nhiên, các thông tin có sẵn về chỉ thị có thể được sử dụng để chọn lọc locus kháng cho *Htn1* từ Pepitilla đăng ký vẫn còn bị hạn chế (Simcox & Bennetzen, 1993). Các chỉ thị đã biết cho *Htn1* mà hữu dụng và chẩn locus kháng khỏi Pepitilla đăng ký vẫn được lập bản đồ ở vị trí gần cách 22,2 cM, mà trong trường hợp tốt nhất cho phép chọn lọc đoạn nhiễm sắc thể lớn. Tuy nhiên, có một nguy cơ thường trực bên trong đoạn này, ở giữa các chỉ thị, đó là xảy ra sự tái tổ hợp di truyền đôi mà có thể dẫn đến việc chọn lọc dương tính giả đối với locus kháng *Htn1*. Ngoài ra, trong một số trường hợp, xác suất các vùng di truyền không mong muốn được kết hợp vào dòng lai nhập gen sẽ tăng theo kích cỡ của đoạn nhiễm sắc thể được lai nhập gen và được truyền qua các thế hệ của dòng ưu tú. Các vùng di truyền này, đặc biệt là khi chúng kết hợp nghiêm ngặt với locus *Htn1* và dẫn đến tác động tiêu cực rõ rệt đến một hoặc nhiều đặc tính nông học, được biết đến là liên kết bất lợi. Tuy nhiên, theo các nghiên cứu đã biết mà tiến hành và sử dụng các dòng lai nhập gen mang *Htn1* từ Pepitilla, thì các tác động tiêu cực như vậy

chưa được biết đến. Ngay cả trong công trình nghiên cứu rất toàn diện của Welz (1998), không kể những cái khác, mà cũng được thực hiện trên B37Htn1, cũng mặc nhiên công nhận rằng xét trên khía cạnh chẳng hạn như năng suất và độ chín thì việc lai nhập gen locus *Htn1* không đem đến nhược điểm đáng kể nào. Vì vậy, không có nhiều nỗ lực trong tình trạng kỹ thuật trước đây nhằm rút ngắn đoạn nhiễm sắc thể lớn.

Ngược lại, WO 2011/163590 bộc lộ kiểu gen PH99N dưới dạng nguồn thay thế cho tính kháng NCLB trên nhiễm sắc thể 8 bin 5, tuy nhiên, nó không tương ứng với *Pepitilla* đăng ký. Về cơ bản, chỉ có tính kháng liên quan tới nòi 0 và nòi 1 của *H. turcicum* là được nhận biết trong các quần thể lai ngược dòng từ PH99N. Thậm chí là kiểu hình kháng vẫn không được xác định rõ ràng. Tuy nhiên, các tác giả đã kết luận rằng tính kháng này là do gen *Htn1*. Nhưng locus kháng ở PH99N bị giới hạn ở duy nhất đoạn nhiễm sắc thể dài ~224kb; tuy nhiên cây ngô có tính kháng lại mang đoạn 224 kb và do đó *Htn1* giả định không được bộc lộ. Ngoài ra, kiểu gen PH99N này cũng không được công khai thông qua nộp lưu.

Một phương pháp thay thế để tạo ra gen *Htn1* hữu ích là nhận biết và tách dòng gen kháng và sử dụng nó trong chiến lược chuyển gen.

Với dự định nhận biết gen kháng cho NCLB, năm 2010, Chung *et al.* 2010 đã công bố nghiên cứu nhằm lập bản đồ chi tiết cho locus kháng bin 8.06. Tuy nhiên đoạn nhiễm sắc thể được nghiên cứu không có nguồn gốc từ *Pepitilla* mà là từ ngô lai DK888 có tính kháng nhiều bệnh. Các nghiên cứu về tính đặc hiệu nòi *Helminthosporium* ban đầu cho thấy rõ ràng locus kháng trên DK888, được ký hiệu là *qNLB8.06_{DK888}*, liên kết nghiêm ngặt hoặc liên kết chức năng với các gen *Ht2* và *Htn1*, do các chủng *Helminthosporium* 23 và 23N có độc lực (Chung *et al.*, 2008). Tuy nhiên công đoạn phát hiện dương về sự có mặt của *Htn1* không được thực hiện, khi không có thể phân lập N tinh khiết từ *H. turcicum*. Ngoài ra, kiểu hình kháng có *qNLB8.06_{DK888}* cũng không tương ứng với kiểu hình được mong đợi liên quan đến sự xuất hiện các tổn thương gây úa vàng và làm chậm quá trình hình thành tổn thương. Các nghiên cứu khác được thực hiện chi tiết trong Chung *et al.* (2010) cuối cùng đã cung cấp các bằng chứng cho thấy *qNLB8.06_{DK888}* giống hệt với, alen, liên kết nghiêm ngặt hoặc liên kết chức năng với *Ht2*, chứ không với *Htn1*. Locus kháng

qNLB8.06_{DK888} có thể được gán cho đoạn nhiễm sắc thể 0,46 Mb. Chú thích hệ gen của đoạn nhiễm sắc này dùng để chỉ 12 khung đọc mở giả định, ba trong số đó có thể tương ứng là gen giống protein kinaza tiếp đôi (GRMZM2G135202; GRMZM2G164612) hoặc gen giống protein phosphataza (GRMZM2G119720) và mỗi khung đọc mở này đều cấu thành các gen ứng viên đầy hứa hẹn cho gen kháng *Ht2* (Chung *et al.*, 2010). Quy trình xác thực chức năng không được mô tả.

Ngoài ra, WO 2011/163590 A1 cũng đã diễn giải gen *Htn1* giả định trong nguồn kháng PH99N là gen giống protein kinaza tiếp đôi (GRMZM2G451147) và nêu trình tự di truyền của nó, nhưng cũng không xác định chức năng của nó, ví dụ, ở cây ngô chuyển gen.

Bản chất kỹ thuật của sáng chế

Sáng chế bắt nguồn từ tình trạng kỹ thuật được mô tả ở trên; mục tiêu của sáng chế là đề xuất cây ngô có tính kháng với mầm bệnh *Helminthosporium turcicum* từ thê cho *Pepitilla* và trong đó đặc tính nông học của các cây ngô đã biết có thể được phủ tính kháng từ thê cho *Pepitilla*.

Mô tả văn tắt các hình vẽ

Các phương án và biến thể của sáng chế sẽ được mô tả dựa trên các hình vẽ và trình tự kèm theo, trong đó:

Fig.1: Vùng QTL tính được là 23,11 cM trên nhiễm sắc thể 8 bằng cách sử dụng 8 chỉ thị trong 528 cá thể F2 của con lai RP1 x RP1HTN1. Đường màu đen (HtN) thể hiện khoảng tin cậy. Vị trí của các chỉ thị là theo cM.

Fig.2: Thủ nghiệm năng suất ủ chua ở 5 vị trí ở Đức và lặp lại hai lần, với bô mẹ tuần hoàn RP3 và phiên bản A của đoạn cho từ B37HTN1 (RP3HTNA) và phiên bản K của đoạn cho từ B37HTN1 (RP3HTNK). Các đường này thể hiện các chênh lệch đáng kể bằng cách sử dụng kiểm định t, với p = 0,05.

Fig.3: mô tả các vùng chỉ thị từ M1 đến M6 mà định ra các khoảng nhiễm sắc thê (Int. 1 đến Int. 5) biểu hiện polynucleotit truyền tính kháng trong dòng nhập gen và mang liên kết bát lợi trong đoạn nhiễm sắc thê bắt nguồn từ thê cho. Đoạn nhiễm sắc thê của thê cho (*Pepitilla*) được thể hiện là các vùng chấm, “*Pepitilla*” của bô mẹ

tuần hoàn (không có liên kết bất lợi) được thể hiện là các vùng có đường gạch chéo. Khoảng 1 (Int. 1) bao gồm locus kháng HTN1, khoảng 2 (Int. 2) bao gồm vùng trình tự chịu trách nhiệm về liên kết bất lợi trong thời gian ra hoa trong thể cho, khoảng 4 và khoảng 5 (Int. 4 và Int. 5) bao gồm các vùng trình tự chịu trách nhiệm về liên kết bất lợi của năng suất ủ chua trong thể cho.

Fig.4: contig BAC trên ngân hàng RP4HTN1 BAC của nó với chủ thích về khung trình tự và gen tương ứng. Các gen ứng viên được thể hiện trong các hộp hình vuông. Các mũi tên màu đen là các gen được diễn giải thêm mà không phải là các gen ứng cử cho tính kháng HTN.

Mô tả chi tiết sáng chế

Một mặt, mục tiêu nêu trên được thực hiện bằng cách tạo ra cây ngô có hệ gen đã được kết hợp đoạn nhiễm sắc thể từ Pepitilla cho, trong đó đoạn nhiễm sắc thể này chứa khoảng cho (sau đây được gọi là khoảng thứ nhất hoặc khoảng 1) có các alen cho theo haplotyp thể hiện trong Bảng 2 và polynucleotit tạo ra tính kháng với *Helminthosporium turcicum* ở cây ngô, và trong đó đoạn nhiễm sắc thể này không chứa khoảng cho tiếp tục (sau đây được đặt tên là khoảng thứ hai hoặc khoảng 2) giữa chỉ thị ở vùng chỉ thị thứ nhất (M1) có bên sườn là các chỉ thị SYN14136 và PZE-108076510 và chỉ thị ở vùng chỉ thị thứ hai (M2) có bên sườn là các chỉ thị SYN24931 và PZE-108077560. Giải pháp này và các giải pháp khác cho vấn đề này, được mô tả dưới đây, có thể dựa trên chương trình sinh sản để kết hợp locus *Htn1* từ Pepitilla vào dòng ngô. Tuy nhiên, các phương pháp thiết kế di truyền cũng có thể được chọn, cây theo sáng chế có thể được tạo ra nhờ các phương pháp này. Các ví dụ về chiến lược thiết kế di truyền được mô tả chi tiết hơn dưới đây. Để tạo ra cây theo sáng chế, có thể sử dụng nhiều kiểu gen khác nhau từ tình trạng kỹ thuật. Cụ thể là, B37HTN1, chứa locus kháng cho giống “Pepitilla”, được sử dụng làm dòng gốc. Bên cạnh chính Pepitilla và B37HTN1 (còn được biết trong tình trạng kỹ thuật là B37HtN), thì hầu hết kiểu gen ngô bất kỳ có thể được yêu cầu để kết hợp locus *Htn1* vào hệ gen của cây nhằm tạo ra cây ngô theo sáng chế, cụ thể là trên nhiễm sắc thể 8 bin 5 hoặc 6, thể nhập gen của locus kháng *Htn1* từ Pepitilla đã được xen vào. Về vấn đề này, đã có nhiều ví dụ về kiểu gen trong tình trạng kỹ thuật, ví dụ: W22Htn (ví dụ, Bar-Zur et al., 1998);

H6314Htn (ví dụ, Bar-Zur et al., 1998), *B73HtN* (ví dụ, Shimoni et al., Journal of Phytopathology 131:4 (1991), 315-321), *B68HtN* và *A632HtN* (ví dụ, Carson, Plant Disease 79 (1995), 717-720) và *A619HtN* (ví dụ, Stanković et al, Genetika 39:2 (2007), 227 -240). Ở cây ngô theo sáng chế, đoạn nhiễm sắc thể có nguồn gốc từ thẻ cho *Pepitilla*; theo một phương án được ưu tiên của cây ngô theo sáng chế, đoạn nhiễm sắc thể có nguồn gốc từ *B37HTN1* cho hoặc một từ kiểu gen ngô khác như trich dã ở trên. Ví dụ, *B37HTN1* có thể được đặt hàng từ Kho trung tâm Maize Genetics COOP sử dụng ID kho 65749.

Đoạn nhiễm sắc thể kết hợp vào hệ gen của cây ngô theo sáng chế có nguồn gốc từ *Pepitilla* cho, như đã biết, chứa locus kháng *HTN1*. Vị trí nhập gen của locus kháng này được định vị trên nhánh dài của nhiễm sắc thể 8, bin 8.05 – 8.06. Đoạn nhiễm sắc thể được kết hợp này chứa khoảng cho thứ nhất mà chứa polynucleotit tạo ra tính kháng kháng *Helminthosporium turcicum* ở cây ngô theo sáng chế. Về vấn đề này, polynucleotit này chứa một hoặc nhiều gen tạo ra tính kháng của locus *HTN1* từ *Pepitilla* (Bảng 1) hoặc các alen gen của nó. Trong điều kiện xâm nhiễm *H. turcicum*, gen hoặc alen gen này có thể tạo ra kiểu hình kháng có các đặc tính điển hình của *HTN1*. Tốt hơn nếu, polynucleotit này chứa một hoặc nhiều gen tạo ra tính kháng của locus *HTN1*, tốt hơn nếu từ *Pepitilla*, được chọn từ *RLK1* và *EXT1* (xem Bảng 1) hoặc các alen gen của nó mà tạo ra kiểu hình kháng có các đặc tính điển hình của *HTN1* trong điều kiện xâm nhiễm *H. turcicum*. Đặc biệt tốt hơn nếu, polynucleotit này chứa trình tự nucleotit mã hóa polypeptit tương ứng với SEQ ID NO: 2 hoặc SEQ ID NO: 6 hoặc thẻ tương đồng của polypeptit tương ứng với SEQ ID NO: 2 hoặc SEQ ID NO: 6, mà tạo ra kiểu hình kháng có các đặc tính điển hình của *HTN1* trong điều kiện xâm nhiễm *H. turcicum*. Ví dụ về các đặc tính điển hình này của *HTN1* là làm chậm quá trình hình thành bào tử, làm giảm sự phát triển các tổn thương, phát triển tổn thương nhỏ hơn, làm giảm vùng hình thành bào tử và/hoặc không có tổn thương hoặc chỉ có các tổn thương úa vàng-hoại tử tách riêng. Về mặt cấu trúc, polynucleotit này đặc trưng ở chỗ nó chứa phân tử axit nucleic (a) chứa trình tự nucleotit tương ứng với các SEQ ID NO: 1, 3, 5, 7, 9, 11, 13 hoặc 15, (b) chứa trình tự nucleotit có độ đồng nhất ít nhất là 80%, 85%, 90%, 91%, 92%, 93%, 94%, 95%, 96%, 97%, 98% hoặc 99% với một trong các trình tự nucleotit tương ứng với các SEQ ID NO: 1, 3, 5, 7, 9, 11, 13 hoặc

15, tốt hơn là trên toàn bộ chiều dài của trình tự đó, (c) lai với chuỗi hỗ trợ của phân tử axit nucleic theo các mục (a) hoặc (b) trong các điều kiện nghiêm ngặt, (d) mã hóa polypeptit với trình tự axit amin tương ứng với các SEQ ID NO: 2, 4, 6, 8, 10, 12, 14 hoặc 16, (e) mã hóa polypeptit với trình tự axit amin có độ đồng nhất ít nhất là 80%, 85%, 90%, 91%, 92%, 93%, 94%, 95%, 96%, 97%, 98% hoặc 99% với một trong các trình tự axit amin theo mục (d), hoặc (f) chứa một phần trình tự của axit nucleic theo các mục từ (a) đến (e). Theo một phương án được ưu tiên, polynucleotit này đặc trưng ở chỗ nó chứa phân tử axit nucleic (aa) chứa trình tự nucleotit tương ứng với SEQ ID NO: 1 hoặc SEQ ID NO: 5, (bb) chứa trình tự nucleotit có độ đồng nhất ít nhất là 80%, 85%, 90%, 91%, 92%, 93%, 94%, 95%, 96%, 97%, 98% or 99% với một trong các trình tự nucleotit tương ứng với SEQ ID NO: 1 hoặc SEQ ID NO: 5, tốt hơn là trên toàn bộ chiều dài của trình tự đó, (cc) lai với chuỗi hỗ trợ của phân tử axit nucleic theo mục (aa) hoặc (bb) trong các điều kiện nghiêm ngặt, (dd) mã hóa polypeptit với trình tự axit amin tương ứng với SEQ ID NO: 2 hoặc SEQ ID NO: 6, (ee) mã hóa polypeptit với trình tự axit amin có độ đồng nhất ít nhất là 80%, 85%, 90%, 91%, 92%, 93%, 94%, 95%, 96%, 97%, 98% or 99% với một trong các trình tự axit amin theo mục (dd), hoặc (ff) chứa một phần trình tự của axit nucleic theo các mục từ (aa) đến (ee). Cụm từ “một phần trình tự của phân tử axit nucleic” như được sử dụng trong sáng chế có thể là ít nhất 20, 30, 40, 50, 60, 70, 80, 90 hoặc ít nhất 100 nucleotit liên tiếp, hơn nữa là ít nhất 150, 200, 250, 300, 350, 400, 450, 500, 600, 700, 800, 900 hoặc 1000 nucleotit liên tiếp. Polynucleotit này có thể ở trạng thái dị hợp tử hoặc đồng hợp tử trong hệ gen của cây ngô theo sáng chế; tốt hơn nếu, polynucleotit này ở trạng thái đồng hợp tử.

Bảng 1: Các gen tạo ra tính kháng tiềm năng của locus HTN1 từ Pepitilla; tên gen (cột 1); tham chiếu tới các SEQ ID No tương ứng trong trình tự exon hệ gen (cột 2); tham chiếu tới các SEQ ID No tương ứng trong trình tự axit amin/protein dự đoán (cột 3); gen đồng đẳng đã diển giải từ hệ gen tham chiếu B73 (cột 4).

Tên gen	cADN SEQ ID NO:	Trình tự protein SEQ ID NO:	Gen B73 đồng đẳng
RLK1	1	2	GRMZM2G451147
RLK4	3	4	GRMZM2G144028
EXT1	5	6	GRMZM2G445338
DUF1	7	8	AC209075.3_FG007
ZNF1	9	10	GRMZM2G175661
CYT1	11	12	GRMZM2G092018
RET1	13	14	GRMZM2G091973
HYD	15	16	GRMZM2G144021

Hơn nữa, khoảng thứ nhất trong đoạn nhiễm sắc thể mà có alen cho theo kiểu đơn trong Bảng 2 được đặc trưng bởi trình tự của alen cho trong kiểu đơn của Bảng 2, nhưng không bị giới hạn ở trình tự của alen cho theo Bảng 2 này. Điều này có nghĩa là khoảng thứ nhất có ít nhất là alen cho mô tả gen tạo ra tính kháng từ Bảng 1, tùy ý với alen cho của chỉ thị MA0008. Hơn nữa, khoảng thứ nhất này tốt hơn nếu có ít nhất là alen cho theo kiểu đơn trong Bảng 2 từ MA0021 đến MA0022 (tức là MA0021, MA0007, MA0008, MA0009, MA0010, MA0011, MA0012, MA0022) hoặc từ MA0005 đến MA0022 (tức là MA0005, MA0021, MA0007, MA0008, MA0009, MA0010, MA0011, MA0012, MA0022) hoặc từ MA0005 đến MA0022 (tức là MA0005, MA0007, MA0008, MA0009, MA0010, MA0011, MA0012, MA0022) hoặc từ MA0005 đến MA0013 (tức là MA0005, MA0021, MA0007, MA0008, MA0009, MA0010, MA0011, MA0012, MA0022 và MA0013) hoặc từ MA0005 đến MA0014 (tức là MA0005, MA0021, MA0007, MA0008, MA0009, MA0010, MA0011, MA0012, MA0022, MA0013 và MA0014) hoặc từ MA0005 đến MA0015 (tức là MA0005, MA0021, MA0007, MA0008, MA0009, MA0010, MA0011, MA0012, MA0022, MA0013, MA0014 và MA0015) hoặc từ MA0005 đến MA0016 (tức là MA0005, MA0021, MA0007, MA0008, MA0009, MA0010, MA0011, MA0012, MA0022, MA0013, MA0014, MA0015 và MA0016), đặc biệt tốt hơn nếu từ MA0005 đến MA0017 (tức

là MA0005, MA0021, MA0007, MA0008, MA0009, MA0010, MA0011, MA0012, MA0022, MA0013, MA0014, MA0015, MA0016 và MA0017), MA0005 đến MA0018 (tức là MA0005, MA0021, MA0007, MA0008, MA0009, MA0010, MA0011, MA0012, MA0022, MA0013, MA0014, MA0015, MA0016, MA0017 và MA0018), MA0005 đến PZE-108095998 (tức là MA0005, MA0021, MA0007, MA0008, MA0009, MA0010, MA0011, MA0012, MA0022, MA0013, MA0014, MA0015, MA0016, MA0017 và MA0018), MA0005 đến PZE-108096011 (tức là MA0005, MA0021, MA0007, MA0008, MA0009, MA0010, MA0011, MA0012, MA0022, MA0013, MA0014, MA0015, MA0016, MA0017, MA0018, PZE-108095998 và PZE-108096011) hoặc MA0005 đến MA0019 (tức là MA0005, MA0021, MA0007, MA0008, MA0009, MA0010, MA0011, MA0012, MA0022, MA0013, MA0014, MA0015, MA0016, MA0017, MA0018, PZE-108095998 và MA0019), đặc biệt tốt hơn nữa nếu từ MA0005 đến PZE-108096610 (tức là MA0005, MA0021, MA0007, MA0008, MA0009, MA0010, MA0011, MA0012, MA0022, MA0013, MA0014, MA0015, MA0016, MA0017, MA0018, PZE-108095998, PZE-108096011, MA0019 và PZE-108096610), MA0005 đến MA0020 (tức là MA0005, MA0021, MA0007, MA0008, MA0009, MA0010, MA0011, MA0012, MA0022, MA0013, MA0014, MA0015, MA0016, MA0017, MA0018, PZE-108095998, PZE-108096011, MA0019, PZE-108096610 và MA0020), MA0005 đến PZE-108096791 (tức là MA0005, MA0021, MA0007, MA0008, MA0009, MA0010, MA0011, MA0012, MA0022, MA0013, MA0014, MA0015, MA0016, MA0017, MA0018, PZE-108095998, PZE-108096011, MA0019, PZE-108096610, MA0020, PZE-108096791 và MA0006). Kiểu đơn kháng này rõ ràng định rõ và phát hiện nguồn kháng Pepitilla. Cụ thể là, khoảng thứ nhất được định vị ở giữa chỉ thị MA0004 và chỉ thị PZE-108097482, ở giữa chỉ thị MA0004 và chỉ thị MA0022, ở giữa chỉ thị MA0005 và chỉ thị PZE-108097482 hoặc ở giữa chỉ thị MA0005 và chỉ thị MA0022. Tốt hơn nữa, khoảng thứ nhất này mô tả phân đoạn của đoạn nhiễm sắc thể mà có thể

tạo ra tính kháng điển hình của HTN1. Như vậy nó là chất mang của polynucleotit nêu trên.

Bảng 2: Kiểu đơn kháng từ B37HTN1;

Vị trí theo bp trên B73 AGPv02	Alen cho B37HTN1	Ký hiệu chỉ thị
151831049	C	MA0005
151907173	G	MA0021
152045106	T	MA0007
152045141	T	MA0008
152045402	T	MA0009
152045516	C	MA0010
152045912	T	MA0011
152046502	T	MA0012
152046529	A	MA0022
152133057	G	MA0013
152133380	A	MA0014
152144310	A	MA0015
152250992	A	MA0016
152301656	A	MA0017
152304127	A	MA0018
152433358	A	PZE-108095998
152435855	A	PZE-108096011
152630794	C	MA0019
152703579	G	PZE-108096610
152753635	A	MA0020
152887338	G	PZE-108096791
152888374	A	MA0006

Hơn nữa, mọi cây ngô theo sáng chế đều là cây ngô kháng HT. Tính kháng HT được tạo ra bởi sự kết hợp của đoạn nhiễm sắc thể có thể định lượng bằng cách xác định điểm số phân loại trong thí nghiệm kiểu hình theo biểu đồ trong Bảng 3 và ví dụ 1.A); trong ví dụ này, mức kháng giảm từ 1 đến 9. Cây ngô kháng HT theo sáng chế có tính kháng với *H. turcicum* tăng ít nhất là 1 điểm số phân loại, tốt hơn nếu ít nhất là 2 điểm số phân loại hoặc ít nhất là 3 điểm số phân loại và đặc biệt tốt hơn nếu ít nhất là 4 điểm số phân loại. Tốt hơn nếu, cây ngô theo sáng chế có tính kháng với ít nhất một nòi của *Helminthosporium turcicum* mà không tương ứng với nòi đã biết có tính đặc hiệu đã biết trong tình trạng kỹ thuật. Theo một phương án được đặc biệt ưu tiên, cây ngô theo

sáng chế kháng với tất cả các nòi đã biết của *Helminthosporium turcicum*, tức là tính kháng được tạo ra không đặc hiệu nòi và có thể đặc biệt có ích trong việc tạo thành tính kháng rộng với *Helminthosporium turcicum*.

Bảng 3: Biểu đồ điểm số phân loại cho thí nghiệm kiểu hình trong các thử nghiệm trên cánh đồng ở nhiều vị trí khác nhau có cây ghép *H. turcicum* tự nhiên và nhân tạo (từ Deutsche Maiskomitee (DMK, German maize committee); giống AG 27.02.02; (DMK J. Rath; RP Freiburg H.J. Imgraben)

Điểm số phân loại	Kiểu hình
1	Cây không có triệu chứng của bệnh, 0%
2	Bắt đầu nhiễm, nhìn thấy được các đốm nhỏ đầu tiên (dưới 2 cm). Dưới 5% bề mặt lá bị ảnh hưởng.
3	Một số đốm phát triển ở giai đoạn lá. Từ 5 đến 10% bề mặt lá bị ảnh hưởng.
4	10-20% bề mặt lá bị ảnh hưởng. Các đốm có thể nhìn thấy rõ ở một số giai đoạn lá.
5	20-40% bề mặt lá bị ảnh hưởng. Các đốm bắt đầu hợp lại.
6	40-60% bề mặt lá bị ảnh hưởng. Sự xâm nhiễm có hệ thống có thể nhìn thấy trên lá.
7	60-80% bề mặt lá bị ảnh hưởng. Khoảng một nửa lá bị phá hoại hoặc bị khô do nhiễm nấm.
8	80-90% bề mặt lá bị ảnh hưởng. Hơn một nửa lá bị phá hoại hoặc bị khô do nhiễm nấm.
9	90-100% bề mặt lá bị ảnh hưởng. Các cây hầu hết khô hoàn toàn.

Phần mô tả này bộc lộ cấu trúc di truyền hoặc cấu trúc phân tử của locus HTN1 bằng cách tạo ra kiểu đơn, bằng cách lập bản đồ các chỉ thị nổi bật và cũng bằng cách nhận biết các gen ứng viên để tạo ra tính kháng với mầm bệnh *Helminthosporium turcicum*.

Đáng ngạc nhiên là, các cây ngô theo sáng chế chứng minh tính nông học trong thí nghiệm kiểu hình được thực hiện trên cánh đồng và trong nhà kính. Điều này là do, mặc dù các dòng đã chuyển hóa khác từ chương trình sinh sản để kết hợp locus HTN1 từ Pepitilla cũng như từ các dòng chuyển hóa đã biết trong tình trạng kỹ thuật như B37HTN1, bên cạnh tính kháng HT được tạo ra trong các điều kiện không xâm nhiễm với *H. turcicum* và trong các điều kiện ngoại cảnh tương đương (nhiệt độ, nguồn cấp

dưỡng chất, vị trí v.v.) biểu hiện sự làm chậm đáng kể đối với thời gian ra hoa đực và/hoặc cái so với dòng tương ứng không nhập gen (ví dụ, dòng đằng gen hoặc dòng gốc), ở cây ngô theo sáng chế thì thời gian ra hoa tương ứng với thời gian ra hoa của cây ngô đằng gen đối chứng có hệ gen không được kết hợp đoạn nhiễm sắc thể từ thẻ cho *Pepitilla*. “Thời gian ra hoa” tương ứng khi chúng chênh nhau ít hơn 2 ngày. Biên độ làm chậm quan sát được trong trường hợp này phụ thuộc chặt chẽ vào loài ngô hoặc kiểu gen ngô, các điều kiện ngoại cảnh ưu thế như điều kiện đất, độ ẩm, độ kết tủa, nhiệt độ v.v. và/hoặc căng thẳng sinh học như sự xâm nhiễm mầm bệnh ngoài *H. turcicum*. Sự chậm này là ít nhất 2 ngày, ít nhất 3 ngày, ít nhất 5 ngày hoặc ít nhất 7 ngày. Sự khác biệt đã thiết lập về thời gian ra hoa này là do liên kết bất lợi dưới dạng một phần của quá trình nhập gen, điều này đặc biệt gây ngạc nhiên do các kết quả quan sát về loại này vẫn chưa được biết đến trong tình trạng kỹ thuật. Thời gian ra hoa là đặc tính nông học quan trọng. Nó có thể ảnh hưởng trực tiếp và về cơ bản đến năng suất tiềm năng của cây ngô. Thời gian ra hoa bị làm chậm thường dẫn đến năng suất giảm.

Để giải thích nguyên nhân di truyền của nhược này và để nhận biết liên kết bất lợi, các chương trình lai ngược dòng bao quát kèm theo xác định kiểu gen và kiểu hình được tiến hành, chẳng hạn. Công việc này được hỗ trợ bởi sự phát triển mạnh của các chỉ thị phân tử cụ thể trên đoạn nhiễm sắc thể mang HTN1. Kỹ thuật chọn lọc dựa trên chỉ thị phân tử (marker aided selection - MAS) và thực hiện các chương trình lai ngược dòng chuyên sâu (ví dụ “tách dòng dựa trên bản đồ di truyền”) có thể được tìm thấy trong tình trạng kỹ thuật (Gupta & Varshney, 2013). QTL có tính kháng HTN1 từ B37HTN1 hoặc *Pepitilla* cho được định vị với sự trợ giúp của các chỉ thị SSR bnlg1067, umc1121, MA0002, MA0003, bnlg1782, umc1287, umc1960 và bnlg240 ở các đài sau trên nhiễm sắc thể 8 (bin 8.06) ở giữa chỉ thị MA0002 (Bảng 4) và chỉ thị umc1287 (Bảng 5) trong vùng 23,1 cM (xem Fig.1). Ở các cây ngô có thời gian ra hoa chậm, locus của phân đoạn trình tự hệ gen thể cho mà chịu trách nhiệm về liên kết bất lợi đã nhận biết về thời gian ra hoa được xác định thành công là vào khoảng cho thứ hai nữa trên đoạn nhiễm sắc thể (Ví dụ 3B; Fig.3). Ở cây ngô theo sáng chế, đoạn nhiễm sắc thể được kết hợp vào nó không chứa khoảng cho thứ hai. Trong bản mô tả này, khoảng thứ hai bắt nguồn từ, ví dụ, bố mẹ tuần hoàn không mang liên kết bất lợi đối với thời gian ra hoa hoặc từ đoạn ADN tương đồng đã nhập nội ngoại sinh

mà không phải là chất mang của liên kết bất lợi, trên vectơ thê cho thích hợp để tái tổ hợp tương đồng hướng đích. Khoảng thứ hai được kết hợp gần và nghiêm ngặt với locus kháng HTN1 hoặc với khoảng thứ nhất. Khoảng thứ hai là khoảng ở giữa chỉ thị trong vùng chỉ thị thứ nhất (M1) có bên sườn là các chỉ thị SYN14136 và PZE-108076510 và chỉ thị trong vùng chỉ thị thứ hai (M2) có bên sườn là các chỉ thị SYN24931 và PZE-108077560. Các chỉ thị bên sườn này có thể được thấy rõ trong Bảng 4. Các chỉ thị SYN14136, PZE-108076510, SYN24931 và PZE-108077560 là các chỉ thị SNP để sử dụng trong hệ thống KBioscience-KASP (www.lgcgenomics.com/genotyping/KASP-genotyping-reagents/KASP-overview/). Chúng xác định rõ ràng vùng chỉ thị M1 và vùng chỉ thị M2 ở một trong hai bên của phân đoạn trình tự trong thê cho B37HTN1 hoặc *Pepitilla* mang liên kết bất lợi đối với thời gian ra hoa. Ngoài ra, dưới dạng chỉ thị đa hình, chúng cũng có khả năng biệt hóa giữa alen của thê cho *Pepitilla* và, ví dụ, alen đối với bô mẹ tuần hoàn. Toàn bộ chi tiết liên quan đến việc sử dụng các chỉ thị này làm chỉ thị KASP có thể thu được từ Bảng 4. Các tham số lai hóa đoạn mồi thích hợp lấy làm ví dụ đối với PCR được nêu trong Ví dụ 2. Hơn nữa, người có hiểu biết trung bình trong lĩnh vực này cũng có khả năng xác định các tham số lai hóa thích hợp khác. Hơn nữa, việc phát triển các chỉ thị khác, đặc biệt là các chỉ thị đa hình, trong M1 và/hoặc M2 bên cạnh các chỉ thị đã nêu là vẫn đề bình thường đối với người có hiểu biết trung bình trong lĩnh vực có kiến thức về vùng chỉ thị đã mô tả. Bằng cách sử dụng các chỉ thị nêu trong bản mô tả này, cụ thể là SYN14136, PZE-108076510, SYN24931 và PZE-108077560 hoặc các chỉ thị tự phát triển trong M1 và/hoặc M2, người có hiểu biết trung bình trong lĩnh vực này có thể dễ dàng thiết lập xem ở cây ngô có hệ gen đã kết hợp đoạn nhiễm sắc thê với locus kháng HTN1 từ thê cho *Pepitilla*, thì khoảng cho thứ hai đã mô tả ở trên được chứa trong đó hay không được chứa trong đó. Người có hiểu biết trung bình trong lĩnh vực này cũng sẽ nhận thấy, ví dụ, trong chu trình của quá trình sinh sản hoặc chiến lược thiết kế di truyền để tái tổ hợp có mục đích, khoảng nhiễm sắc thê có thể được loại bỏ khỏi thê cho mà, ví dụ, chứa các trình tự hệ gen gây ra liên kết bất lợi, bằng cách tái tổ hợp di truyền/tương đồng đoạn nhiễm sắc thê được kết hợp. Về vấn đề này, khoảng cho của *Pepitilla* có thể được thay thế bằng khoảng tương ứng của hệ gen bô mẹ tuần hoàn hoặc bằng đoạn ADN tương đồng được nhập nội ngoại sinh. Các chỉ thị nói

chung và các chỉ thị được bộc lộ trong bản mô tả này một cách cụ thể có thể đặc biệt được sử dụng để chọn lọc về vấn đề này. Ví dụ, cách sử dụng có thể có của các chỉ thị nhằm phát hiện ra alen sẽ được đưa ra dưới đây: việc phát hiện alen có thể được thực hiện bằng cách, ví dụ, (a) phân lập ít nhất một phân tử axit nucleic từ hệ gen của cây hoặc tế bào cây/cây ngô hoặc tế bào cây ngô, và (b) kiểm tra phân tử axit nucleic đã được phân lập có ít nhất một chỉ thị, cũng như tùy ý (c) giải trình tự alen này trong một và/hoặc nhiều kiểu gen, (d) phát hiện một và/hoặc nhiều dạng đa hình và/hoặc (e) giới hạn bằng endonucleaza giới hạn mà có thể tạo ra các đoạn có kích thước khác nhau ở alen chỉ thị.

Theo một phương án được ưu tiên, cây ngô theo sáng chế là cây ngô như được mô tả ở trên, trong đó đoạn nhiễm sắc thể không chứa khoảng cho thứ hai mà có bên sườn là a) chỉ thị SYN14136 và chỉ thị PZE-108077560, b) chỉ thị PZE-108076510 và chỉ thị PZE-108077560, c) chỉ thị SYN14136 và chỉ thị SYN24931 hoặc d) chỉ thị PZE-108076510 và chỉ thị SYN24931.

Theo một phương án được ưu tiên, cây ngô theo sáng chế có thời gian ra hoa đực và/hoặc cái lệch so với dòng đã chuyển hóa Pepitilla hoặc cây đã chuyển hóa Pepitilla như B37HTN1 mà chứa khoảng 2 ở giữa chỉ thị trong vùng chỉ thị thứ nhất (M1) có bên sườn là chỉ thị SYN14136 và chỉ thị PZE-108076510, và chỉ thị trong vùng chỉ thị thứ hai (M2) có bên sườn là chỉ thị SYN24931 và chỉ thị PZE-108077560, trong đó thuật ngữ “thời gian lệch” có nghĩa là dòng đã chuyển hóa hoặc cây đã chuyển hóa có độ chậm ít nhất là 2 ngày, ít nhất là 3 ngày, ít nhất là 5 ngày hoặc ít nhất là 7 ngày.

Một phương án được ưu tiên khác của cây ngô theo sáng chế là cây ngô như được mô tả ở trên, trong đó đoạn nhiễm sắc thể không chứa thêm khoảng cho (sau đây được gọi là khoảng thứ ba hoặc khoảng 3) ở giữa chỉ thị trong vùng chỉ thị thứ hai M2 và chỉ thị trong vùng chỉ thị thứ ba M3 có bên sườn là chỉ thị PZE-108093423 (Bảng 4) và chỉ thị PZE-108093748 (Bảng 4). Chỉ thị PZE-108093423 và chỉ thị PZE-108093748 là các chỉ thị SNP để sử dụng trong hệ thống KBioscience-KASP (www.lgcgenomics.com/genotyping/KASP-genotyping-reagents/KASP-overview/). Chúng xác định rõ ràng vùng chỉ thị M3. Là các chỉ thị đa hình, chúng cũng thích hợp

để phân biệt giữa alen cho và, ví dụ, alen đối với bô mẹ tuần hoàn. Tất cả các chi tiết liên quan đến việc sử dụng các chỉ thị này như các chỉ thị KASP có thể có được từ Bảng 4. Các tham số lai hóa đoạn mồi thích hợp lấy làm ví dụ đối với PCR được nêu trong Ví dụ 2. Người có hiểu biết trung bình trong lĩnh vực này cũng có thể xác định các tham số lai hóa thích hợp khác. Hơn nữa, việc phát triển các chỉ thị khác, đặc biệt là các chỉ thị đa hình, trong M3 bên cạnh các chỉ thị đã nêu là vấn đề thông thường đối với người có hiểu biết trung bình trong lĩnh vực có hiểu biết về vùng chỉ thị được mô tả. Bằng cách sử dụng các chỉ thị cho M2 như đã nêu ở trên và các chỉ thị PZE-108093423 và PZE-108093748 lưu ý trong bản mô tả hoặc các chỉ thị tự phát triển trong M3, việc thiết lập xem trong cây ngô có hệ gen đã kết hợp đoạn nhiễm sắc thể với locus kháng HTN1 từ thể cho Pepitilla thì chúa hay không chúa khoảng cho thú ba như được mô tả ở trên sẽ là vấn đề đơn giản đối với người có hiểu biết trung bình trong lĩnh vực này.

Theo một phương án được ưu tiên khác, cây ngô theo sáng chế được đề xuất là cây ngô như được mô tả ở trên trong đó đoạn nhiễm sắc thể không chứa phân đoạn di truyền chứa khoảng cho thú hai và khoảng cho thú ba và có bên sườn là a) chỉ thị SYN14136 và chỉ thị PZE-108093423, b) chỉ thị PZE-108076510 và chỉ thị PZE-108093423, c) chỉ thị SYN14136 và chỉ thị PZE-108093748 hoặc d) chỉ thị PZE-108076510 và chỉ thị PZE-108093748.

Theo một khía cạnh khác, các phân đoạn di truyền khác có thể được xác định trên đoạn nhiễm sắc thể mà, trong các điều kiện không xâm nhiễm *H. turcicum*, có thể gây ảnh hưởng tiêu cực đáng kể đến năng suất tiềm năng của cây ngô có hệ gen đã kết hợp đoạn nhiễm sắc thể có locus kháng HTN1 từ thể cho Pepitilla. Vì vậy, không phụ thuộc vào độ chậm đổi với thời gian ra hoa được mô tả ở trên, các dòng đã chuyển hóa cũng như các dòng đã chuyển hóa được biết trong tình trạng kỹ thuật như B37HTN1, bên cạnh tính kháng HT đã tạo ra, còn có năng suất giảm về cơ bản, đặc biệt là năng suất ủ chua giảm về cơ bản so với dòng tương ứng không nhập gen (ví dụ, dòng đắng gen hoặc dòng gốc). Đây là trường hợp xảy ra ngay cả với dòng có hệ gen đã kết hợp phân đoạn di truyền của thể cho gồm khoảng 2 (ở giữa chỉ thị từ M1 và M2) hoặc khoảng 2 và 3 (ở giữa chỉ thị từ M1 và M3) không còn hiện diện. Các kết quả quan

sát về kiều này không được mong đợi bởi người có hiểu biết trung bình trong lĩnh vực này, do không có chỉ định trong tình trạng kỹ thuật về liên kết bất lợi của kiều này ở dòng nhập gen HTN1. Để giải thích nguyên nhân di truyền của nhược điểm nông học này, ví dụ, các chương trình lai ngược dòng mở rộng kèm theo xác định kiều gen và kiều hình được tiến hành. Công việc này được hỗ trợ bởi sự phát triển mạnh của các chỉ thị phân tử chính xác hơn và đặc hiệu hơn trên đoạn nhiễm sắc thể mang HTN1. Ở các cây ngô có năng suất (năng suất ủ chua) giảm, vị trí của phân đoạn trình tự hệ gen chịu trách nhiệm về liên kết bất lợi của năng suất ủ chua được xác định một cách thành công trên hai khoảng cho khác (sau đây khoảng thứ tư hoặc khoảng 4 và khoảng thứ năm hoặc khoảng 5) trên đoạn nhiễm sắc thể Pepitilla (Ví dụ 3C; Fig.3). Cây ngô theo sáng chế chưa khoảng tương ứng không có liên kết bất lợi, ví dụ từ bố mẹ tuần hoàn, thay cho khoảng cho thứ tư và/hoặc khoảng cho thứ năm mang liên kết bất lợi, không có năng suất ủ chua giảm, và vì vậy năng suất, đặc biệt là năng suất ủ chua, mà bằng hoặc tương đương với dòng không nhập gen (ví dụ, dòng đắng gen hoặc dòng gốc). So với cây ngô đối chứng có liên kết bất lợi về năng suất ủ chua, thì năng suất ủ chua của cây ngô theo sáng chế không có các khoảng cho thứ tư và/hoặc thứ năm, có thể cao hơn trên 2%, 3%, 4%, 5%, 6%, 7%, 8%, 9%, 10%, 15% hoặc 20%. Khoảng thứ tư nằm gần và được kết hợp nghiêm ngặt với locus kháng HTN1 hoặc khoảng thứ nhất. Khoảng thứ năm nằm xa và được kết hợp nghiêm ngặt với locus kháng HTN1 hoặc khoảng thứ nhất.

Vì vậy, một phương án được ưu tiên đặc biệt của cây ngô theo sáng chế là cây ngô như được mô tả ở trên trong đó đoạn nhiễm sắc thể không chứa thêm i) khoảng cho thứ tư ở giữa chỉ thị trong vùng chỉ thị thứ ba M3 và chỉ thị trong vùng chỉ thị thứ M4 có bên sườn là chỉ thị MA0004 và chỉ thị MA0005, hoặc ii) phân đoạn di truyền có khoảng thứ tư ở giữa chỉ thị trong vùng chỉ thị thứ ba M3 và chỉ thị trong vùng chỉ thị thứ bảy M7 có bên sườn là chỉ thị MA0005 và chỉ thị MA0021, và/hoặc trong đó đoạn nhiễm sắc thể không chứa thêm i) khoảng cho thứ năm ở giữa chỉ thị trong vùng chỉ thị thứ năm M5 có bên sườn là chỉ thị MA0006 và chỉ thị PZE-108097482 và chỉ thị trong vùng chỉ thị thứ sáu M6 có bên sườn là chỉ thị PZE-108107671 và chỉ thị SYN4196, hoặc ii) phân đoạn di truyền có khoảng thứ năm ở giữa chỉ thị trong vùng chỉ thị thứ tám M8 có bên sườn là chỉ thị MA0022 và chỉ thị MA0013 và chỉ thị trong

vùng chỉ thị thứ sáu M6 có bên sườn là chỉ thị PZE-108107671 và chỉ thị SYN4196. Các chỉ thị bên sườn có thể được thấy từ Bảng 4. Các chỉ thị MA0004, MA0005, MA0006, MA0013, MA0021, MA0022, PZE-108097482, PZE-108107671 và SYN4196 là các chỉ thị SNP để sử dụng trong hệ thống KBioscience-KASP (www.lgcgenomics.com/genotyping/KASP-genotyping-reagents/KASP-overview/). Chúng xác định rõ ràng các vùng chỉ thị M4, M5, M6, M7 và M8 mà, cùng với M3, thiết lập các phân đoạn trình tự mang liên kết bất lợi cho năng suất ủ chua ở thẻ cho B37HTN1 hoặc Pepitilla. Là các chỉ thị đa hình, chúng cũng thích hợp để phân biệt giữa alen cho và, ví dụ, alen đối với bố mẹ tuần hoàn. Tất cả các chi tiết liên quan đến việc sử dụng các chỉ thị này làm chỉ thị KASP có thể được thấy từ Bảng 4. Các tham số lai hóa đoạn mỗi thích hợp lấy làm ví dụ đối với PCR được nêu trong Ví dụ 2. Người có hiểu biết trung bình trong lĩnh vực này cũng có thể xác định các tham số lai hóa thích hợp khác. Hơn nữa, việc phát triển các chỉ thị khác, đặc biệt là các chỉ thị đa hình, trong M4, trong M5, trong M6, trong M7 và/hoặc trong M8 là vấn đề thông thường đối với người có hiểu biết trung bình trong lĩnh vực có hiểu biết về vùng chỉ thị được mô tả. Bằng cách sử dụng các chỉ thị MA0004, MA0005, MA0006, MA0013, MA0021, MA0022, PZE-108097482, PZE-108107671 và SYN4196 được mô tả trong bản mô tả này hoặc các chỉ thị tự phát triển trong M4, trong M5, trong M6, trong M7 và/hoặc M8 cũng như các chỉ thị trong M3 được mô tả ở trên, việc thiết lập xem ở cây ngô có hệ gen đã kết hợp đoạn nhiễm sắc thể có locus kháng HTN1 từ thẻ cho Pepitilla, thì chúa hay không chúa khoáng cho thứ tư như được mô tả ở trên sẽ là vấn đề đơn giản đối với người có hiểu biết trung bình trong lĩnh vực này.

Một phương án được ưu tiên đặc biệt khác của cây ngô theo sáng chế là cây ngô như được mô tả ở trên trong đó đoạn nhiễm sắc thể i) không chứa phân đoạn di truyền chứa khoáng cho thứ hai, khoáng cho thứ ba và khoáng cho thứ tư và có bên sườn là a) chỉ thị SYN14136 và chỉ thị MA0004, b) chỉ thị PZE-108076510 và chỉ thị MA0004, c) chỉ thị SYN14136 và chỉ thị MA0005 hoặc d) chỉ thị PZE-108076510 và chỉ thị MA0005, hoặc (ii) không chứa phân đoạn di truyền chứa khoáng thứ hai và khoáng cho thứ ba và có bên sườn là a) chỉ thị SYN14136 và chỉ thị PZE-108093423, b) chỉ thị PZE-108076510 và chỉ thị PZE-108093423, c) chỉ thị SYN14136 và chỉ thị PZE-108093748 hoặc d) chỉ thị PZE-108076510 và chỉ thị PZE-

108093748, và khoảng cho thứ năm, hoặc (iii) không chứa phân đoạn di truyền chứa khoảng cho thứ hai, khoảng cho thứ ba và khoảng cho thứ tư và có bên sườn là a) chỉ thị SYN14136 và chỉ thị MA0004, b) chỉ thị PZE-108076510 và chỉ thị MA0004, c) chỉ thị SYN14136 và chỉ thị MA0005 hoặc d) chỉ thị PZE-108076510 và chỉ thị MA0005, và khoảng cho thứ năm.

Một phương án được ưu tiên đặc biệt khác của cây ngô theo sáng chế là cây ngô như được mô tả ở trên, trong đó đoạn nhiễm sắc thể chứa (i) không chứa phân đoạn di truyền chứa khoảng cho thứ hai, khoảng cho thứ ba và khoảng cho thứ tư và có bên sườn là a) chỉ thị SYN14136 và chỉ thị MA0021 hoặc b) chỉ thị PZE-108076510 và chỉ thị MA0021, hoặc (ii) không chứa phân đoạn di truyền chứa khoảng cho thứ hai, khoảng cho thứ ba và khoảng cho thứ tư và có bên sườn là a) chỉ thị SYN14136 và chỉ thị MA0021 hoặc b) chỉ thị PZE-108076510 và chỉ thị MA0021, và khoảng cho thứ năm, hoặc (iii) không chứa phân đoạn di truyền chứa khoảng cho thứ hai, khoảng cho thứ ba và khoảng cho thứ tư và có bên sườn là a) chỉ thị SYN14136 và chỉ thị MA0021 hoặc b) chỉ thị PZE-108076510 và chỉ thị MA0021, và phân đoạn di truyền thứ hai chứa khoảng cho thứ năm và có bên sườn là a) chỉ thị MA0022 và chỉ thị PZE-108107671, b) chỉ thị MA0022 và chỉ thị SYN4196, c) chỉ thị MA0013 và chỉ thị PZE-108107671 hoặc chỉ thị MA0013 và chỉ thị SYN4196, hoặc (iv) không chứa phân đoạn di truyền chứa khoảng cho thứ hai và khoảng cho thứ ba và có bên sườn là a) chỉ thị SYN14136 và chỉ thị PZE-108093423, b) chỉ thị PZE-108076510 và chỉ thị PZE-108093423, c) chỉ thị SYN14136 và chỉ thị PZE-108093748 hoặc d) chỉ thị PZE-108076510 và chỉ thị PZE-108093748, và phân đoạn di truyền thứ hai chứa khoảng cho thứ năm và có bên sườn là a) chỉ thị MA0022 và chỉ thị PZE-108107671, b) chỉ thị MA0022 và chỉ thị SYN4196, c) chỉ thị MA0013 và chỉ thị PZE-108107671 hoặc chỉ thị MA0013 và chỉ thị SYN4196, hoặc (v) không chứa phân đoạn di truyền chứa khoảng cho thứ hai, khoảng cho thứ ba và khoảng cho thứ tư và có bên sườn là a) chỉ thị SYN14136 và chỉ thị MA0021 hoặc b) chỉ thị PZE-108076510 và chỉ thị MA0021, và phân đoạn di truyền thứ hai chứa khoảng cho thứ năm và có bên sườn là a) chỉ thị MA0022 và chỉ thị PZE-108107671, b) chỉ thị MA0022 và chỉ thị SYN4196, c) chỉ thị MA0013 và chỉ thị PZE-108107671 hoặc chỉ thị MA0013 và chỉ thị SYN4196.

Mục tiêu tạo nên cơ sở của sáng chế được hoàn thành theo cách khác thông qua cây ngô có hệ gen đã kết hợp đoạn nhiễm sắc thể từ thê cho Pepitilla, trong đó đoạn nhiễm sắc thê này chứa khoảng cho thứ nhất có alen cho theo kiểu đơn trong Bảng 2 và chứa polynucleotit tạo ra tính kháng kháng *Helminthosporium turcicum*, và trong đó đoạn nhiễm sắc thê này không chứa i) khoảng cho thứ tư ở giữa chỉ thị trong vùng chỉ thị thứ ba có bên sườn là chỉ thị PZE-108093423 và chỉ thị PZE-108093748, và chỉ thị trong vùng chỉ thị thứ tư có bên sườn là chỉ thị MA0004 và chỉ thị MA0005, hoặc ii) phân đoạn di truyền có khoảng thứ tư ở giữa chỉ thị trong vùng chỉ thị thứ ba M3 và chỉ thị trong vùng chỉ thị thứ bảy M7 có bên sườn là chỉ thị MA0005 và chỉ thị MA0021. Phần mô tả ở trên, ví dụ, về phần các chỉ thị thì polynucleotit hoặc kiểu hình cũng có khả dụng trong trường hợp này và đối với mọi giải pháp thay thế khác cho vấn đề này, cũng như các phương án đã bộc lộ.

Một phương án được ưu tiên của cây ngô theo sáng chế là cây ngô như được mô tả ở trên, trong đó đoạn nhiễm sắc thê này i) không chứa khoảng cho thứ tư mà có bên sườn là a) b chỉ thị PZE-108093423 và chỉ thị MA0004, b) chỉ thị PZE-108093748 và chỉ thị MA0004, c) chỉ thị PZE-108093423 và chỉ thị MA0005 hoặc d) chỉ thị PZE-108093748 và chỉ thị MA0005, hoặc ii) không chứa phân đoạn di truyền chứa khoảng cho thứ tư và có bên sườn là a) chỉ thị PZE-108093423 và chỉ thị MA0021 hoặc b) chỉ thị PZE-108093748 và chỉ thị MA0021.

Một phương án được ưu tiên khác của cây ngô theo sáng chế là cây ngô như được mô tả ở bên trên, trong đó đoạn nhiễm sắc thê không chứa thêm khoảng cho thứ ba ở giữa chỉ thị trong vùng chỉ thị thứ hai M2 và chỉ thị trong vùng chỉ thị thứ ba M3.

Một phương án được ưu tiên khác của cây ngô theo sáng chế là cây ngô như được mô tả ở trên, trong đó đoạn nhiễm sắc thê không chứa phân đoạn di truyền chứa khoảng thứ ba và khoảng cho thứ tư và có bên sườn là a) chỉ thị SYN24931 và chỉ thị MA0004, b) chỉ thị PZE-108077560 và chỉ thị MA0004, c) chỉ thị SYN24931 và chỉ thị MA0005, d) chỉ thị PZE-108077560 và chỉ thị MA0005, e) chỉ thị SYN24931 và chỉ thị MA0021 hoặc f) chỉ thị PZE-108077560 và chỉ thị MA0021.

Một phương án được ưu tiên khác của cây ngô theo sáng chế là cây ngô như được mô tả ở bên trên, trong đó đoạn nhiễm sắc thể i) không chứa thêm khoảng cho thứ năm ở giữa chỉ thị trong vùng chỉ thị thứ năm M5 và chỉ thị trong vùng chỉ thị thứ sáu M6 hoặc ii) không chứa phân đoạn di truyền có khoảng thứ năm ở giữa chỉ thị trong vùng chỉ thị thứ tám M8 và chỉ thị trong vùng chỉ thị thứ sáu M6.

Một phương án được ưu tiên đặc biệt khác của cây ngô theo sáng chế là cây ngô như được mô tả ở bên trên, trong đó đoạn nhiễm sắc thể i) không chứa phân đoạn di truyền chứa khoảng thứ ba và khoảng cho thứ tư và có bên sườn là a) chỉ thị SYN24931 và chỉ thị MA0004, b) chỉ thị PZE-108077560 và chỉ thị MA0004, c) chỉ thị SYN24931 và chỉ thị MA0005 hoặc d) chỉ thị PZE-108077560 và chỉ thị MA0005, và khoảng thứ năm, hoặc ii) không chứa phân đoạn di truyền chứa khoảng thứ ba và khoảng cho thứ tư và có bên sườn là a) chỉ thị SYN24931 và chỉ thị MA0004, b) chỉ thị PZE-108077560 và chỉ thị MA0004, c) chỉ thị SYN24931 và chỉ thị MA0005 hoặc d) chỉ thị PZE-108077560 và chỉ thị MA0005, và phân đoạn di truyền thứ hai chứa khoảng thứ năm và có bên sườn là a) chỉ thị MA0022 và chỉ thị SYN4196, b) chỉ thị MA0022 và chỉ thị PZE-108107671, c) chỉ thị MA0013 và chỉ thị SYN4196 hoặc chỉ thị MA0013 và chỉ thị PZE-108107671.

Một phương án được ưu tiên đặc biệt khác của cây ngô theo sáng chế là cây ngô như được mô tả ở bên trên, trong đó đoạn nhiễm sắc thể i) không chứa phân đoạn di truyền chứa khoảng thứ ba và khoảng cho thứ tư và có bên sườn là a) chỉ thị SYN24931 và chỉ thị MA00021 hoặc b) chỉ thị PZE-108077560 và chỉ thị MA00021, và khoảng thứ năm, hoặc ii) không chứa phân đoạn di truyền chứa khoảng cho thứ ba và khoảng cho thứ tư và có bên sườn là a) chỉ thị SYN24931 và chỉ thị MA00021 hoặc b) chỉ thị PZE-108077560 và chỉ thị MA00021, và phân đoạn di truyền thứ hai chứa khoảng thứ năm và có bên sườn là a) chỉ thị MA0022 và chỉ thị PZE-108107671, b) chỉ thị MA0022 và chỉ thị SYN4196, c) chỉ thị MA0013 và chỉ thị PZE-108107671 hoặc chỉ thị MA0013 và chỉ thị SYN4196.

Theo cách khác, mục tiêu của sáng chế còn được hoàn thành thông qua cây ngô, có hệ gen đã kết hợp đoạn nhiễm sắc thể từ thể cho Pepitilla, trong đó đoạn nhiễm sắc thể này chứa khoảng cho thứ nhất có alen cho theo kiểu đơn trong bảng 2

và chứa polynucleotit tạo ra tính kháng kháng *Helminthosporium turcicum* ở cây ngô, và trong đó đoạn nhiễm sắc thể này không chứa i) khoảng cho thứ năm ở giữa chỉ thị trong vùng chỉ thị thứ năm có bên sườn là chỉ thị MA0006 và chỉ thị PZE-108097482, và chỉ thị trong vùng chỉ thị thứ sáu có bên sườn là chỉ thị PZE-108107671 và chỉ thị SYN4196, hoặc ii) phân đoạn di truyền có khoảng thứ năm ở giữa chỉ thị trong vùng chỉ thị thứ tám M8 có bên sườn là chỉ thị MA0022 và chỉ thị MA0013, và chỉ thị trong vùng chỉ thị thứ sáu M6 có bên sườn là chỉ thị PZE-108107671 và chỉ thị SYN4196.

Một phương án được ưu tiên khác của cây ngô theo sáng chế là cây ngô như được mô tả ở bên trên, trong đó đoạn nhiễm sắc thể không chứa thêm khoảng cho thứ ba ở giữa chỉ thị trong vùng chỉ thị thứ hai M2 và chỉ thị trong vùng chỉ thị thứ ba M3.

Một phương án được ưu tiên đặc biệt khác của cây ngô theo sáng chế là cây ngô như được mô tả ở trên, trong đó đoạn nhiễm sắc thể có bên sườn là a) chỉ thị trong vùng chỉ thị thứ hai M2 và chỉ thị trong vùng chỉ thị thứ sáu M6, b) chỉ thị trong vùng chỉ thị thứ ba M3 và chỉ thị trong vùng chỉ thị thứ sáu M6, c) chỉ thị trong vùng chỉ thị thứ tư M4 và chỉ thị trong vùng chỉ thị thứ sáu M6, d) chỉ thị trong vùng chỉ thị thứ bảy M7 và chỉ thị trong vùng chỉ thị thứ sáu M6, e) chỉ thị trong vùng chỉ thị M1 và chỉ thị trong vùng chỉ thị M5, f) chỉ thị trong vùng chỉ thị thứ hai M2 và chỉ thị trong vùng chỉ thị thứ năm M5, g) chỉ thị trong vùng chỉ thị thứ ba M3 và chỉ thị trong vùng chỉ thị thứ năm M5, h) chỉ thị trong vùng chỉ thị thứ tư M4 và chỉ thị trong vùng chỉ thị thứ năm M5, i) chỉ thị trong vùng chỉ thị thứ bảy M7 và chỉ thị trong vùng chỉ thị thứ năm M5, j) chỉ thị trong vùng chỉ thị M1 và chỉ thị trong vùng chỉ thị M8, k) chỉ thị trong vùng chỉ thị thứ hai M2 và chỉ thị trong vùng chỉ thị thứ tám M8, l) chỉ thị trong vùng chỉ thị thứ ba M3 và chỉ thị trong vùng chỉ thị thứ tám M8, m) chỉ thị trong vùng chỉ thị thứ tư M4 và chỉ thị trong vùng chỉ thị thứ tám M8, hoặc n) chỉ thị trong vùng chỉ thị thứ bảy M7 và chỉ thị trong vùng chỉ thị thứ tám M8.

Một phương án được ưu tiên đặc biệt khác của cây ngô theo sáng chế là cây ngô như được mô tả trên, trong đó đoạn nhiễm sắc thể có bên sườn là a) chỉ thị SYN24931 và chỉ thị SYN4196, b) chỉ thị PZE-108077560 và chỉ thị SYN4196, c)

chỉ thị SYN24931 và chỉ thị PZE-108107671, d) chỉ thị PZE-108077560 và chỉ thị PZE-108107671, e) chỉ thị PZE-108093423 và chỉ thị SYN4196, f) chỉ thị PZE-108093748 và chỉ thị SYN4196, g) chỉ thị PZE-108093423 và chỉ thị PZE-108107671, h) chỉ thị PZE-108093748 và chỉ thị PZE-108107671, i) chỉ thị MA0004 và chỉ thị SYN4196, j) chỉ thị MA0005 và chỉ thị SYN4196, k) chỉ thị MA0004 và chỉ thị PZE-108107671, l) chỉ thị MA0005 và chỉ thị PZE-108107671, m) chỉ thị MA0021 và chỉ thị SYN4196, n) chỉ thị MA0021 và chỉ thị PZE-108107671, o) chỉ thị PZE-108076510 và chỉ thị MA0006, p) chỉ thị SYN14136 và chỉ thị MA0006, q) chỉ thị PZE-108076510 và chỉ thị PZE-108097482, r) chỉ thị SYN14136 và chỉ thị PZE-108097482, s) chỉ thị SYN24931 và chỉ thị PZE-108097482, t) chỉ thị PZE-108077560 và chỉ thị PZE-108097482, u) chỉ thị SYN24931 và chỉ thị MA0006, v) chỉ thị PZE-108077560 và chỉ thị MA0006, w) chỉ thị PZE-108093423 và chỉ thị PZE-108097482, x) chỉ thị PZE-108093748 và chỉ thị PZE-108097482, y) chỉ thị PZE-108093423 và chỉ thị MA0006, z) chỉ thị PZE-108093748 và chỉ thị MA0006, aa) chỉ thị MA0004 và chỉ thị PZE-108097482, ab) chỉ thị MA0005 và chỉ thị PZE-108097482, ac) chỉ thị MA0004 và chỉ thị MA0006, ad) chỉ thị MA0005 và chỉ thị MA0006, ae) chỉ thị MA0021 và chỉ thị PZE-108097482, af) chỉ thị MA0021 và chỉ thị MA0006, ag) chỉ thị PZE-108076510 và chỉ thị MA0013, ah) chỉ thị SYN14136 và chỉ thị MA0013, ai) chỉ thị PZE-108076510 và chỉ thị MA0022, aj) chỉ thị SYN14136 và chỉ thị MA0022, ak) chỉ thị SYN24931 và chỉ thị MA0013, al) chỉ thị PZE-108077560 và chỉ thị MA0013, am) chỉ thị SYN24931 và chỉ thị MA0022, an) chỉ thị PZE-108077560 và chỉ thị MA0022, ao) chỉ thị PZE-108093423 và chỉ thị MA0013, ap) chỉ thị PZE-108093748 và chỉ thị MA0013, aq) chỉ thị PZE-108093423 và chỉ thị MA0022, ar) chỉ thị PZE-108093748 và chỉ thị MA0022, as) chỉ thị MA0004 và chỉ thị MA0013, at) chỉ thị MA0005 và chỉ thị MA0013, au) chỉ thị MA0004 và chỉ thị MA0022, av) chỉ thị MA0005 và chỉ thị MA0022, aw) chỉ thị MA0021 và chỉ thị MA0013, ax) chỉ thị MA0021 và chỉ thị MA0022.

Một phương án được ưu tiên đặc biệt khác của cây ngô theo sáng chế là cây ngô như được mô tả trên, trong đó đoạn nhiễm sắc thể được định vị a) ở giữa chỉ thị trong vùng chỉ thị thứ hai M2 và chỉ thị trong vùng chỉ thị thứ sáu M6, b) ở giữa chỉ thị trong vùng chỉ thị thứ ba M3 và chỉ thị trong vùng chỉ thị thứ sáu M6, c) ở giữa

chỉ thị trong vùng chỉ thị thứ tư M4 và chỉ thị trong vùng chỉ thị thứ sáu M6, d) ở giữa chỉ thị trong vùng chỉ thị thứ bảy M7 và chỉ thị trong vùng chỉ thị thứ sáu M6, e) ở giữa chỉ thị trong vùng chỉ thị thứ nhất M1 và chỉ thị trong vùng chỉ thị thứ năm M5 f) ở giữa chỉ thị trong vùng chỉ thị thứ hai M2 và chỉ thị trong vùng chỉ thị thứ năm M5, g) ở giữa chỉ thị trong vùng chỉ thị thứ ba M3 và chỉ thị trong vùng chỉ thị thứ năm M5, h) ở giữa chỉ thị trong vùng chỉ thị thứ tư M4 và chỉ thị trong vùng chỉ thị thứ năm M5, i) ở giữa chỉ thị trong vùng chỉ thị thứ bảy M7 và chỉ thị trong vùng chỉ thị thứ năm M5, j) ở giữa chỉ thị trong vùng chỉ thị M1 và chỉ thị trong vùng chỉ thị M8, k) ở giữa chỉ thị trong vùng chỉ thị thứ hai M2 và chỉ thị trong vùng chỉ thị thứ tám M8, l) ở giữa chỉ thị trong vùng chỉ thị thứ ba M3 và chỉ thị trong vùng chỉ thị thứ tám M8, m) ở giữa chỉ thị trong vùng chỉ thị thứ tư M4 và chỉ thị trong vùng chỉ thị thứ tám M8, or n) ở giữa chỉ thị trong vùng chỉ thị thứ bảy M7 và chỉ thị trong vùng chỉ thị thứ tám M8.

Bảng 4: các trình tự đoạn mồi của chỉ thị KASP và gán cho các alen của thẻ cho B37HTN1 có nguồn gốc từ giống Pepitilla (alen X và alen Y: mô tả các trị số cặp alen của SNP)

Chỉ thị SNP	Vị trí chỉ thị AGPv02 [bp]	Alen đoạn mồi X(5'-3') [SEQ ID NO]	Alen đoạn mồi Y(5' - 3') [SEQ ID NO]	Đoạn mồi chung (5'-3') [SEQ ID NO]	Alen cho B37HTN1 (SNP)	Vùng chỉ thị
SYN14136	131681497	17	18	19	A	M1
PZE-108076510	131905855	20	21	22	G	M1
SYN24931	132877982	23	24	25	A	M2
PZE-108077560	133189880	26	27	28	A	M2
PZE-108093423	150279048	29	30	31	A	M3
PZE-108093748	150562764	32	33	34	G	M3
PZE-108107671	161543406	35	36	37	C	M6

SYN4196	161766769	38	39	40	C	M6
MA0004	151688652	41	42	43	A	M4
MA0005	151831049	44	45	46	C	M4/M7
MA0021	151907173	241	242	243	G	M7
MA0006	152888310	47	48	49	A	M5
PZE-108097482	153139646	50	51	52	A	M5
MA0002	147720853	53	54	55	A	
MA0003	151346184	56	57	58	C	
MA0007	152045106	59	60	61	T	
MA0008	152045141	62	63	64	T	
MA0009	152045402	65	66	67	T	
MA0010	152045516	68	69	70	C	
MA0011	152045912	71	72	73	T	
MA0012	152046502	74	75	76	A	
MA0022	152046529	244	245	246	A	M8
MA0013	152133057	77	78	79	G	M8
MA0014	152133380	80	81	82	T	
MA0015	152144310	83	84	85	A	
MA0016	152250992	86	87	88	A	
MA0017	152301656	89	90	91	A	
MA0018	152304127	92	93	94	A	
MA0019	152630794	95	96	97	C	
MA0020	152753635	98	99	100	A	
PZE-108095998	152433358	101	102	103	T	
PZE-108096011	152435855	104	105	106	A	
PZE-108096610	152703579	107	108	109	C	
PZE-108096791	152887338	110	111	112	G	

Ngoài ra, sáng chế đề cập đến hạt giống hoặc hạt, mô, cơ quan, phần và tế bào của các cây ngô theo sáng chế được mô tả ở trên. Về vấn đề này, hạt giống hoặc hạt

này là hạt giống hoặc hạt có hệ gen đã kết hợp đoạn nhiễm sắc thể theo phương án của sáng chế được mô tả ở trên.

Theo một khía cạnh khác, sáng chế đề cập đến phương pháp xác định cây ngô kháng *H. turcicum* có hệ gen đã kết hợp đoạn nhiễm sắc thể từ thê cho *Pepitilla*, bao gồm các đòn sau của ít nhất là hai alen trong hệ gen của cây, trong đó ít nhất một alen được định vị trong phân đoạn hệ gen có bên sườn là chỉ thị trong vùng chỉ thị thứ nhất M1, vùng chỉ thị thứ hai M2, vùng chỉ thị thứ ba M3, vùng chỉ thị thứ tư M4 hoặc vùng chỉ thị thứ bảy M7, và polynucleotit được mô tả ở trên mà tạo ra tính kháng với *H. turcicum* ở cây ngô, và trong đó ít nhất một alen được định vị trong phân đoạn hệ gen có bên sườn là chỉ thị trong vùng chỉ thị thứ sáu M6, vùng chỉ thị thứ năm M5 hoặc vùng chỉ thị thứ tám M8. Các vùng chỉ thị và các chỉ thị lấy ví dụ trong các miền chỉ thị này được mô tả ở trên. Tốt hơn nữa, cây ngô đã nhận biết là cây ngô theo sáng chế. Hơn nữa, sáng chế cũng quan tâm cây ngô mà đã được nhận biết bằng cách sử dụng phương pháp nhận biết được đề cập.

Theo một khía cạnh khác, sáng chế đề cập đến phương pháp gia tăng năng suất của cây ngô kháng *H. turcicum*, có hệ gen đã kết hợp đoạn nhiễm sắc thể từ thê cho *Pepitilla*, trong đó phương pháp này bao gồm bước loại bỏ khoảng cho thứ hai, khoảng cho thứ tư hoặc khoảng cho thứ năm và trong đó đoạn nhiễm sắc thể này chứa khoảng cho thứ nhất được mô tả ở trên chứa alen cho theo kiểu đơn trong bảng 2 và polynucleotit tạo ra tính kháng với *Helminthosporium turcicum* ở cây ngô. Ví dụ, việc loại bỏ có thể được thực hiện bằng cách tái tổ hợp di truyền trong quy trình lai giữa hai cây ngô, trong đó cây ngô bố mẹ mang locus kháng HTN1 từ *Pepitilla*. Bên cạnh việc sử dụng kỹ thuật sinh sản thông thường để có được sự tái tổ hợp di truyền có kết quả là thay thế được ít nhất một trong các khoảng cho có liên kết bất lợi nhận biết ở trên bằng các trình tự hệ gen của bố mẹ hoàn mà tốt hơn nếu không có các gen không mong muốn, thì công nghệ sinh học hiện đại cung cấp cho người có hiểu biết trung bình trong lĩnh vực này nhiều công cụ có thể giúp cho việc thiết kế di truyền được tiến hành chính xác. Các ví dụ về các công cụ đã biết này là meganucleaza (Silva et al., 2011), endonucleaza về tổ (Chevalier 2002), nucleaza ngón tay kẽm, nucleaza TALE (WO 2010/079430; WO 2011/072246) hoặc CRISPR (Gaj et al., 2013). Các protein dung

hợp nucleaza nhân tạo có khả năng phân tách các phân tử axit nucleic chuỗi đôi như ADN cây và vì vậy tạo ra các lỗi gãy đôi ở vị trí mong muốn trong hệ gen. Bằng cách tận dụng cơ chế của chính tế bào để sửa chữa các lỗi gãy đôi được cảm ứng, việc tái tổ hợp tương đồng hoặc “kết nối đầu cuối có tính chất không tương đồng” có thể được tiến hành, mà có thể dẫn đến việc loại bỏ các khoảng cho mang liên kết bất lợi. Các trình tự đích trong hệ gen thích hợp với miền nhận diện của nucleaza có thể được chọn, ví dụ, từ thông tin trình tự cho các chỉ thị SNP (Bảng 4) hoặc trong các khoảng của chúng. Tuy nhiên, người có hiểu biết trung bình trong lĩnh vực này cũng có thể biết được các trình tự khác, tốt hơn nếu nằm bên trong hoặc ở giữa sáu vùng chỉ thị được mô tả ở trên, mà thích hợp làm trình tự đích cho các miền nhận diện của nucleaza.

Về vấn đề này, phần mô tả này sẽ mô tả chi tiết hơn về hai phương pháp thiết kế di truyền, có sự trợ giúp trong đó việc loại bỏ các trình tự nucleotit mang liên kết bất lợi từ hệ gen cây được hỗ trợ hoặc thu được trực tiếp. Các phương pháp sau cũng như phương pháp sinh sản thông thường có thể được dùng để tạo ra cây ngô theo sáng chế.

Như đã đề cập, các công cụ phân tử hiện có có khả năng cảm ứng các lỗi gãy đôi ở các vị trí đã xác định trong hệ gen của ADN cây. Về vấn đề này, việc sử dụng nucleaza TALE (TALEN) hoặc nucleaza ngón tay kẽm (ZFN) đã cho thấy là đặc biệt có lợi. Miền nhận diện TALE hoặc ZF giúp nó có thể liên kết đặc hiệu với vị trí bất kỳ trong hệ gen. Theo hiểu biết về trình tự trong vùng đích, các miền nhận diện TALE hoặc ZF có thể được biến đổi sao cho chúng liên kết độc quyền với các vị trí mong muốn trong hệ gen. Nếu, ví dụ, trình tự nhận diện được hợp nhất với endonucleaza không đặc hiệu như FokI, thì lỗi gãy đôi (double strand break - DSB) có thể được cảm ứng ở các vị trí đã xác định trong hệ gen, cho phép thiết kế hệ gen có mục đích (Tzfira et al., 2012; Li et al., 2011; Puchta and Hohn 2010). Người có hiểu biết trung bình trong lĩnh vực này sẽ quen với việc xử lý endonucleaza FokI và tạo ra các TALEN và ZFN thích hợp từ tình trạng kỹ thuật.

Lỗi gãy đôi được cảm ứng có thể, ví dụ, kích thích sự tái tổ hợp tương đồng giữa locus gen đích nội sinh (ví dụ, một trong các vùng chỉ thị ở trên) và đoạn ADN tương đồng được nhập nội ngoại sinh mà, ví dụ, không phải là chất mang của liên kết bất lợi (ví dụ, trên vectơ thể cho thích hợp). Công đoạn gọi là thay thế gen hoặc chỉnh

sửa hệ gen này có thể được thực hiện *in vitro* và không cần phải có bất cứ bước lai nào giữa hai cây. Nhằm mục đích này, các cây cần biến đổi một mặt phải được biến nạp tạm thời với axit nucleic mã hóa TALEN hoặc ZFN được chỉ định, và mặt khác là với đoạn ADN ngoại sinh. Đoạn ADN nói đến ở đây có thể bắt nguồn từ cây cùng loài và, ví dụ, tương ứng với phân đoạn nhiễm sắc thể cần được thay thế, nhưng không có liên kết bất lợi. Sau khi hoàn thành quá trình tái tổ hợp tương đồng được cảm ứng, thì các tế bào với hệ gen đã biến đổi có thể được tái sinh vào cây và sau đó được chọn lọc xem liên kết bất lợi có được loại bỏ thành công không và các yếu tố ADN đã biến nạp từ trước có bị mất một lần nữa trong khi phân chia tế bào tái sinh hay không. Các chỉ thị được mô tả ở trên cũng có thể được sử dụng cho mục đích này. Các phương pháp biến nạp và tái sinh là đã biết trong tình trạng thuật và cũng được mô tả thêm dưới đây.

Hơn nữa, các TALEN và ZFN theo sáng chế cũng có thể được nhập nội nhờ chuyên gen trong quy trình giảm phân, trong đó các lối gãy đôi được cảm ứng ở các vị trí định trước trong hệ gen và vì thế xác suất tái tổ hợp ở các vị trí này trong quá trình lai qua các bước tăng lên. Theo cách này, việc loại bỏ liên kết bất lợi có thể được trợ giúp đáng kể. Người có hiểu biết trung bình trong lĩnh vực này sẽ nhận thấy rằng, sau khi hoàn tất quy trình giảm phân, thì các cây không có liên kết bất lợi và không có TALEN hoặc ZFN được tạo ra từ tế bào đơn bội. Theo một khía cạnh khác, sáng chế đề cập đến phương pháp tạo ra cây ngô theo sáng chế, mà bao gồm các bước sau: (A) chuẩn bị cây ngô thứ nhất có hệ gen đã kết hợp đoạn nhiễm sắc thể từ thẻ cho *Pepitilla*, trong đó đoạn nhiễm sắc thể này chứa khoảng cho thứ nhất có alen cho theo kiểu đơn trong bảng 2 và chứa polynucleotit tạo ra tính kháng kháng *Helminthosporium turcicum* trong cây ngô, và trong đó đoạn nhiễm sắc thể này chứa khoảng cho thứ hai và/hoặc khoảng cho thứ tư và/hoặc khoảng cho thứ năm, (B) tạo ra cây ngô thứ hai, (C) lai cây ngô trong bước (A) với cây ngô trong bước (B), và (D) chọn lọc cây ngô theo sáng chế, tốt hơn là bằng cách sử dụng ít nhất một trong các chỉ thị được mô tả ở trên. Theo cách khác, sáng chế đề cập đến phương pháp tạo ra cây ngô theo sáng chế mà bao gồm các bước sau: (A) biến nạp tạm thời tế bào cây ngô với trình tự nucleotit thứ nhất mà mã hóa protein thứ nhất có hoạt tính endonucleaza (ví dụ, protein dung hợp endonucleaza TALE hoặc ZF) có khả năng cảm ứng lối gãy đôi ADN ở giữa vùng chỉ thị M2 và vùng chỉ thị M4 trong tế bào cây ngô, và với trình tự nucleotit thứ

hai mã hóa protein thứ hai có hoạt tính endonucleaza (ví dụ, protein dung hợp endonucleaza TALE hoặc ZF) có khả năng cảm ứng lối gãy đôi ADN trong hệ gen của tế bào cây ngô ở giữa vùng chỉ thị M5 và vùng chỉ thị M6, (B) đưa tạm thời vectơ cho vào tế bào cây ngô thứ nhất mang đoạn nhiễm sắc thể từ thể cho Pepitilla, trong đó đoạn nhiễm sắc thể chứa khoảng cho thứ nhất có alen cho theo kiểu đơn trong bảng 2 và chứa polynucleotit tạo ra tính kháng kháng *Helminthosporium turcicum* ở cây ngô, và trong đó đoạn nhiễm sắc thể này còn chứa các phân đoạn nhiễm sắc thể của thể cho Pepitilla giữa các vị trí lối gãy đôi từ bước (A) sao cho quy trình tái tổ hợp tương đồng diễn ra giữa hệ gen của tế bào cây ngô thứ nhất và đoạn nhiễm sắc thể của vectơ cho, (C) tái sinh cây ngô từ tế bào cây ngô, (D) nhận biết cây ngô theo sáng chế, tốt hơn là bằng cách sử dụng ít nhất một trong các chỉ thị được mô tả ở trên. Đặc biệt tốt hơn nếu, các trình tự axit nucleic thứ nhất và thứ hai và các vectơ cho đã được nhập nội tạm thời sẽ mất đi sau đó. Người có hiểu biết trung bình trong lĩnh vực này sẽ biết làm thế nào để tiến hành việc này và phát hiện ra nó.

Theo một khía cạnh khác, sáng chế bao gồm các chỉ thị được mô tả ở trên là các oligonucleotit, cụ thể là oligonucleotit đoạn mồi. Tốt hơn nếu, các oligonucleotit này là các oligonucleotit đã được phân lập. Oligonucleotit chứa phân tử axit nucleic có trình tự nucleotit được chọn từ một trong các SEQ ID NO: 41-49, 53-100 và 229-250. Hơn nữa, sáng chế đề cập đến oligonucleotit chứa phân tử axit nucleic có trình tự nucleotit được chọn từ một trong các SEQ ID NO: 17-250, sử dụng để nhận biết cây ngô kháng *H. turcicum*. Tốt hơn nếu, tính kháng này có được từ thể cho Pepitilla và là HTN1.

Ngoài ra, vấn đề của sáng chế được giải quyết theo cách khác thông qua cây chuyển gen, cụ thể là cây ngô chuyển gen, chứa tế bào cây chuyển gen như được mô tả dưới đây. Hơn nữa, sáng chế cũng đề cập đến một phần của cây theo sáng chế này, trong đó phần này có thể là tế bào, mô, cơ quan hoặc dạng kết hợp của một vài tế bào, mô hoặc cơ quan. Ví dụ về dạng kết hợp của một vài cơ quan là hoa hoặc hạt giống. Theo một phương án cụ thể, sáng chế đề cập đến hạt giống từ cây chuyển gen, trong đó hạt giống chứa polynucleotit theo sáng chế là gen chuyển, như được mô tả dưới đây. Tốt hơn nếu, cây chuyển gen theo sáng chế, cụ thể là cây thuộc loài *Zea mays*, có tính kháng *H. turcicum* cao hơn so với cây không được biến nạp tương ứng (cây đắng

gen không có gen chuyền). Cây kháng HT chuyền gen theo sáng chế có tính kháng *H. turcicum* tăng ít nhất một điểm số phân loại, tốt hơn nếu ít nhất là 2 điểm số phân loại hoặc ít nhất là 3 điểm số phân loại và đặc biệt tốt hơn nếu ít nhất là 4 điểm số phân loại (xem biểu đồ điểm số phân loại trong Bảng 3).

Ngoài ra, sáng chế đề cập đến phương pháp tạo ra cây chuyền gen bao gồm bước đưa polynucleotit theo sáng chế hoặc vectơ theo sáng chế được mô tả dưới đây vào tế bào cây, và tùy ý bước chọn lọc tế bào cây chuyền gen. Hơn nữa, phương pháp tạo ra cây chuyền gen kiểu này được đặc trưng bởi bước tiếp theo mà bao gồm việc tái sinh cây chuyền gen từ tế bào cây chuyền gen đã tạo ra trong bước thứ nhất. Các phương pháp tái sinh là đã biết đối với người có hiểu biết trung bình trong lĩnh vực này từ tình trạng kỹ thuật.

Theo một khía cạnh khác, sáng chế bộc lộ polynucleotit chứa một hoặc nhiều gen tạo ra tính kháng của locus HTN1 từ *Pepitilla* (bảng 1) hoặc được chọn từ RLK1 và EXT1 (xem Bảng 1) hoặc alen gen của chúng. Các gen hoặc alen gen có thể đem lại kiểu hình kháng với đặc tính điển hình của HTN1 trong các điều kiện xâm nhiễm *H. turcicum*. Về mặt cấu trúc, polynucleotit này đặc trưng ở chỗ nó chứa phân tử axit nucleic mà (a) chứa trình tự nucleotit tương ứng với các SEQ ID NO: 1, 3, 5, 7, 9, 11, 13 hoặc 15, (b) chứa trình tự nucleotit có độ đồng nhất ít nhất là 80%, 85%, 90%, 91%, 92%, 93%, 94%, 95%, 96%, 97%, 98% hoặc 99% với một trong các trình tự nucleotit tương ứng với các SEQ ID NO: 1, 3, 5, 7, 9, 11, 13 và 15, tốt hơn là trên toàn bộ chiều dài trình tự đó, (c) lai với chuỗi bổ trợ của phân tử axit nucleic theo mục (a) hoặc mục (b) trong các điều kiện nghiêm ngặt, (d) mã hóa polypeptit có trình tự axit amin tương ứng với các SEQ ID NO: 2, 4, 6, 8, 10, 12, 14 hoặc 16, hoặc (e) mã hóa polypeptit với trình tự axit amin có độ đồng nhất ít nhất là 80%, 85%, 90%, 91%, 92%, 93%, 94%, 95%, 96%, 97%, 98% hoặc 99% với một trong các trình tự axit amin theo mục (d). Theo một phương án được ưu tiên, polynucleotit này đặc trưng ở chỗ nó chứa phân tử axit nucleic mà (aa) chứa trình tự nucleotit tương ứng với SEQ ID NO: 1 hoặc 5, (bb) chứa trình tự nucleotit với độ đồng nhất ít nhất là 80%, 85%, 90%, 91%, 92%, 93%, 94%, 95%, 96%, 97%, 98% hoặc 99% với một trong các trình tự nucleotit tương ứng với SEQ ID NO: 1 hoặc SEQ ID NO: 5, tốt

hơn nếu là trên toàn bộ chiều dài của trình tự đó, (cc) lai với chuỗi bổ trợ của phân tử axit nucleic theo mục (aa) hoặc mục (bb) trong các điều kiện nghiêm ngặt, (dd) mã hóa polypeptit với trình tự axit amin tương ứng với SEQ ID NO: 2 hoặc SEQ ID NO: 6, hoặc (ee) mã hóa polypeptit với trình tự axit amin có độ đồng nhất ít nhất là 80%, 85%, 90%, 91%, 92%, 93%, 94%, 95%, 96%, 97%, 98% hoặc 99% với một trong các trình tự axit amin theo mục (dd). Tốt hơn nữa, polynucleotit này có thể được phân lập và/hoặc tinh chế từ môi trường di truyền tự nhiên của nó hoặc về cơ bản có mặt ở dạng tinh khiết hoặc đồng nhất. Tốt hơn nữa, polynucleotit này là ADN, và đặc biệt tốt hơn nữa là cADN, tức là polynucleotit chứa cADN từ một hoặc nhiều gen tạo ra tính kháng (Bảng 1). Tuy nhiên, nó cũng có thể có mặt dưới dạng ARN. Người có hiểu biết trung bình trong lĩnh vực này sẽ biết làm thế nào để suy ra trình tự ADN hệ gen từ thông tin trình tự được bộc lộ trong bản mô tả này. Polynucleotit theo sáng chế mã hóa ít nhất một polypeptit mà có khả năng tạo ra tính kháng chống lại mầm bệnh *Helminthosporium turcicum* ở cây trong đó polypeptit này được biểu hiện. Tốt hơn nữa, polypeptit này được mã hóa bởi polynucleotit theo sáng chế hoặc các phần của nó, tốt hơn tạo ra tính kháng với mầm bệnh *Helminthosporium turcicum*, đặc biệt là ở cây thuộc giống *Zea* hoặc cây thuộc loài *Zea mays*.

Ngoài ra, sáng chế cũng đề cập đến polypeptit có khả năng tạo ra tính kháng *H. turcicum* ở cây trong đó polypeptit này được biểu hiện và được mã hóa bằng polynucleotit theo sáng chế hoặc một phần của nó. Tốt hơn nữa, polypeptit này chứa trình tự axit amin tương ứng với các SEQ ID NO: 2, 4, 6, 8, 10, 12, 14 hoặc 16 hoặc, đặc biệt tốt hơn nữa, trình tự axit amin này tương ứng với SEQ ID NO: 2 hoặc SEQ ID NO: 6. Polypeptit này có thể là polypeptit đã phân lập.

Theo một khía cạnh khác, sáng chế đề cập đến vectơ chứa polynucleotit theo sáng chế. Vectơ này có thể là plasmit, cosmit, thê thực khuẩn hoặc vectơ biểu hiện, vectơ biến nạp, vectơ con thoi hoặc vectơ tách dòng, nó có thể là chuỗi đôi hoặc chuỗi đơn, thẳng hoặc vòng, hoặc nó có thể là vật chủ nhân rải rác hoặc nhân diễn hình, bằng cách kết hợp vào hệ gen của nó hoặc biến nạp ngoài nhiễm sắc thể. Tốt hơn nữa, polynucleotit theo sáng chế liên kết điều khiển được trong vectơ biểu hiện với một hoặc nhiều trình tự điều hòa mà cho phép phiên mã và tùy ý cả biểu hiện trong tế bào chủ

nhân rải rác hoặc nhân điển hình. Ví dụ, polynucleotit này có thể là dưới sự kiểm soát của gen khởi đầu hoặc gen kết thúc thích hợp. Gen khởi đầu thích hợp có thể là gen khởi đầu mà cơ bản được cảm ứng (ví dụ: gen khởi đầu 35S từ “virut khâm súp lở” (Odell et al. 1985); gen khởi đầu đặc biệt thích hợp là các gen khởi đầu dễ cảm ứng mầm bệnh (ví dụ: gen khởi đầu PR1 từ mùi tây (Rushton et al., 1996)). Gen khởi đầu dễ cảm ứng mầm bệnh đặc biệt thích hợp là gen khởi đầu tổng hợp hoặc khâm không có trong tự nhiên, gồm một vài yếu tố và chứa gen khởi đầu tối thiểu cũng như, đầu nghịch của gen khởi đầu tối thiểu, ít nhất một yếu tố điều hòa cis mà đóng vai trò là vị trí liên kết cho các yếu tố phiên mã đặc biệt. Gen khởi đầu khâm được thiết kế tùy chỉnh và được cảm ứng bằng các yếu tố khác nhau hoặc được mồi lại. Các ví dụ về các gen khởi đầu này có thể được tìm thấy trong WO 2000/29592 và WO 2007/147395. Ví dụ về gen kết thúc thích hợp là gen kết thúc nos (Depicker et al., 1982).

Bên cạnh vectơ được mô tả ở trên, sáng chế cũng đề cập đến phương pháp bao gồm bước đưa vectơ như được mô tả vào tế bào chủ. Vectơ này có thể, ví dụ, được nhập nội bằng cách liên hợp, huy động, biến nạp bắn gen, biến nạp truyền qua agrobacterium, chuyển nhiễm, tải nạp, thẩm lọc chân không hoặc xung điện. Các phương pháp kiểu này cũng như các phương pháp tạo ra vectơ đã mô tả là quen thuộc đối với người có hiểu biết trung bình trong lĩnh vực này (Sambrook et al. 2001).

Theo một khía cạnh khác, sáng chế đề cập đến tế bào chủ chứa polynucleotit theo sáng chế hoặc vectơ theo sáng chế. Theo ngữ cảnh của sáng chế, tế bào chủ có thể là tế bào nhân rải rác (ví dụ, vi khuẩn) hoặc tế bào nhân điển hình (ví dụ, tế bào cây hoặc tế bào nấm men). Tốt hơn nữa, enzym là agrobacterium như *Agrobacterium tumefaciens* hoặc *Agrobacterium rhizogenes*, hoặc tế bào cây chứa polynucleotit theo sáng chế hoặc vectơ theo sáng chế. Người có hiểu biết trung bình trong lĩnh vực này đã quen với nhiều phương pháp như liên hợp hoặc xung điện để đưa polynucleotit theo sáng chế hoặc vectơ theo sáng chế vào agrobacterium, và cả các phương pháp như các phương pháp biến nạp khác nhau (biến nạp bắn gen, biến nạp truyền qua agrobacterium) mà polynucleotit theo sáng chế hoặc vectơ theo sáng chế có thể được nhập nội vào tế bào cây bằng các phương pháp đó (Sambrook et al. 2001).

Theo một khía cạnh khác, sáng chế đề cập đến tế bào cây chuyển gen chứa polynucleotit theo sáng chế là gen chuyển hoặc vecto theo sáng chế. Tế bào cây chuyển gen thuộc loại này là, ví dụ, tế bào cây được biến nạp với polynucleotit theo sáng chế hoặc với vecto theo sáng chế, tốt hơn nếu theo cách ổn định. Theo một phương án được ưu tiên của tế bào cây chuyển gen, polynucleotit liên kết điều khiển được với một hoặc nhiều trình tự điều hòa mà cho phép phiên mã và tùy ý cả biểu hiện trong tế bào cây. Toàn bộ cấu tạo của polynucleotit theo sáng chế và (các) trình tự điều hòa sau đó có thể cấu thành gen chuyển. Các ví dụ về trình tự điều hòa thuộc loại này là gen khởi đầu hoặc gen kết thúc. Người có hiểu biết trung bình trong lĩnh vực này sẽ quen với nhiều gen khởi đầu và gen kết thúc chức năng mà có thể được sử dụng trong cây. Tốt hơn nếu, tế bào cây chuyển gen theo sáng chế, cụ thể là tế bào cây thuộc loài *Zea mays*, có tính kháng *H. turcicum* cao hơn so với tế bào cây không được biến nạp tương ứng (tế bào cây (đẳng gen) không có gen chuyển). Tế bào cây kháng HT chuyển gen theo sáng chế có tính kháng *H. turcicum* tăng lên ít nhất một điểm số phân loại, tốt hơn nếu ít nhất là 2 điểm số phân loại hoặc ít nhất là 3 điểm số phân loại và đặc biệt tốt hơn nếu ít nhất là 4 điểm số phân loại (xem biểu đồ phân loại ở Bảng 3). Hơn nữa, sáng chế cũng đề cập đến phương pháp tạo ra tế bào cây chuyển gen theo sáng chế, bao gồm bước đưa polynucleotit theo sáng chế hoặc vecto theo sáng chế vào tế bào cây này. Ví dụ, bước đưa vào này có thể được thực hiện bằng cách biến nạp, tốt hơn nếu bằng cách biến nạp ổn định. Kỹ thuật thích hợp để đưa vào như biến nạp bắn gen, biến nạp truyền qua agrobacterium hoặc xung điện là đã biết với người có hiểu biết trung bình trong lĩnh vực này (Sambrook et al. 2001).

Theo một khía cạnh khác, sáng chế cũng đề cập đến phương pháp truyền hoặc tăng tính kháng *H. turcicum* ở cây, tốt hơn nếu là cây thuộc loài *Zea mays*, bao gồm bước biến nạp tế bào cây với polynucleotit theo sáng chế hoặc với vecto theo sáng chế. Tốt hơn nếu, phương pháp này thu được tính kháng *H. turcicum* tăng lên ít nhất là 1 điểm số phân loại, tốt hơn nếu ít nhất là 2 điểm số phân loại hoặc ít nhất là 3 điểm số phân loại và đặc biệt tốt hơn nếu ít nhất là 4 điểm số phân loại (xem biểu đồ phân loại ở Bảng 3).

Theo một khía cạnh khác, sáng chế cũng bao gồm phương pháp biến đổi kiểu hình kháng của cây, cụ thể là cây ngô, với mầm bệnh *Helminthosporium turcicum*, bao gồm bước đột biến gen truyền tính kháng của locus HTN1 từ *Pepitilla* hoặc alen gen được chứa trong đó. Tốt hơn nếu, gen truyền tính kháng của locus HTN1 từ *Pepitilla* này mã hóa polypeptit tương ứng với SEQ ID NO: 2 hoặc thể tương đồng của polypeptit tương ứng với SEQ ID NO: 2 mà tạo ra kiểu hình kháng với đặc tính điển hình của HTN1 trong các điều kiện xâm nhiễm *H. turcicum*. Gen truyền tính kháng của locus HTN1 từ *Pepitilla* hoặc alen gen của nó có thể chuyển gen hoặc nội sinh trong hệ gen của cây. Sự biến đổi kiểu hình kháng có thể có nghĩa là sự thay đổi về tính đặc hiệu giống của mầm bệnh và/hoặc sự thay đổi về mức kháng, được đo dưới dạng điểm số phân loại dựa trên các đặc trưng kiểu hình như bề mặt lá bị ảnh hưởng (xem Bảng 3) hoặc được đo dưới dạng giá trị AUDPC (xem Ví dụ 1.C). Tốt hơn nếu, mức kháng sau khi biến đổi kiểu hình kháng ở khoảng giữa mức kháng của cây biểu hiện gen truyền tính kháng không đột biến của locus HTN1 từ *Pepitilla* và mức kháng của cây đăng gen không biểu hiện gen truyền tính kháng của locus HTN1 từ *Pepitilla*; tuy nhiên, mức kháng này cũng có thể cao hơn mức kháng của cây biểu hiện gen truyền tính kháng không đột biến của locus HTN1 từ *Pepitilla*. Đặc biệt tốt hơn nếu, mức kháng này ở khoảng giữa mức kháng của cây biểu hiện polypeptit tương ứng với SEQ ID NO: 2 và mức kháng của cây đăng gen không biểu hiện polypeptit tương ứng với SEQ ID NO: 2; tuy nhiên, mức kháng này cũng có thể cao hơn mức kháng của cây biểu hiện polypeptit tương ứng với SEQ ID NO: 2. Cụm từ “gây đột biến” như được sử dụng trong bản mô tả này có thể là sự thay đổi được con người thực hiện trong trình tự di truyền (đột biến). Các ví dụ về vấn đề này là các cây, tế bào cây hoặc các phần cây nhận các chất hóa học, phóng xạ hoặc chất gây đột biến khác với liều cao và sau đó chọn lọc thể đột biến. Theo cách khác, đột biến cũng có thể được thực hiện với, ví dụ, sự trợ giúp của nucleaza TILLING, nucleaza TALE, nucleaza ngón tay kẽm hoặc hệ thống CRISPR/Cas, hoặc bằng cách dung hợp, cài xen, làm khuyết hoặc trao đổi trong trình tự ADN hoặc trình tự axit amin. Người có hiểu biết trung bình trong lĩnh vực này có thể có được chỉ dẫn kỹ thuật thích hợp từ tình trạng kỹ thuật liên quan đến quy trình thực hiện các bước đột biến. Tốt hơn nếu, đột biến của gen truyền tính kháng của locus HTN1 từ *Pepitilla* tạo ra ít nhất một cải biến trao đổi axit amin, ít nhất là hai cải biến

trao đổi đổi axit amin, ít nhất là ba cải biến trao đổi axit amin, hoặc ít nhất là năm hoặc nhiều hơn năm cải biến trao đổi axit amin. Trong trường hợp nhiều cải biến trao đổi axit amin, thì chúng có thể được thực hiện trên các alen gen khác nhau đối với gen truyền tính kháng của locus HTN1 từ *Pepitilla*, tức là đột biến này có thể là dị hợp tử hoặc nó cũng có thể là đồng hợp tử.

Theo một phương án được ưu tiên của phương pháp biến đổi kiểu hình kháng của cây, đột biến của gen truyền tính kháng của locus HTN1 từ *Pepitilla* tạo ra đột biến điểm trong trình tự nucleotit tương ứng với SEQ ID NO: 1 ở vị trí 1365 với cải biến trao đổi bazơ của G cho A hoặc ở vị trí 1490 với cải biến trao đổi bazơ của G cho A. Hơn nữa, phương án này cũng đề cập đến đột biến dẫn đến cải biến trao đổi axit amin trong trình tự axit amin tương ứng với SEQ ID NO: 2 ở vị trí 455 từ M (methionin) sang I (isoleuxin) hoặc ở vị trí 497 từ G (glyxin) sang E (axit glutamic). Theo một phương án được ưu tiên khác của phương pháp này, đột biến của gen truyền tính kháng của locus HTN1 từ *Pepitilla* tạo ra đột biến điểm, dẫn đến cải biến trao đổi axit amin trong trình tự nucleotit tương ứng với SEQ ID NO: 1 giữa vị trí 1365 và vị trí 1490, hoặc phương án đề cập đến đột biến dẫn đến cải biến trao đổi axit amin trong trình tự axit amin tương ứng với SEQ ID NO: 2 giữa vị trí 455 và vị trí 497.

Theo một khía cạnh khác, sáng chế đề cập đến phương pháp tạo ra cây, cụ thể là cây ngô, có kiểu hình kháng được cải biến liên quan đến mầm bệnh *Helminthosporium turcicum*, bao gồm bước đột biến gen truyền tính kháng của locus HTN1 từ *Pepitilla* hoặc alen gen của nó ở ít nhất một tế bào của cây hoặc ở ít nhất một tế bào mà cây được tái sinh từ đó. Ngoài ra, phương pháp này vì thế mà có thể bao gồm bước tái sinh ít nhất một cây từ ít nhất một tế bào đột biến và bước chọn lọc các cây đã tái sinh trên cơ sở kiểu hình kháng đã cải biến liên quan đến mầm bệnh *Helminthosporium turcicum*. Tốt hơn nữa, gen truyền tính kháng của locus HTN1 từ *Pepitilla* này mã hóa polypeptit tương ứng với SEQ ID NO: 2 hoặc thể tương đồng của polypeptit tương ứng với SEQ ID NO: 2, tạo ra kiểu hình kháng với đặc tính điển hình của HTN1 trong các điều kiện xâm nhiễm *H. turcicum*. Gen truyền tính kháng của locus HTN1 từ *Pepitilla* hoặc alen gen của nó có thể hiện diện trong cây theo hướng chuyển gen hoặc nội sinh. Biến đổi kiểu hình kháng có thể có nghĩa là sự thay

đổi về tính đặc hiệu giống của mầm bệnh và/hoặc sự thay đổi về mức kháng, được đo dưới dạng điểm số phân loại dựa trên các đặc trưng kiểu hình như bề mặt lá bị ảnh hưởng (xem Bảng 3) hoặc được đo dưới dạng giá trị AUDPC (xem Ví dụ 1.C). Tốt hơn nếu, mức kháng của kiểu hình kháng được cải biến nằm giữa mức kháng của cây biểu hiện gen đã truyền tính kháng không đột biến của locus HTN1 từ *Pepitilla* và mức kháng của cây đăng gen mà không biểu hiện gen đã truyền tính kháng của locus HTN1 từ *Pepitilla*; tuy nhiên, mức kháng này có thể cao hơn mức kháng của cây biểu hiện gen đã truyền tính kháng không đột biến của locus HTN1 từ *Pepitilla*. Đặc biệt tốt hơn nếu, mức kháng này ở giữa mức kháng của cây biểu hiện polypeptit tương ứng với SEQ ID NO: 2 và mức kháng của cây đăng gen không biểu hiện polypeptit tương ứng với SEQ ID NO: 2; tuy nhiên, mức kháng này cũng có thể cao hơn mức kháng của cây biểu hiện polypeptit tương ứng với SEQ ID NO: 2. Cụm từ “đột biến” trong bản mô tả này có thể hiểu là sự thay đổi về trình tự di truyền (đột biến) được thực hiện bởi con người. Các ví dụ về vấn đề này là cây, tế bào cây hoặc các phần cây nhận chất hóa học, phóng xạ hoặc chất gây đột biến khác với liều cao và sau đó được chọn lọc các thể đột biến. Theo cách khác, đột biến cũng có thể được tiến hành, ví dụ, với sự trợ giúp của nucleaza TILLING, nucleaza TALE, nucleaza ngón tay kẽm hoặc hệ thống CRISPR/Cas hoặc bằng cách dung hợp, cài xen, làm khuyết hoặc trao đổi trong trình tự ADN hoặc trình tự axit amin. Người có hiểu biết trung bình trong lĩnh vực này có thể có được chỉ dẫn kỹ thuật thích hợp từ tình trạng kỹ thuật liên quan đến quy trình thực hiện các bước đột biến. Tốt hơn nếu, đột biến gen truyền tính kháng của locus HTN1 từ *Pepitilla* tạo ra ít nhất một cải biến trao đổi axit amin, ít nhất là hai cải biến trao đổi axit amin, ít nhất là ba cải biến trao đổi axit amin, ít nhất là năm hoặc nhiều hơn năm cải biến trao đổi axit amin. Trong trường hợp có nhiều cải biến trao đổi axit amin, thì chúng cũng có thể hiện diện trên các alen gen khác nhau của gen truyền tính kháng của locus HTN1 từ *Pepitilla*, tức là đột biến này có thể là dị hợp tử hoặc thậm chí là đồng hợp tử.

Theo một phương án được ưu tiên của phương pháp tạo ra cây có kiểu hình kháng được cải biến về mầm bệnh *Helminthosporium turcicum*, đột biến của gen truyền tính kháng của locus HTN1 từ *Pepitilla* tạo ra đột biến điểm trong trình tự nucleotit tương ứng với SEQ ID NO: 1 ở vị trí 1365 với cải biến trao đổi bazơ của G cho A hoặc ở vị trí 1490 với cải biến trao đổi bazơ của G cho A. Hơn nữa, phương

án này cũng đề cập đến đột biến tạo ra cài biến trao đổi axit amin trong trình tự axit amin tương ứng với SEQ ID NO: 2 ở vị trí 455 từ M (methionin) sang I (isoleucin) hoặc ở vị trí 497 từ G (glyxin) sang E (axit glutamic). Theo một phương án được ưu tiên khác của phương pháp này, đột biến của gen truyền tính kháng của locus HTN1 từ *Pepitilla* tạo ra đột biến điểm, mà dẫn đến cài biến trao đổi axit amin trong trình tự nucleotit tương ứng với SEQ ID NO: 1 ở giữa vị trí 1365 và vị trí 1490, hoặc phương án này đề cập đến đột biến mà dẫn đến cài biến trao đổi axit amin trong trình tự axit amin tương ứng với SEQ ID NO: 2 ở giữa vị trí 455 và vị trí 497.

Sáng chế cũng đề cập đến cây hoặc các phần của nó mà có thể được tạo ra bằng phương pháp tạo ra cây với kiểu hình kháng được cài biến về mầm bệnh *Helminthosporium turcicum*.

Ngoài ra, sáng chế bao gồm cây hoặc phần của nó chứa đột biến trong gen truyền tính kháng của locus HTN1 từ *Pepitilla* hoặc alen gen của nó. Tốt hơn nếu, đột biến này đem lại kiểu hình kháng được cài biến như được mô tả ở trên. Tốt hơn nếu, gen truyền tính kháng của locus HTN1 từ *Pepitilla* mã hóa polypeptit tương ứng với SEQ ID NO: 2 hoặc thể tương đồng của polypeptit tương ứng với SEQ ID NO: 2, tạo ra kiểu hình kháng với đặc tính điển hình của HTN1 trong các điều kiện xâm nhiễm *H. turcicum*. Gen truyền tính kháng của locus HTN1 từ *Pepitilla* hoặc alen gen của nó có thể hiện diện trong cây theo hướng chuyển gen hoặc nội sinh. Theo một phương án được ưu tiên của cây hoặc bộ phận của nó, đột biến này là đột biến điểm trong trình tự nucleotit tương ứng với SEQ ID NO: 1 ở vị trí 1365 với cài biến trao đổi bazơ của G cho A hoặc ở vị trí 1490 với cài biến trao đổi bazơ của G cho A. Hơn nữa, phương án này cũng đề cập đến đột biến mà dẫn đến cài biến trao đổi axit amin trong trình tự axit amin tương ứng với SEQ ID NO: 2 ở vị trí 455 từ M (methionin) sang I (isoleucin) hoặc ở vị trí 497 từ G (glyxin) sang E (axit glutamic). Theo một phương án được ưu tiên khác của cây hoặc bộ phận của nó, đột biến của gen truyền tính kháng của locus HTN1 từ *Pepitilla* là đột biến điểm mà dẫn đến cài biến trao đổi axit amin trong trình tự nucleotit tương ứng với SEQ ID NO: 1 giữa vị trí 1365 và vị trí 1490, hoặc phương án này đề cập đến đột biến mà dẫn đến cài biến trao đổi axit amin trong trình tự axit amin tương ứng với SEQ ID NO: 2 giữa vị trí 455 và vị trí 497.

Một số thuật ngữ được sử dụng trong bản mô tả này sẽ được giải thích chi tiết hơn:

Thuật ngữ “alen” dùng để chỉ một hoặc hai hoặc nhiều trình tự nucleotit ở locus cụ thể trong hệ gen. Alen thứ nhất là ở trên nhiễm sắc thể, alen thứ hai ở trên nhiễm sắc thể thứ hai ở cùng vị trí. Nếu hai alen này khác nhau, thì chúng là dị hợp tử, và nếu chúng giống nhau, thì chúng là đồng hợp tử. Các alen khác nhau của gen (alen gen) khác nhau ở ít nhất một SNP. Tùy thuộc vào ngữ cảnh của bản mô tả, alen cũng có nghĩa là SNP đơn mà, ví dụ, cho phép phân biệt giữa thê cho của HTN1 (Pepitilla) và bố mẹ tuần hoàn.

Cụm từ “đoạn nhiễm sắc thể” có nghĩa là phân đoạn ADN nhiễm sắc thể cụ thể của nhiễm sắc thể cụ thể mà chứa ít nhất một gen. Đoạn nhiễm sắc thể được kết hợp có nguồn gốc từ nguồn cho. Theo ngữ cảnh của sáng chế, chuỗi tuần tự của các gen bên trong đoạn nhiễm sắc thể được kết hợp này tương ứng với trình tự như hiện diện trong đoạn nhiễm sắc gốc của nguồn cho. Theo cách này, đoạn nhiễm sắc thể được kết hợp này có thể hiện diện trên toàn bộ chiều dài không đổi so với đoạn nhiễm sắc thể tương ứng trong nguồn cho. Đoạn nhiễm sắc thể hoặc một phần của nó có thể cấu thành “kiểu đơn” cụ thể, trong đó đoạn nhiễm sắc này có thể chứa các SNP cụ thể mà thông qua đó kiểu đơn này cũng có thể được quy định và nhận biết rõ ràng.

Thuật ngữ “xa” và “gần” mô tả vị trí của khoảng nhiễm sắc thể hoặc phân đoạn di truyền liên quan đến điểm tham chiếu cụ thể (ví dụ, polynucleotit cụ thể, một khoảng nhiễm sắc thể khác hoặc gen) trên toàn bộ nhiễm sắc thể; “xa” có nghĩa là khoảng hoặc phân đoạn đó được định vị ở phía bên điểm tham chiếu cách xa tâm động của nhiễm sắc thể, và “gần” có nghĩa là khoảng hoặc đoạn đó được định vị ở phía bên điểm tham chiếu gần tâm động của nhiễm sắc thể.

“Được kết hợp gần” hoặc “được liên kết nghiêm ngặt” nghĩa là hai locus, hai khoảng, hai phân đoạn di truyền hoặc hai chỉ thị (locus chỉ thị) cách nhau ít hơn 15 cM, ít hơn 12 cM, ít hơn 10 cM, ít hơn 8 cM, ít hơn 7 cM, ít hơn 6 cM, ít hơn 5 cM, ít hơn 4 cM, ít hơn 3 cM, ít hơn 2 cM, ít hơn 1 cM, ít hơn 0,5 cM, ít hơn 0,2 cM, ít hơn 0,1

cM, được thiết lập bằng cách sử dụng IBM2 lân cận 4 bản đồ di truyền đã được công khai trên trang web Maize GDB.

Thuật ngữ “năng suất” như được sử dụng trong ngữ cảnh của sáng chế dùng để chỉ sức sản xuất trên một đơn vị diện tích của sản phẩm cây cụ thể có giá trị thương mại. Ví dụ, năng suất của cây ngô thường được xác định theo tấn hạt giống hoặc hạt trên mỗi hecta (ha) và mùa hoặc theo tấn sinh khối khô trên mỗi hecta (ha) và mùa. Trừ khi nêu cụ thể khác đi hoặc được quy định rõ, năng suất có thể nghĩa là vật chất sạch hoặc khô tuyệt đối, vật chất tương đối sạch hoặc khô, năng suất ủ chua (còn được biết đến là năng suất ngô ủ chua hoặc tổng năng suất vật chất khô) hoặc năng suất hạt. Năng suất bị ảnh hưởng bởi các yếu tố di truyền và ngoại cảnh và về nguyên tắc là tổ hợp của nhiều tính chất nông học mà hình thành từ các đặc điểm dựa trên yếu tố di truyền của cây và góp phần vào năng suất cuối trong mùa. Các ví dụ về các tính chất nông học riêng rẽ này là sự nảy mầm hạt giống, sức sống thực vật, khả năng dung chịu căng thẳng, khả năng kháng hoặc dung chịu bệnh, khả năng kháng thuốc diệt cỏ, xu hướng phân nhánh, thời gian ra hoa, cụm hạt giống, mật độ hạt, độ ổn định và khả năng lưu kho, khả năng đậm (chín đồng đều), v.v..

Cụm từ “phân đoạn di truyền có” khoảng được quy định chính xác hơn cần được hiểu có nghĩa là phân đoạn di truyền mà bao gồm hoặc chứa khoảng được quy định chính xác hơn này, tức là không bị giới hạn bởi khoảng được quy định chính xác hơn này. Ví dụ, “phân đoạn di truyền có khoảng thứ năm giữa chỉ thị trong vùng chỉ thị thứ tám M8 có bên sườn là chỉ thị MA0022 và chỉ thị MA0013, và chỉ thị trong vùng chỉ thị thứ sáu M6 có bên sườn là chỉ thị PZE-108107671 và chỉ thị SYN4196” có nghĩa là phân đoạn di truyền chứa khoảng thứ năm và phân đoạn di truyền được định vị giữa chỉ thị trong vùng chỉ thị thứ tám M8 có bên sườn là chỉ thị MA0022 và chỉ thị MA0013 và chỉ thị trong vùng chỉ thị thứ sáu M6 có bên sườn là chỉ thị PZE-108107671 và chỉ thị SYN4196.

Thuật ngữ “lai hóa” hoặc “sự lai hóa” cần được hiểu nghĩa là quá trình trong đó phân tử axit nucleic chuỗi đơn kết tụ với chuỗi axit nucleic bổ trợ nhất có thể, tức là cặp bazơ có nó. Các ví dụ về các phương pháp tiêu chuẩn để lai hóa đã được mô tả vào năm 2001 bởi Sambrook et al. Tốt hơn nếu, điều này cần được hiểu có nghĩa là

ít nhất 60%, tốt hơn nữa nếu ít nhất 65%, 70%, 75%, 80% hoặc 85%, đặc biệt tốt hơn nếu 90%, 91%, 92%, 93%, 94%, 95%, 96%, 97%, 98% hoặc 99% các bazơ của phân tử axit nucleic tiến hành bắt cặp bazơ với chuỗi axit nucleic hỗ trợ nhất có thể đó. Khả năng kết tụ này phụ thuộc vào độ nghiêm ngặt của các điều kiện lai hóa. Thuật ngữ “độ nghiêm ngặt” dùng để chỉ các điều kiện lai hóa. Độ nghiêm ngặt cao là khi việc ghép cặp bazơ khó khăn hơn, độ nghiêm ngặt thấp là khi việc ghép cặp bazơ dễ hơn. Độ nghiêm ngặt của các điều kiện lai hóa phụ thuộc vào, ví dụ, nồng độ muối hoặc cường độ ion và nhiệt độ. Nói chung, độ nghiêm ngặt này có thể gia tăng bằng cách tăng nhiệt độ và/hoặc bằng cách giảm hàm lượng muối. Thuật ngữ “các điều kiện lai hóa nghiêm ngặt” cần được hiểu nghĩa là các điều kiện trong đó quy trình lai hóa diễn ra chủ yếu là chỉ giữa các phân tử axit nucleic đồng đẳng. Thuật ngữ “các điều kiện lai hóa” theo khía cạnh này không những được dùng để chỉ các điều kiện thực tế chiếm ưu thế trong quá trình kết tụ axit nucleic thực tế, mà còn được dùng để chỉ cả các điều kiện chiếm ưu thế trong các bước rửa tiếp theo. Các ví dụ về các điều kiện lai hóa nghiêm ngặt là các điều kiện trong đó chủ yếu là chỉ các phân tử axit nucleic có độ đồng nhất trình tự ít nhất là 70%, tốt hơn nếu ít nhất là 75%, ít nhất là 80%, ít nhất là 85%, ít nhất là 90% hoặc ít nhất là 95% là trải qua quá trình lai hóa. Các điều kiện lai hóa nghiêm ngặt là, ví dụ: 4 x SSC ở nhiệt độ 65°C và rửa nhiều lần tiếp đó trong 0,1 x SSC ở nhiệt độ 65°C trong khoảng 1 giờ. Thuật ngữ “các điều kiện lai hóa nghiêm ngặt” như được sử dụng trong bản mô tả này cũng có thể có nghĩa là: quá trình lai hóa ở nhiệt độ 68°C trong natri phosphat 0,25M, độ pH = 7,2, SDS 7%, EDTA 1mM và BSA 1% trong 16 giờ và sau đó rửa hai lần với 2 x SSC và SDS 0,1% ở nhiệt độ 68°C. Tốt hơn nữa, quá trình lai hóa diễn ra trong các điều kiện nghiêm ngặt.

Thuật ngữ “khoảng” hoặc “khoảng nhiễm sắc thể” có nghĩa là phân đoạn thẳng liên tục trên ADN hệ gen mà có mặt trong từng nhiễm sắc thể của cây hoặc trên đoạn nhiễm sắc thể và thường được xác định thông qua hai chỉ thị là các điểm cuối của khoảng này ở phía xa và phía gần. Về vấn đề này, bản thân các chỉ thị xác định các đầu của khoảng này cũng có thể là một phần của khoảng đó. Hơn nữa, hai khoảng khác nhau có thể chồng lên nhau. Trong phần mô tả này, khoảng được quy định bằng câu “ở giữa chỉ thị A và chỉ thị B”. Chỉ thị ở đầu của khoảng cũng có thể được định vị trong vùng chỉ thị đã được xác định về một phía của khoảng. Sau đó vùng chỉ thị được xác

định bằng cách bô trí hai chỉ thị bên sườn và cấu thành phân đoạn nhiễm sắc thể mà có thể định vị nhiều chỉ thị hơn, ngoài các chỉ thị bên sườn này. Các chỉ thị bên sườn xác định điểm cuối của vùng chỉ thị và bản thân chúng vẫn là một phần của vùng chỉ thị đó. Nếu cả hai chỉ thị ở đầu của khoảng là chỉ thị trong các vùng chỉ thị khác nhau ở cả hai phía của khoảng, thì phần mô tả nêu rõ khoảng này bằng câu “ở giữa chỉ thị trong vùng chỉ thị X có bên sườn là chỉ thị C và chỉ thị D và chỉ thị trong vùng chỉ thị Y có bên sườn là chỉ thị E và chỉ thị F”. Vùng chỉ thị có thể kéo dài lên đến 500 000 cặp bazơ (bp), và tốt hơn nếu có thể có kích cỡ nằm trong khoảng từ 100 000 đến 400 000 bp, hoặc đặc biệt tốt hơn nếu có thể có kích cỡ nằm trong khoảng từ 140 000 đến 315 000 bp.

Thuật ngữ “sự nhập gen” như được sử dụng liên quan đến sáng chế nghĩa là sự truyền ít nhất một alen gen mong muốn trên locus di truyền của nền di truyền vào nền khác. Ví dụ, sự nhập gen của alen gen mong muốn ở locus cụ thể có thể được truyền vào thế hệ con bằng cách lai giống giữa hai bố mẹ của cùng một loài. Theo cách khác, ví dụ, việc truyền alen gen cũng có thể diễn ra bằng cách tái tổ hợp giữa hai hệ gen thế cho trong tế bào nguyên sinh dung hợp, trong đó ít nhất một tế bào nguyên sinh thế cho mang alen gen mong muốn trong hệ gen của nó. Trong từng trường hợp, các thế hệ con mà sau đó chứa alen gen mong muốn, sau đó có thể được lai ngược dòng một lần nữa với dòng chứa nền di truyền được ưu tiên và có thể được chọn lọc alen gen mong muốn. Kết quả là có định được alen gen mong muốn trong nền di truyền đã chọn lọc được.

Thuật ngữ “phân tử axit nucleic được phân lập” hoặc “thể phân lập polynucleotit” nên được hiểu có nghĩa là phân tử axit nucleic hoặc polynucleotit được loại ra khỏi môi trường tự nhiên hoặc môi trường gốc của nó. Thuật ngữ này còn bao hàm phân tử axit nucleic được sản sinh theo phương pháp tổng hợp. “Polypeptit được phân lập” nên được hiểu có nghĩa là polypeptit đã được loại ra khỏi môi trường tự nhiên hoặc môi trường gốc của nó. Thuật ngữ này còn bao hàm polypeptit được sản sinh theo phương pháp tổng hợp.

Thuật ngữ “lây nhiễm mầm bệnh” nên được hiểu có nghĩa là thời điểm sớm nhất mà tại đó mầm bệnh tương tác với mô chủ của cây. Các ví dụ trong nấm như nấm nang hoặc nấm nước là sự sinh trưởng của sợi nấm hoặc sự hình thành các cấu trúc lây nhiễm

cụ thể như sợi nấm xâm nhập và sợi áp. Cụ thể là, sự lây nhiễm *Helminthosporium turcicum* có thể được nghiên cứu bằng cách sử dụng các kỹ thuật nhuộm khác nhau (ví dụ, xanh trypan) (Chung et al., *BMC Plant Biology* 10 (2010), 103; Walsh et al. (2008), Poster Presentation P192, 50th Maize Genetics Conference in Washington D.C.).

“Thể cho Pepitilla”, “Pepitilla đăng ký” hoặc “Pepitilla” nghĩa là, bên cạnh bản thân giống Pepitilla, các kiểu gen cây ngô khác mà hệ gen của nó, cụ thể là trên nhiễm sắc thể 8 bin 5 hoặc 6, được cài xen thể nhập gen của locus kháng HTN1, tốt hơn nếu từ Pepitilla. Các ví dụ về chúng là W22Htn (ví dụ, Bar-Zur et al. 1998), H6314Htn (ví dụ, Bar-Zur et al. 1998), B73HtN (ví dụ, Shimoni et al., *Journal of Phytopathology* 131:4 (1991), 315-321), B68HtN và A632HtN (ví dụ, Carson, *Plant Disease* 79 (1995), 717-720) và A619HtN (ví dụ, Stanković et al, *Genetika* 39:2 (2007), 227 - 240). Hơn nữa, Pepitilla bao gồm nguồn kháng bất kỳ mang lại kiểu hình kháng với các đặc tính điển hình của HTN1 sau khi nhập gen vào dòng ngô/cây ngô dễ bị gây hại. Các ví dụ về các đặc tính đặc hiệu đối với HTN1 này là làm chậm sự hình thành bào tử, làm giảm sự phát triển tổn thương, phát triển tổn thương nhỏ hơn, làm giảm vùng hình thành bào tử và/hoặc không có hoặc chỉ các tổn thương úa vàng-hoại tử tách riêng.

"Locus" là vị trí trên nhiễm sắc thể trong đó tìm thấy một hoặc nhiều gen được gây ra đặc tính nông học hoặc đặc tính ảnh hưởng. Cụ thể là, "locus" như được sử dụng trong bản mô tả nghĩa là locus kháng HTN1 truyền tính kháng chống lại mầm bệnh *Helminthosporium turcicum* hoặc ít nhất là chống lại nòi *Helminthosporium turcicum*.

“Cây ngô” nên được hiểu nghĩa là cây từ loài *Zea mays* cũng như loài con của nó như, ví dụ, *Zea mays* ssp. *mays*, *Zea mays* ssp. *mehicoa* hoặc *Zea mays* ssp. *parviglumis*.

“Chỉ thị” là trình tự nucleotit được sử dụng để làm điểm tham chiếu hoặc điểm định hướng. Chỉ thị dùng để nhận diện sự kiện tái tổ hợp nên thích hợp để giám sát sự khác nhau hoặc hiện tượng đa hình trong quần thể cây. Đối với các chỉ thị, các khác nhau này là ở cấp độ ADN và, ví dụ, là sự khác nhau về trình tự polynucleotit như, ví dụ, SSR (chuỗi lặp lại đơn giản), RFLP (đa hình chiết dài đoạn cắt giới hạn), FLP

(đa hình chiều dài đoạn cắt) hoặc SNP (đa hình nucleotit đơn). Các chỉ thị này có thể có nguồn gốc từ axit nucleic hệ gen hoặc axit nucleic được biểu hiện như ARN cắt nối, ADN bổ trợ hoặc EST và có thể là dựa trên axit nucleic dùng làm đầu dò hoặc cặp đoạn mồi và như thích hợp để khuếch đại đoạn trình tự bằng cách sử dụng các phương pháp dựa trên PCR. Các chỉ thị liên quan đến đa hình di truyền giữa các phần quần thể có thể được phát hiện ra bằng cách sử dụng các phương pháp đã được thiết lập từ tình trạng kỹ thuật (An Introduction to Genetic Analysis. 7th Edition, Griffiths, Miller, Suzuki et al., 2000). Các phương pháp này bao gồm, ví dụ: giải trình tự ADN, khuếch đại đặc hiệu trình tự dựa trên PCR, thử nghiệm RFLP, thử nghiệm đa hình polynucleotit bằng cách sử dụng kỹ thuật lai hóa đặc hiệu alen (ASH), dò SSR, SNP hoặc AFLP. Các phương pháp phát hiện EST (nhãn trình tự được biểu hiện) và RAPD (ADN đa hình được khuếch đại ngẫu nhiên) cũng là đã biết. Tùy vào ngữ cảnh, thuật ngữ “chỉ thị” trong phần mô tả cũng có thể có nghĩa là vị trí nhiễm sắc thể đặc hiệu trong hệ gen của loài mà chỉ thị đặc hiệu này (ví dụ, SNP) có thể được tìm thấy. Vị trí chỉ thị thuộc loại này có thể được sử dụng để giám sát sự có mặt của locus được kết hợp, ví dụ, locus đã kết hợp mà góp phần biểu hiện đặc tính kiểu hình đặc hiệu (ví dụ, HTN1 hoặc liên kết bất lợi). Ví dụ, locus chỉ thị này cũng có thể được sử dụng để quan sát sự phân ly alen ở locus (QTL hoặc cá thể gen) mà được kết hợp nghiêm ngặt về mặt di truyền hoặc vật lý với vị trí chỉ thị.

“Được liên kết điều khiển được” nghĩa là được liên kết trong phân tử axit nucleic chung theo cách sao cho các yếu tố được liên kết được định vị và định hướng đối với nhau sao cho có thể diễn ra quá trình phiên mã của phân tử axit nucleic. ADN được liên kết điều khiển được với gen khởi đầu là dưới sự kiểm soát phiên mã của gen khởi đầu này.

Các ví dụ về “bộ phận” của cây là lá, thân cây, thân, rễ, chồi sinh dưỡng, mô phân sinh, phôi, bao phấn, noãn hoặc quả. “Các phần” của cây có nghĩa là dạng kết hợp của một vài bộ phận, ví dụ, hoa hoặc hạt giống hoặc một phần của bộ phận, ví dụ, đoạn cắt từ thân. Các ví dụ về “mô” cây là mô sần, mô mềm, mô phân sinh, mô lá, mô chồi, mô rễ, mô bướu cây hoặc mô sinh sản. Thuật ngữ “tế bào” nên được hiểu có nghĩa là tế

bào cây được phân lập với thành tế bào hoặc thể kết tụ của nó hoặc tế bào nguyên sinh chẳng hạn.

Trong ngữ cảnh của sáng chế, trừ khi có quy định khác, “cây” có thể là loài bất kỳ trong số cây hai lá mầm, cây một lá mầm hoặc cây hạt trần. Tốt hơn nữa, các cây này là cây một lá mầm và đang được quan tâm trong nông nghiệp hoặc nông trại hoặc để sản xuất năng lượng sinh học (etanol sinh học, biogas, v.v.). Ví dụ là *Gossypium* sp., *Zea mays*, *Brachypodium distachyon*, *Triticum* sp., *Hordeum vulgare*, *Oryza sativa*, *Sorghum* sp., *Musa* sp., *Saccharum officinarum*, *Secale cereale*, *Avena* sp., cỏ cảnh và cỏ gia súc. Cây được ưu tiên theo sáng chế là cây có nguồn gốc từ giống *Zea*, cụ thể là loài *Zea mays*, hoặc *Sorghum*.

Liên quan với sáng chế, thuật ngữ “trình tự điều hòa” có nghĩa là trình tự nucleotit ảnh hưởng đến tính đặc hiệu và/hoặc độ bền biểu hiện, ví dụ, tới mức mà trình tự điều hòa này mang lại tính đặc hiệu mô cụ thể. Trình tự điều hòa kiểu này có thể được định vị ngược dòng với điểm bắt đầu phiên mã của gen khởi đầu tối thiểu, nhưng cũng cả xuôi dòng của nó, ví dụ, trong trình tự dẫn đầu được phiên mã nhưng không dịch mã hoặc trong intron.

Cụm từ “tính kháng” hoặc “kháng” liên quan đến mầm bệnh nên được hiểu có nghĩa là khả năng kháng các tác động phá hại của mầm bệnh ở cây hoặc tế bào cây và kéo dài từ thời điểm bệnh chậm phát triển đến khi ức chế hoàn toàn sự phát triển của bệnh. Liên quan đến sáng chế, cây/tế bào cây kháng hoặc cây/tế bào cây có tính kháng đối với mầm bệnh *Helminthosporium turcicum* (*H. turcicum* hoặc HT), tức là bệnh ở lá gọi là bệnh đốm lá ở cây ngô (NCLB). Tính kháng này được truyền lại nhờ một hoặc nhiều protein được mã hóa bằng gen hoặc bằng các gen (gen truyền tính kháng) từ *Pepitilla* đăng ký. Tính kháng này có thể là hoàn toàn hoặc cục bộ và có thể đặc hiệu hoặc không đặc hiệu đối với nòi mầm bệnh. Trong sự kiện tính kháng đặc hiệu với nòi mầm bệnh, thì nòi có độc lực của *Helminthosporium turcicum* có thể, ví dụ, bao gồm N, 1N, 2N, 23N hoặc 123N; nòi không có độc lực có thể, ví dụ, bao gồm 0, 1, 2, 3, 12, 23 hoặc 123. Tính kháng được truyền lại có thể là tính kháng được di truyền mới hoặc tính kháng tăng thêm một phần so với hiện có.

“Cây chuyển gen” là cây đã được kết hợp vào hệ gen của nó ít nhất một polynucleotit, tốt hơn nếu là polynucleotit khác loại. Tốt hơn nếu, polynucleotit này đã được kết hợp theo cách ổn định, có nghĩa là polynucleotit đã kết hợp vẫn ổn định trong cây, được biểu hiện và cũng có thể được di truyền một cách ổn định cho các đời sau. Quá trình nhập nội polynucleotit một cách ổn định vào hệ gen của cây còn bao gồm bước kết hợp vào hệ gen của cây thế hệ bố mẹ trước đó, nhờ đó polynucleotit này có thể tiếp tục được di truyền theo cách ổn định. Thuật ngữ “khác loại” có nghĩa là polynucleotit đã nhập nội có nguồn gốc từ, ví dụ, tế bào hoặc cơ quan có nền di truyền khác thuộc cùng loài hoặc từ một loài khác, hoặc đồng đẳng với tế bào chủ nhân rải rác hoặc nhân diễn hình, nhưng sau đó được định vị trong môi trường di truyền khác nhau và do đó khác với polynucleotit có trong tự nhiên tương ứng có thể có bất kỳ. Polynucleotit khác loại có thể có mặt ngoài gen nội sinh tương ứng.

1. Thí nghiệm kiểu hình

A) Thực hiện các thử nghiệm trên cánh đồng để xác định tính kháng HT trong các điều kiện cấy ghép/lây nhiễm tự nhiên và nhân tạo và thời gian ra hoa:

Ở một vị trí, ít nhất 20 cá thể trong mỗi kiểu gen ngô cần được nghiên cứu được trồng thành hàng. Tiến hành cấy ghép theo phương pháp tự nhiên hoặc nhân tạo. Quá trình cấy ghép/lây nhiễm tự nhiên được thực hiện bằng cách sử dụng các bào tử có trong tự nhiên của *H. turcicum*. Quá trình cấy ghép/lây nhiễm nhân tạo được thực hiện bằng cách sử dụng vật liệu lá được lây nhiễm và trên đất mà được sử dụng cho cây cần được thử nghiệm. Kiểu cấy ghép nhân tạo cho phép mô phỏng sự xâm nhiễm *H. turcicum* tương đương trong năm thử nghiệm khác nhau và ở các vị trí khác nhau không phụ thuộc vào các điều kiện xâm nhiễm tự nhiên chiếm ưu thế ở đó. Bố mẹ dễ bị gây hại và bố mẹ có sự nhập gen HTN1 được canh trường từ thế cho B37HTN1 để làm kiểu gen đối chứng, tùy thuộc vào quần thể con lai thử nghiệm. Điểm số phân loại về đặc tính kháng HT được ghi lại ít nhất là ba lần trong giai đoạn sinh dưỡng. Chỉ có biểu đồ điểm số phân loại được thể hiện trong Bảng 3 được sử dụng.

Thể cho B37HTN1 dưới dạng nguồn của tính kháng HT được lai vào các nền di truyền khác nhau từ dòng ưu tú với các mức độ dễ bị gây hại khác nhau đối với *H.*

turcicum và dòng gần đắng gen được phát triển mà khác với dòng gốc dễ bị gây hại về cơ bản chỉ bằng cách nhập gen từ B37HTN1. Trong thí nghiệm kiểu hình, sau quá trình cây ghép nhân tạo như được mô tả ở trên, các dòng được chọn lọc mà biểu hiện tính kháng HT cải thiện ít nhất là 2 đến 3 điểm số phân loại, tốt hơn nếu từ 3 đến 4 điểm số phân loại bằng cách đưa thể nhập gen truyền tính kháng từ B37HTN1 vào. Sáng chế được mô tả chi tiết hơn dưới đây thông qua ví dụ sử dụng hai bố mẹ tuần hoàn được chọn lọc RP1 và RP3. Các kết quả của thí nghiệm kiểu hình được mô tả này được tóm tắt trong Bảng 5. Bố mẹ tuần hoàn RP1 không có sự nhập gen biểu hiện điểm số phân loại trung bình nằm trong khoảng từ 7 đến 9, được cải thiện 3 đến 4 điểm số phân loại nhờ quá trình nhập gen từ B37HTN1. Bố mẹ tuần hoàn RP3 có điểm số phân loại nằm trong khoảng từ 4 đến 6 không có sự nhập gen và cải thiện 2 đến 3 điểm số phân loại nhờ quá trình nhập gen. Bố mẹ tuần hoàn RP4 có điểm số phân loại là 6 không có sự nhập gen và cải thiện 2 đến 3 điểm số phân loại nhờ quá trình nhập gen.

Bảng 5: Dữ liệu kiểu hình đối với tính kháng HT từ các kiểu gen RP1, RP3, và RP4 có và không có sự nhập gen truyền tính kháng từ B37HTN1 (điểm số phân loại được xác định theo biểu đồ trong Bảng 3).

Kiểu gen	Điểm số phân loại trung bình (n=20) không có sự nhập gen từ B37HTN1	Tính kháng HT cải thiện với sự nhập gen từ B37HTN1
RP1	7 đến 9	3 đến 4
RP3	4 đến 6	2 đến 3
RP4	6	2 đến 3

Ngoài tính kháng HT, đối với mỗi kiểu gen, thời gian cây cái và cây đực ra hoa được xác định là “ngày sau khi gieo hạt”. Thời gian ra hoa đối với cây cái được xác định bằng sự xuất hiện râu; còn thời gian ra hoa đối với cây đực là bằng sự biểu hiện chùy. Các kết quả được thể hiện chi tiết hơn trong Ví dụ 3.B).

B) Thực hiện các thử nghiệm trên cánh đồng để xác định sản lượng hạt và sản lượng ủ chua:

Bên cạnh dữ liệu liên quan đến tính kháng HT và thời gian ra hoa nêu trên, dữ liệu sản lượng đối với RP3 chứa các đoạn nhập gen truyền tính kháng có chiều dài khác

nhau từ B37HTN1 hoặc Pepitilla và đối với dòng đối chứng ưu tú được xác định. Các dòng RP3, RP3HTNA và RP3HTNK được rắc phần tử thử nghiệm (ngô đá, con lai đơn nhóm trung gian) của nhóm gen bổ trợ (ngô đá) để tạo ra hạt giống cây dùng cho các thế lai thử nghiệm. Mỗi thế lai thử nghiệm này được cho sinh trưởng lặp lại trong thử nghiệm trên cánh đồng ở năm vị trí tiêu biểu đối với cây ngô ở Đức. Các thế lai thử nghiệm được biến đổi thích nghi với các vùng sinh trưởng này về độ chín. Thử nghiệm trên cánh đồng được thực hiện hai lần trong các mảnh đất 4 luống riêng rẽ dài 6m và rộng 0,75m. Mật độ là 9 cây/m² trong lần thứ nhất và 11 cây/m² trong lần lặp lại thứ hai. Tại thời điểm thu hoạch ngô ủ chua, chỉ hai luống ở giữa của mỗi mảnh đất được thu hoạch để giảm thiểu tối đa tác động cạnh tranh. Trọng lượng trong mỗi mảnh đất và hàm lượng nước được xác định đối với vật liệu được thu hoạch để tính năng suất ngô ủ chua (còn được biết đến là năng suất ủ chua hoặc tổng sản lượng chất khô) và hàm lượng chất khô (tổng hàm lượng chất khô).

C) Thực hiện các thử nghiệm trong nhà kính để xác định tính kháng HT:

20 cá thể trong mỗi kiểu gen được cho sinh trưởng trong chậu. Các đối chứng là kiểu gen của bố mẹ dễ bị gây hại và bố mẹ gần đẳng gen (NIL) có thể nhập gen truyền tính kháng từ B37HTN1, phụ thuộc vào con lai. 14 ngày sau khi gieo hạt, tiến hành lấy nhiễm nhân tạo (tham khảo ở trên). Sau 2 đến 3 tuần nữa, các triệu chứng đầu tiên của bệnh phát triển. Từ thời điểm biểu hiện các triệu chứng đầu tiên, mỗi ngày sau đó, điểm số phân loại về đặc tính kháng HT cũng như số lượng cây có các triệu chứng này được xác định. Từ đó, AUDPC (*diện tích dưới đường cong tiến triển bệnh*) được xác định. Tần suất xâm nhiễm (ở dạng %/thời gian × giai đoạn) được sử dụng để phân loại các cây trong khảo sát này; ở đây, AUDPC từ 0 – 100 là kháng, 101 – 450 là dị hợp tử, và > 450 là dễ bị gây hại.

2. Sự phát triển chỉ thị đối với vùng đích HTN1

Bên cạnh các thử nghiệm điểm số phân loại, vùng đích quanh locus kháng HTN1 trên nhiễm sắc thể 8 (bin 8.06) trong nhiều kiểu gen cũng được thử nghiệm chi tiết hơn và được lập bản đồ một cách đồng đều bằng cách sử dụng chỉ thị phân tử mới và/hoặc chỉ thị phân tử được tối ưu hóa. Chỉ thị phân tử được sử dụng trong bản mô tả

này được phát triển dựa trên dạng đa hình nucleotit đơn (SNP) hoặc chỉ thị chuỗi lặp lại đơn giản (SSR) đã có sẵn trên thị trường:

ADN từ các kiểu gen để sử dụng làm chỉ thị được phân lập bằng cách sử dụng phương pháp NucleoSpin 96 Plant II theo chỉ dẫn của nhà sản xuất (MACHEREY-NAGEL GmbH & Co. KG, Đức) hoặc bằng cách sử dụng phương pháp Klear Gene DNA Extraction 384 (LGC Genomics GmbH, Đức).

Các trình tự đoạn mồi đối với các chỉ thị SSR là đã biết từ cơ sở dữ liệu công khai của Trung tâm Thông tin Kỹ thuật sinh học Quốc gia (NCBI) tại <http://www.ncbi.nlm.nih.gov/unists>; các trình tự đoạn mồi đối với các chỉ thị bnlg1782, umc1960, bnlg240, umc1121, bnlg1067 và umc1287, được sử dụng để thử nghiệm vùng đích, được tóm tắt trong Bảng 6, cũng như các biến đổi được tạo ra.

Bảng 6: Trình tự đoạn mồi đối với chỉ thị SSR (NED: phenyl-1,4-diclo-6-carboxyfluoresxin được dung hợp 2'-clo-5'-flo-7',8'; FAM: 6-carboxyfluoresxin; M13: trình tự lõi đối với thê thực khuẩn M13)

Chỉ thị	Trình tự đoạn mồi thuận (5'-3') [SEQ ID NO]	Biến đổi	Trình tự đoạn mồi nghịch (5'-3') [SEQ ID NO]	Biến đổi	Đoạn mồi bổ sung + biến đổi
bnlg1782	113	NED	114	không	
umc1960	115	NED	116	không	
bnlg240	117	FAM	118	không	
umc1121	119	FAM	120	không	
bnlg1067	121	FAM	122	không	
umc1287	123	không	124	không	M13 + FAM

Thể tích của hỗn hợp phản ứng PCR của bnlg1782, umc1960, bnlg240, umc1121 và bnlg1067 là 10µl và gồm nồng độ đơn lẻ là 4x chất đệm B (Solis BioDyne, Estonia), 0,5pmol đoạn mồi thuận, 0,5pmol đoạn mồi nghịch, 10-30 ng ADN, 0,25 đơn vị HotFirepol TAQ-Polymeraza (Solis BioDyne, Estonia). Thể tích của hỗn hợp phản ứng của umc1287 là 10µl và gồm nồng độ đơn lẻ của 4x chất đệm

B (Solis BioDyne, Estonia), 0,5pmol đoạn mồi nghịch, 2,5pmol đoạn mồi nghịch, 0,3pmol đoạn mồi bổ sung M13, 10-30 ng ADN, 0,25 đơn vị HotFirepol TAQ-Polymeraza (Solis BioDyne, Estonia).

Phản ứng PCR được thực hiện với thời gian biến tính ban đầu là 900 giây ở nhiệt độ 94°C, chu kỳ khuếch đại là 25 đến 40 chu kỳ với 15 giây ở nhiệt độ 94°C, 30 giây ở nhiệt độ từ 50 đến 55°C và 120 giây ở nhiệt độ 72°C, và bước cuối cùng là 300 giây ở nhiệt độ 72°C. Tiếp theo, hỗn hợp phản ứng PCR được ủ trong thời gian 2 giờ ở nhiệt độ 65°C. Các sản phẩm PCR được tách ra trên ABI3730xl (Life Technologies™, USA) theo chỉ dẫn của nhà sản xuất để tách các đoạn 50 đến 400 bp.

Các chỉ thị SNP được phát triển và được sử dụng (a) từ nguồn sẵn có trên thị trường (b) từ quá trình giải trình tự amplicon đối chứng hoặc (c) từ quá trình so sánh trình tự của các trình tự BAC từ RP4HTN1 (tham khảo đoạn Phân tích phân tử) và hệ gen tham chiếu B73 AGPv02 (www.maizesequence.org).

(a) Các SNP được biến nạp vào các chỉ thị KASP (LGC Genomics GmbH, Đức) từ nguồn SNP sẵn có trên thị trường của Maize Community 50K-Illumina-Chip (Ganal et al., 2011). Nhằm mục đích này, các đoạn mồi mới được phát triển mà đảm bảo sự khuếch đại của các alen mang tính quyết định trong thử nghiệm chỉ thị KASP (tham khảo Bảng 4). Toàn bộ thao tác được thực hiện bằng cách sử dụng phần mềm Kraken™ (LGC Genomics GmbH, Đức). Đối với thử nghiệm chỉ thị KASP, 5-20 ng ADN, 0,02μl hỗn hợp thử nghiệm oligo (12μM alen đoạn thuận 1 (thuận); 12μM alen đoạn mồi 2 (thuận); 30μM đoạn mồi nghịch) và 1,5μl bộ kit chất phản ứng 1xKASPar dùng cho 1536 đĩa được sử dụng. Điều kiện cài đặt PCR tiêu chuẩn gồm có nhiệt độ 94°C trong 15 phút, 10 chu kỳ ở nhiệt độ 94°C trong 20 giây, hạ xuống 61-55°C trong 1 phút, 26 chu kỳ ở nhiệt độ 94°C trong 20 giây và 55°C trong 1 phút. Quá trình đánh giá alen trong mỗi kiểu gen được thực hiện bằng cách sử dụng phần mềm Kraken™ (LGC Genomics GmbH, Đức).

(b) Quá trình giải trình tự amplicon đối chứng được thực hiện bằng cách sử dụng kỹ thuật giải trình tự Sanger. Mỗi kiểu gen trong các trình tự đối chứng chứa thẻ cho B37HTN1 cũng như các thẻ cho B37, RP1, RP1HTN1, RP3, RP3HTN1 (phiên

bản A, B, K), RP4, RP4HTN1. ADN được phân lập từ các hạt trên đất bằng cách sử dụng phương pháp CTAB (Maniatis et al., 1982). Các trình tự đoạn mồi để giải trình tự amplicon được liệt kê trong Bảng 4. Phương pháp PCR tiêu chuẩn để khuếch đại các vùng tương ứng bao gồm bước làm biến tính ở nhiệt độ 94°C trong 5 phút, 35 chu kỳ, mỗi chu kỳ ở nhiệt độ 94°C trong 1 phút, 60°C trong 1 phút và 72°C trong 2 phút và bước tiếp theo ở nhiệt độ 72°C trong 10 phút. Các sản phẩm PCR được giải trình tự bằng phương pháp Sanger (Sanger & Coulson, 1975). Quá trình đánh giá trình tự được thực hiện bằng cách sử dụng phần mềm DNASTAR Lasergene (DNASTAR Inc., USA). Các dạng đa hình phát hiện được được biến đổi thành các chỉ thị KASP như được mô tả trong mục (a).

(c) Các contig trình tự BAC được nhắm chong lại hệ gen tham chiếu B73 AGPv02 bằng cách sử dụng thuật toán Blast (<http://blast.ncbi.nlm.nih.gov/Blast.cgi>) để phát hiện dạng đa hình nucleotit đơn (SNP). Dạng đa hình này được phát hiện bằng cách sử dụng phần mềm Lasergene (DNASTAR Inc., USA) và được thể hiện trong Bảng 4 cùng với trình tự bên sườn. Các đoạn mồi được phát triển đối với trình tự bên sườn của SNP và các SNP đã nhận biết được được biến nạp vào các chỉ thị KASP như được mô tả trong mục (a).

3. Định vị locus kháng HTN1 trên nhiễm sắc thể 8 bằng cách sử dụng chỉ thị SSR

A) Định vị locus kháng HTN1:

Locus kháng HTN1 từ các thế cho B37HTN1 được lai vào các dòng ưu tú như được mô tả trong ví dụ 1.A) và được định vị trên nhiễm sắc thể 8 (bin 8.06) với sự trợ giúp của các chỉ thị SSR và SNP từ ví dụ 2 (xem Fig.1). Các NIL từ các con lai RP1 x RP1HTN1 và RP3 x RP3HTN1 được lập kiểu hình lặp lại hai lần ở hai vị trí qua vài năm trong các điều kiện lây nhiễm tự nhiên bằng cách sử dụng biểu đồ điểm số phân loại trong bảng 3. Các NIL thể hiện, trên trung bình, đáp ứng kháng mà cải thiện 4 điểm số phân loại so với dòng gốc. Sự phát triển của các tổn thương cục bộ trên lá được dịch chuyển khoảng 2 tuần so với kiểu gen dễ bị tổn thương. Quy trình lập bản đồ QTL được thực hiện với 528 cá thể F2 (lai RP1 x RP1HTN1) bằng cách sử dụng 8 chỉ thị (bảng 4 và bảng 6 là từ các chỉ thị lập bản đồ QTL trên Fig.1). Vùng

QTL mà bao gồm locus kháng HTN1 được định vị trên nhiễm sắc thể 8 giữa chỉ thị MA0002 và chỉ thị umc1287, trong vùng 23,1 cM.

B) Lai đoạn thê cho B37HTN1 vào dòng ngô ưu tú và nhận biết và loại bỏ liên kết bất lợi làm chậm thời gian ra hoa:

Thê cho B37HTN1 được lai với KWS.elite, dòng ngô ưu tú từ KWS SAAT AG (Đức) và sau đó được lai ngược dòng qua năm đời với KWS.elite. Ở mỗi đời lai ngược dòng, chỉ thị phân tử được sử dụng để chọn lọc các cây mà là dị hợp tử đối với vùng đích HTN. Kế tiếp, cây đã được chọn lọc từ đời lai ngược dòng thứ năm được tự thụ tinh và các cây đồng hợp tử đối với vùng đích HTN được nhận biết bằng các chỉ thị phân tử.

Các dòng này được kiểm định trong các thử nghiệm trên cánh đồng ở một vài vị trí. Về vấn đề này, đối với các kiểu gen B37HTN1, KWS.elite và KWS.elite.B37HTN1, dữ liệu kiểu hình về tính kháng HT và thời gian ra hoa được xác định như được mô tả trong ví dụ 1. Các kiểu gen có thể nhập gen HTN1 biểu hiện tính kháng HT theo mong đợi với điểm số phân loại là từ 1 đến 3, trong khi dòng gốc KWS.elite có điểm số phân loại là từ 5 đến 7. Ngoài ra, so với KWS.elite, bất ngờ là KWS.elite.B37HTN1 có thời gian ra hoa đối với cả hoa cái và hoa đực mà dịch chuyển ít nhất là 2 ngày. Thời gian ra hoa dịch chuyển này cấu thành đặc tính nông học tiêu cực cho cây ngô dựa trên liên kết bất lợi chưa được mô tả ở dạng nhập gen sau này của tính kháng HT từ B37HTN1. Phân tích chỉ thị tìm ra sự định vị của liên kết bất lợi mà chịu trách nhiệm về việc làm chậm thời gian ra hoa ở vùng nằm giữa hai vùng chỉ thị trên phần nhập gen từ B37HTN1, giữa M1 và M2. Về vấn đề này, các kiểu gen B37HTN1, KWS.elite và KWS.elite.B37HTN1, ví dụ, được phân tích bằng các chỉ thị KASP SYN14136, PZE-108076510, SYN24931 và PZE-108077560 (xem Fig.3 và bảng 4). SYN14136 và PZE-108076510 được sử dụng để phát hiện cụ thể vùng chỉ thị M1, SYN24931 và PZE-108077560 để phát hiện cụ thể vùng M2. Theo đó, vùng chỉ thị M1 nằm ở đầu 5' từ locus của liên kết bất lợi và vùng chỉ thị M2 nằm ở đầu 3' từ đó. Phân tích chỉ thị đã cho thấy rằng B37HTN1 và KWS.elite.B37HTN1, đều có thời gian ra hoa chậm hai ngày, biểu hiện alen chung cho vùng M1 và vùng M2 cũng như

khoảng giữa các vùng này, trong khi KWS.elite có thời gian ra hoa bình thường và có các alen khác nhau cho vùng M1 và vùng M2 và khoảng giữa chúng.

Thế cho B37HTN1 được lai với RP3 và sau đó được lai ngược dòng qua ba đời với RP3. Chỉ thị phân tử được sử dụng trong mỗi đời lai ngược. Ban đầu, cây đồng hợp tử với vùng đích HTN1 được chọn lọc và sau đó các cây này được khảo sát với các chỉ thị mà đã được phân phôi đồng đều trên toàn hệ gen để chọn lọc dựa trên hệ gen thế cho. Tiếp theo, cây đã được chọn lọc từ đời lai ngược dòng thứ ba được tự thụ tinh và các cây đồng hợp tử với vùng đích HTN1 được nhận biết bằng các chỉ thị phân tử.

Hơn nữa, thế cho B37HTN1 cũng được lai với bố mẹ tuần hoàn RP3 và RP4 và dòng RP3HTNA và RP4HTNA đã tạo ra qua một vài bước lai ngược dòng. Việc xác định kiểu hình trên tính kháng HT đã thể hiện sự cải thiện về điểm số phân loại từ 5 đến 7 đối với dòng gốc RP3 đến 1 đến 3 đối với RP3HTNA và sự cải thiện về điểm số phân loại từ 6 đối với dòng gốc RP4 đến 2 đến 3 đối với RP4HTNA. Việc xác định kiểu hình cho thời gian ra hoa có thời gian ra hoa tương đương đối với RP3 và RP3HTNA và RP4 và RP4HTNA. Việc sử dụng các chỉ thị KASP SYN14136, PZE-108076510, SYN24931 và PZE-108077560 đã cho thấy rằng RP3 và RP3HTNA mang alen chung cho vùng M1 và vùng M2. Các alen này không tương ứng với thế cho B37HTN1. Kết quả là, sau đó, đoạn nhiễm sắc thể làm chậm thời gian ra hoa của thế nhập gen từ B37HTN1 nằm trên khoảng nhiễm sắc thể giữa vùng chỉ thị M1 và vùng chỉ thị M2. Với dòng RP3HTNA, thì liên kết bất lợi này được loại bỏ một cách thành công. Các chỉ thị KASP được sử dụng, SYN14136, PZE-108076510, SYN24931 và PZE-108077560, cho thấy là các công cụ hiệu quả cho quy trình “chọn lọc có trợ giúp”.

Việc xác định kiểu hình của RP3 và RP3HTNA cũng bao gồm việc ghi lại năng suất hạt và ủ chua. Mặc dù năng suất hạt trong các kiểu gen không khác nhau đáng kể, đặc tính năng suất ủ chua trong RP3HTNA đã có sự giảm rõ ràng, có ý nghĩa về mặt thống kê ít nhất là 14 deciton trên hecta (dt/ha) so với RP3, hoặc giảm hơn 5%.

Với sự trợ giúp của các chỉ thị KASP đã thiết kế SYN14136, PZE-108076510, SYN24931 và PZE-108077560, dòng RP1HTN1 có thể được chọn lọc từ con lai của

B37HTN1 và bố mẹ tuần hoàn RP1 mà không có thêm bất kỳ liên kết bất lợi làm chậm thời gian ra hoa nào nữa, thay vào đó làm giảm năng suất ủ chua, như được quan sát đối với RP3HTNA. Với mục đích nhằm mô tả đặc điểm phân tử chính xác hơn, RP1HTN1 được phát triển thêm và quần thể F2 được thành lập với 724 cá thể từ con lai RP1 x RP1HTN1. Tiếp theo, đời F3 được tự thụ tinh và các cây F4 đã được chọn lọc được xác định kiểu gen và kiểu hình. Quy trình xác định kiểu gen được thực hiện bằng cách sử dụng các chỉ thị từ bảng 6 trong vùng QTL phát hiện được bằng 23,1 cM. Quy trình xác định kiểu hình được thực hiện ở một vài vị trí lặp lại hai lần (xem ví dụ 1). Các cây tái tổ hợp đối với vùng QTL được chọn lọc và tương quan với dữ liệu kiểu hình. Việc chọn lọc bao gồm các cây gồm các vùng khác nhau của vùng đích cũng như các cây dị hợp tử, với mục đích thu được các cây tái tổ hợp mới. Mỗi năm, hai phép lai ngược dòng với RP1 được thực hiện và các cá thể cây được chọn lọc, và vì vậy các thế tái tổ hợp mới được tạo ra. Các thế tái tổ hợp mới được xác định kiểu hình trong các thử nghiệm trên cánh đồng và trong nhà kính (xem mục 1.) và xác định kiểu gen để phát triển chỉ thị phân tử mới theo mục 2.

Việc sử dụng các chỉ thị mới này trên kiểu gen RP3HTNA cho phép vùng chỉ thị M3 được nhận biết mà giới hạn sự nhập gen trong vùng 5' và có thể được mô tả bằng các chỉ thị bên sườn PZE-108093423 và PZE-108093748. Về vấn đề này, PZE-108093423 cần có alen của bố mẹ tuần hoàn RP3 và PZE-108093748 cần có alen của thế cho B37HTN1. Trong vùng 3', sự nhập gen của RP3HTNA bởi các chỉ thị PZE-108107671 và SYN4196 trong vùng chỉ thị khác M6 được mô tả (xem Fig.3). Về vấn đề này, PZE-108107671 mang alen của thế cho B37HTN1 và SYN4196 mang alen của bố mẹ tuần hoàn RP3. Sự nhập gen từ RP3HTNA (sau đây gọi là phiên bản A) tương ứng, giữa vùng chỉ thị M3 và vùng chỉ thị M6, với thế cho B37HTN1, nhưng ngoài vùng này thì nó tương ứng với bố mẹ tuần hoàn hoặc một dòng khác mà không mang alen trong vùng của thế cho B37HTN1 giữa M1 và M2. Phiên bản A này được nhập nội vào nhiều nền di truyền khác và thử nghiệm năng suất sạch, xác định kiểu hình kháng và xác định thời gian ra hoa được thực hiện. Các kết quả này tương đương với các kết quả được mô tả đối với RP3HTNA. Vì vậy, thời gian ra hoa không thay đổi so với dòng tương ứng không nhập gen và dòng này có tính kháng

Helminthosporium turcicum cải thiện so với dòng gốc, hoặc ít nhất là giảm năng suất ủ chua.

C) Nhận biết và loại bỏ liên kết bất lợi để giảm năng suất ủ chua:

Thể cho được sử dụng là dòng RP3HTNA. Dòng này được lai với RP3 và tự thụ tinh qua sáu đời nữa. Ở mỗi đời tự thụ tinh, chỉ thị phân tử được sử dụng trong vùng đích để làm giảm đoạn cho. Do tất cả các vùng của hệ gen bên ngoài vùng đích đã được chọn lọc trong dòng RP3HTNA trên hệ gen RP3, nên chỉ có vùng xung quanh vùng đích HTN được khảo sát bằng các chỉ thị. Về vấn đề này, các cây đồng hợp tử được nhận biết cho vùng đích HTN đã giảm. Đồng thời cũng tiến hành phát triển chỉ thị mạnh ở vùng đích. Bên cạnh nhiều dòng khác, dòng RP3HTNK được nhận biết mà đã mô tả đoạn cho B37HTN1 từ vùng chỉ thị M4 có bên sườn là chỉ thị MA0004 và chỉ thị MA0005, trong đó MA0004 mô tả alen của bô mẹ tuần hoàn RP3 và MA0005 mô tả alen của thể cho B37HTN1 trong RP3HTNK, lên đến vùng chỉ thị M5, có bên sườn là chỉ thị MA0006 và chỉ thị PZE-108097482, trong đó MA0006 mô tả alen của thể cho B37HTN1 và PZE-108097482 mô tả alen của bô mẹ tuần hoàn RP3. Trong RP3HTNK, sự nhập gen từ RP3HTNK (sau đây gọi là phiên bản K) tạo ra tính kháng HTN1 cải thiện từ 3 đến 4 điểm số phân loại so với RP3, thời gian ra hoa giống như dòng gốc RP3 của nó (không chậm ra hoa) và không làm giảm năng suất ủ chua đáng kể thêm nữa (xem Fig.2). Ngoài ra, với sự trợ giúp của các chỉ thị được mô tả, dòng không có liên kết bất lợi có thể được tạo ra từ dòng gốc RP1 bằng cách lai, các dòng đó có sự nhập gen phiên bản K.

D) Kiểu đơn truyền tính kháng từ B37HTN1 hoặc từ Pepitilla

Bản K có kiểu đơn từ B37HTN1 hoặc từ Pepitilla mà mang alen cho được mô tả trong bảng 4 ở các vị trí vật lý đối với B73 AGPv02 theo bp. Ví dụ, kiểu đơn ở chỉ thị MA0008 sẽ được mô tả: sử dụng chỉ thị MA0008 và định rõ các alen cho B37HTN1, RP3, RP3HTNA, RP3HTNK, sau đó alen “T” là cho B37HTN1, RP3HTNA, RP3HTNK và alen “C” cho RP3. Đối với locus này, chỉ thị này cũng phân biệt nguồn kháng HTN1 giả định PH99N (WO 2011/163590), mà cũng chứa alen “C” ở vị trí này, với nguồn kháng được sử dụng trong bản mô tả.

4. Phân tích phân tử của vùng được lập bản đồ đồng đều

Ngoài ra, đoạn nhiễm sắc thể đã được cài xen và cắt ngắn do nhập gen được khảo sát về mức độ phân tử. Locus kháng *Htn1* từ *Pepitilla* đăng ký vì thế giảm xuống đến vùng đích riêng biệt, khoảng nhiễm sắc thể 700 kb, và được giải trình tự trong kiểu gen RP4HTN1. Như được mô tả chi tiết hơn dưới đây, dòng vô tính BAC từ RP4HTN1 được phân lập, giải trình tự và lắp ráp thành khung trình tự. Khung trình tự này được diễn giải và các gen đã diễn giải trong khoảng này được thiết lập dựa trên thông tin trình tự EST/cADN. Sau đó các nghiên cứu về sự biểu hiện khác biệt được thực hiện từ vô số các gen đã diễn giải để nhận biết các gen ứng viên (xem bảng 1).

A) Kết cấu ngân hàng và tập hợp BAC, sàng lọc ngân hàng BAC, giải trình tự BAC

Ngân hàng BAC được tạo ra từ kiểu gen RP4HTN1. Tiếp theo đó là xây dựng kết cấu ngân hàng BAC này và tập hợp ma trận 3D từ vật liệu lá cũng như sàng lọc tập hợp ma trận 3D đó. Các đoạn mồi để sàng lọc tập hợp ma trận 3D là dựa trên trình tự B73 AGPv01 từ 149957158 bp đến 152977351 bp trên nhiễm sắc thể 8 (www.maizesequence.org) và chương trình đoạn mồi 3 (<http://simgene.com/primer3>; Rozen & Skaltsky, 2000). Các tham số để lựa chọn đoạn mồi là hàm lượng GC trung bình bằng 50%, chiều dài đoạn mồi nằm trong khoảng từ 20 đến 25 bp, nhiệt độ nóng chảy nằm trong khoảng từ 70 đến 90°C và chiều dài amplicon nằm trong khoảng từ 70 đến 80 bp. Bằng cách sử dụng các cặp đoạn mồi ở bảng 7, các tập hợp 3D được sàng lọc bằng cách sử dụng phương pháp RT-PCR. Các trị số của hai tham số, là nhiệt độ nóng chảy và giá trị CP, được đưa ra đối với dòng vô tính BAC. 26 dòng vô tính BAC có thể được nhận biết cho vùng được chọn. Tất cả các dòng vô tính BAC này được phân lập từ ngân hàng BAC và được sử dụng như môi trường nuôi cấy *E.coli* để phân lập ADN và giải trình tự. Quy trình giải trình tự được thực hiện với bộ kit titan tiêu chuẩn GS-FLX (454 Life Sciences, USA). Thông tin trình tự thu được đối với các dòng vô tính BAC 144N24, 119F13, 219G11, 86N21, 16B06, 84L18, 128D02, 25M23, 96H10, 19J24, 136A01, 75H06, 135F07 được tổng kết ở bảng 8.

Bảng 7: Các cặp đoạn mồi dùng để phát hiện các dòng vô tính BAC từ ngân hàng RP4HTN BAC

ID dòng vô tính BAC	Cặp đoạn mồi 1	Trình tự, cặp đoạn mồi 1 (5'-3')	Nhiệt độ nóng chảy, °C (50% amplicon là chuỗi đơn) trong kiểu gen RP4HTN1	Giá trị CP (chu kỳ khi pha mủ ¹ của PCR bắt đầu)	Kích thước amplic on (bp)
	Cặp đoạn mồi 2				
58A1 4	579ZMPM0_2F; 579ZMPM0_2R	125; 126	77,4	28,5	74
	579ZMPM0_4F; 579ZMPM0_4R	127; 128	80,96	26,52	77
144N 24	579ZMPM0_5F; 579ZMPM0_5R	129; 130	79,09	27,09	76
	579ZMPM0_17F; 579ZMPM0_17R	131; 132	83,06	25,53	78
219G 11	579ZMPM0_16F; 579ZMPM0_16R	133; 134	84,7	25,96	78
	579ZMPM0_25F; 579ZMPM0_25R	135; 136	78,95	26,09	80
119F 13	579ZMPM0_22F; 579ZMPM0_22R	137; 138	80,89	25,98	73
	579ZMPM0_34F; 579ZMPM0_34R	139; 140	80,1	24,43	76
86N2 1	579ZMPM0_35F; 579ZMPM0_35R	141; 142	80,9	25,27	70
	579ZMPM0_38F; 579ZMPM0_38R	143; 144	83,86	26,01	71
16B6	579ZMPM0_37F; 579ZMPM0_37R	145; 146	79,22	25,71	80
	579ZMPM0_41F; 579ZMPM0_41R	147; 148	75,93	26,6	74
84L1 8	579ZMPM0_41F; 579ZMPM0_41R	149; 150	75,93	26,6	74
	579ZMPM0_46F; 579ZMPM0_46R	151; 152	80,54	25,68	78
128D 2	579ZMPM0_180F; 579ZMPM0_180R2	153, 154	84,41	25,99	77
	579ZMPM0_48F; 579ZMPM0_48R	155; 156	83,96	25,33	77
25M2 3	579ZMPM0_48F; 579ZMPM0_48R	157; 158	83,96	25,33	77
	579ZMPM0_56F; 579ZMPM0_56R	159; 160	77	29,12	79

19J24	579ZMPM0_51F; 579ZMPM0_51R	161; 162	87,76	27,75	77
	579ZMPM0_199F; 579ZMPM0_199R	163; 164	82,49	26,56	79
96H1 0	579ZMPM0_63F; 579ZMPM0_63R	165; 166	85,78	26,08	63
	579ZMPM0_208F; 579ZMPM0_208R	167; 168	79,87	26,84	79
136A 1	579ZMPM0_206F; 579ZMPM0_206R	169; 170	89,81	32,09	70
	579ZMPM0_86F; 579ZMPM0_86R	171; 172	81,81	30,07	71
135F 7	579ZMPM0_79F; 579ZMPM0_79R	173; 174	75,82	25,43	72
	579ZMPM0_278F; 579ZMPM0_278R	175; 176	78,13	22,69	78
75H6	579ZMPM0_209F; 579ZMPM0_209R	177; 178	75,41	24,93	77
	579ZMPM0_86F; 579ZMPM0_86R	179; 180	81,81	30,07	71
117O 2	579ZMPM0_87F; 579ZMPM0_87R	181; 182	81,89	27,7	76
	579ZMPM0_91F; 579ZMPM0_91R	183; 184	80,13	26,93	75
173H 23	579ZMPM0_216F; 579ZMPM0_216R	185; 186	82,3	25,76	80
	579ZMPM0_95F; 579ZMPM0_95R	187; 188	79,5	24,97	73
118N 19	579ZMPM0_99F; 579ZMPM0_99R	189; 190	76,84	24,69	80
	579ZMPM0_244F; 579ZMPM0_244R	191; 192	80,07	25,38	80
42L2 3	579ZMPM0_241F; 579ZMPM0_241R	193; 194	81,16	25,79	79
	579ZMPM0_109F; 579ZMPM0_109R	195; 196	77,89	25,28	74
112N 13	579ZMPM0_109F; 579ZMPM0_109R	197; 198	77,89	25,28	74
	579ZMPM0_247F; 579ZMPM0_247R	199; 200	80,76	24,82	71
97K2 3	579ZMPM0_112F; 579ZMPM0_112R	201; 202	79,22	25,2	77
	579ZMPM0_125F; 579ZMPM0_125R	203; 204	83,44	28,17	74

18J17	579ZMPM0_253F; 579ZMPM0_253R	205; 206	77,5	32,34	71
	579ZMPM0_125F; 579ZMPM0_125R	207; 208	83,44	28,17	74
5M22	579ZMPM0_128F; 579ZMPM0_128R	209; 210	77,99	24,05	77
	579ZMPM0_136F; 579ZMPM0_136R	211; 212	78,65	26,46	78
146I6	579ZMPM0_131F; 579ZMPM0_131R	213; 214	76,58	26,54	78
	579ZMPM0_137F; 579ZMPM0_137R	215; 216	83,7	25,42	73
147O 15	579ZMPM0_138F; 579ZMPM0_138R	217; 218	79,38	24,8	79
	579ZMPM0_147F; 579ZMPM0_147R	219; 220	79,63	26,77	80
88K1 7	579ZMPM0_145F; 579ZMPM0_145R	221; 222	81,51	27,61	76
	579ZMPM0_262F; 579ZMPM0_262R	223; 224	75,7	25,82	80
180G 22	579ZMPM0_161F; 579ZMPM0_161R	225; 226	80,21	25,16	73
	579ZMPM0_265F; 579ZMPM0_265R	227; 228	79,3	24,7	79

Bảng 8: Hàm lượng trình tự của 13 dòng vô tính BAC được phân tích

BAC	# Kết quả đo	# Kết quả đo khi không có <i>E.coli</i>	Hàm lượng trình tự theo bp	Hàm lượng trình tự theo bp khi không có <i>E.coli</i>
144N24	10967	10849	3646226	3591222
119F13	17987	17847	6033910	5957456
219G11	32904	32484	10553629	10381924
86N21	39606	39106	12991596	12750077
16B06	36198	35849	12523123	12357036
84L18	50537	34162	15991645	10776458
128D02	15998	15847	5138442	5064677
25M23	22551	22416	7864493	7786402
96H10	7723	7614	2569604	2525488
19J24	21953	21775	7327364	7234315
136A01	31998	31724	10298869	10158900
75H06	24345	24121	8021727	7920125
135F07	29702	29484	9721708	9604010

B) Lắp ráp trình tự BAC, diễn giải và chọn lọc gen ứng viên:

Sản xuất khung trình tự: các dòng vô tính BAC 144N24, 119F13, 219G11, 86N21, 16B06, 84L18, 128D02, 25M23, 19J24, 96H10, 136A01, 75H06, 137F07 được giải trình tự bằng cách sử dụng kỹ thuật 454 (Margulies et al., 2005).

Quy trình lắp ráp tự động các trình tự nguyên của dòng vô tính BAC được thực hiện với phần mềm “Newbler” (phần mềm 454 runAssembly, phần mềm giải phóng 2.3). Các contig trình tự BAC pro sản xuất theo cách này được sắp xếp một cách chính xác bằng cách phân tích thủ công, trong đó các kỹ thuật sau được sử dụng:

1. Trình tự của các BAC chồng lặp có thể tạm chia thành vùng chồng lặp và vùng không chồng lặp.

2. Các contig trình tự từ các BAC chồng lặp khác nhau được so sánh trong các vùng chồng lặp. Khoảng 20% các contig trình tự có thể được sắp xếp theo cách này và khoảng trống giữa chúng có thể được thu hẹp (ví dụ, khi contig của một BAC bao phủ hoặc được liên kết với hai contig của các BAC khác).

3. Tất cả các contig trình tự được diễn giải thủ công. Về vấn đề này, ban đầu chỉ có các yếu tố lặp (transposon và retrotransposon, được viết tắt là “TE”) là được diễn giải. Do các khoảng trống trình tự xuất hiện chủ yếu ở các TE, nên việc diễn giải TE có thể giúp sắp xếp đúng các contig trình tự. Điều này có nghĩa là khi một đầu của TE là ở trên một contig trình tự và đầu còn lại ở trên contig kia, thì hai contig này có thể được sắp xếp thứ tự một cách thích hợp. Trong các trường hợp này, trình tự của 100 Ns lần lượt được cài xen vào để lấp đầy khoảng trống giữa các contig trình tự. Ngoài ra, thông tin từ các TE được lồng vào nhau (tức là các TE đã được cài xen vào các TE khác) được sử dụng để sắp xếp các contig trình tự.

4. Ở một số vùng, cả thông tin từ các BAC chồng lặp lẫn diễn giải TE đều không thể được sử dụng (đây là trường hợp, ví dụ, ở các vùng mà chỉ được bao phủ bởi một BAC). Trong bản mô tả này, các contig trình tự được sắp xếp tùy ý và các khoảng trống giữa chúng được lấp đầy bằng các trình tự 200 Ns.

5. Nhiều trong số các TE trong hệ gen ngô là các retrotransposon “lặp đoạn cuối dài” (long terminal repeat - LTR) có bên sườn là các trình tự LTR dài (1-2 kb).

Các LTR này có thể đồng nhất lên đến 100%. Trong một số trường hợp, thì, các trình tự nguyên của hai LTR này được lắp ráp thành trình tự liên ứng (tức là bản sao của LTR không có mặt trong cụm lắp ráp đó). Trong các trường hợp này, các khoảng trống trình tự được lắp đầy bằng một số lượng Ns mà tương ứng với chiều dài của LTR thứ hai.

6. Các gen được diễn giải thủ công. Nhằm mục đích này, các trình tự mã hóa (CDS) cho hệ gen ngô B73 đã công bố được sử dụng để tham khảo (http://www.maizegdb.org/gene_model.php). CDS được cẩn thảng với trình tự RP4HTN bằng cách sử dụng DotPlot (<http://www.dotplot.org/>) và do đó các vị trí của exon và intron được xác định. Một mặt các gen ứng viên được xác định bằng cách mô tả chức năng của chúng (nếu đã được biết đến công khai). Mặt khác, CDS của RP4HTN kháng được so sánh với B73 AGPv02 để bị gây hại. Nếu xuất hiện sự khác biệt, thì gen tương ứng được cho trong danh sách các ứng viên. Trình tự đã chuẩn bị có chiều dài 1'328'253 bp. Danh sách các gen ứng viên được đưa ra trong bảng 1.

5. Phân tích phân tử các gen ứng viên:

Phân tích biểu hiện: sự biểu hiện của nhiều gen ứng viên khác nhau được thử nghiệm trên các cây 21 ngày tuổi (sau gieo hạt), không bị lây nhiễm (ngày lây nhiễm = 0 dpi) và trên cả các cây 36 ngày tuổi đã bị nhiễm và cũng không bị nhiễm *H. turcicum* (15 ngày sau khi lây nhiễm = 15 dpi inf/ni).

ARN từ lá thứ hai được chiết xuất từ các cây ngô thử nghiệm, được phiên mã ngược thành cADN và sự biểu hiện được xác định bằng cách sử dụng phương pháp qPCR. Trong mỗi trường hợp thì lá thứ hai được thu hoạch, làm đông lạnh và ARN được chiết, định lượng và thử nghiệm về chất lượng và độ tinh khiết bằng cách sử dụng bộ kit SV Total RNA Isolation System Kit (Z3100; Promega, Dübendorf, Thụy Sỹ), chính xác như được mô tả (Brunner et al., 2011; Risk et al., 2012).

1 μ g ARN được phiên mã ngược bằng cách sử dụng iScript RT Supermix (170-8841; Bio-Rad, Cressier, Thụy Sỹ) trong thể tích phản ứng là 20 μ l, theo chỉ dẫn của nhà sản xuất. Để loại trừ khả năng nhiễm tạp bởi ADN hệ gen (RT âm), thì đồng thời, hỗn hợp phản ứng không bổ sung transcriptaza ngược được ủ với mỗi mẫu.

Phương pháp PCR định lượng thời gian thực (quantitative real time PCR - RT-qPCR) được thực hiện lặp kỹ thuật ba lần hoặc nhiều lần ở thể tích phản ứng 10 μ l và có bổ sung 4 μ l cADN pha loãng tỷ lệ 1:10 (Tris HCL10mM độ pH=8, EDTA 0,1mM), 5 μ l SsoFast EvaGreen® Supermix (172-5201; Bio-Rad, Thụy Sỹ) và nồng độ đoạn mồi 400nM trên C1000 Touch Cycler (Bio-Rad, Thụy Sỹ). Để khuếch đại, chương trình sau được sử dụng: 95°C trong 30 giây, tiếp theo là 40 chu kỳ ở 95°C trong 3 giây, sau đó 60-63°C (xem bảng 2) trong 5 giây. Để phân tích đường cong nóng chảy (loại trừ dime đoạn mồi), sản phẩm PCR được gia nhiệt trong các bước 0,5°C từ 65°C đến 95°C. Các đường cong khuếch đại và các đường cong nóng chảy được kiểm tra trong chương trình CFX Manager V 3.0 (Bio-Rad, Thụy Sỹ) và các trị số Cq (chu kỳ lượng hóa) được xuất vào chương trình qbasePLUS V 2.3 (Biogazelle, Zwijnaarde, Belgium) để xác định mức biểu hiện tương đối.

Các đoạn mồi dùng cho các gen ứng viên được xác định với sự trợ giúp của đoạn mồi BLAST (<http://www.ncbi.nlm.nih.gov/tools/primer-blast/>), để loại trừ sự khuếch đại không đặc hiệu trên các bản phiên đã biết càng lâu càng tốt. Để đánh giá các amplicon thích hợp, các sản phẩm PCR được tách bằng cách sử dụng phương pháp điện di gel agarosa và các kích thước của chúng được kiểm tra bằng cách sử dụng các dải giao thoa được phân lập. Hơn nữa, các amplicon từ RP1HtN và cả NILHtN như quy định trong bảng 1 được giải trình tự. Để chuẩn hóa dữ liệu biểu hiện, các gen tham chiếu từ 1 đến 3 (LUG, MEP, FPGS) được sử dụng (Manoli et al., 2012).

Tất cả các gen ứng viên đều được biểu hiện trong kiểu gen dễ bị gây hại RP1 và trong kiểu gen kháng RP1HTN. Sự biểu hiện khác biệt giữa RP1 và RP1HTN có thể được chứng minh cho RLK1. RLK1 ở các cây dễ bị gây hại được biểu hiện mạnh hơn lên đến 4 lần so với ở cây kháng.

Bảng 9: Các cặp đoạn mồi cho các gen ứng viên, với chiều dài amplicon của chúng theo bp và nhiệt độ ủ thích hợp.

Tên gen	Tên đoạn mồi	SEQ ID NO:	Các trình tự đoạn mồi (F = Trình tự thuận; R = Trình tự nghịch)	Chiều dài (theo bp) trong RP1	Chiều dài (theo bp) trong RP1HTN	Nhiệt độ ủ
ZNF1	GH034	229	F: TGGTTGGTGTGAAAGCTGAG	130	130	60°C
	GH033	230	R: ATTTATCCGGCCTTGACAT			
HYD	GH039	231	F: GATCTACAGGGAAAGCCCCACTGA	74	74	60°C
	GH040	232	R: TTTTCCTTGAGGCAGTTATATGCT			
RLK4	GH220	233	F: TTGTGCAGCGGAGGGAA	91	85	63°C
	GH221	234	R: CCAGGGCACCAAGCAAGAAT			
EXT1	GH168	235	F: CGACTACAAGACCGTACC	103	103	60°C
	GH170	236	R: GGTGTCGATGGTGAGGTTC			
RLK1	GH138	237	F: TATTGTTGGTGCTGTTGCCG	121	121	60°C
	GH139	238	R: GGACTCAATCCTGTCCCTG			
RET1	GH055	239	F: CGCTCGTTGCCAGATAGCC	165	165	60°C
	GH056	240	R: CACGGTGTGCCAGTTGT			

Sàng lọc quần thể TILLING và phát hiện thế đột biến: đối với các gen ứng viên (Bảng 1), tiến hành sàng lọc quần thể TILLING gồm 10000 cây mang thế nhập gen từ *Pepitilla* trên nhiễm sắc thể 8 ở vùng từ 151688552 đến 153139596 bp so với B73 tham chiếu AGPv02 (www.maizesequence.org) (RP3HTN1) và có tính kháng *Helminthosporium turcicum*. Các đột biến có thể là cải biến trao đổi nucleotit câm, cải biến trao đổi axit amin hoặc cải biến chặn codon và được hoạt động để phát hiện ra chức năng của các gen ứng viên.

Biến nạp: Các gen ứng viên có thể, ví dụ, được nhập nội vào kiểu gen dễ bị gây hại A188 thông qua biến nạp truyền *Agrobacterium tumefaciens*. Kiểu gen này

được đặc trưng bởi các trị số AUDPC 702 trong kiểm định GWH (n=18 cây), sao cho sự biến nạp gen kháng tạo ra đáp ứng kháng rõ ràng.

6. Xác định tính đặc hiệu nòi: chứng minh rằng HTN1 cũng truyền tính kháng không đặc hiệu nòi

Quy trình sàng lọc các kiểu gen với gen HtN được thực hiện ở nhiều vị trí trong tất cả các vùng xâm nhiễm ở châu Âu. Cho tới nay, tính kháng này không bị phá vỡ, do đó các tác giả sáng chế bắt đầu với giả định rằng cho tới nay chúng không đặc hiệu nòi cho tới khi nòi N được phát hiện ra. Nòi 1 chiếm ưu thế ở châu Âu, nhưng ở một số vùng riêng biệt, thì các nòi 2 hoặc 3 hoặc tổ hợp của chúng có thể được tìm thấy (Hanekamp et al., 2013).

7. Thử nghiệm kiểu hình trên các cây tái tổ hợp khác

Các cây tái tổ hợp mới được thử nghiệm đối với vùng QTL và tương quan với số liệu kiểu hình. Việc chọn lọc bao gồm các cây gồm các vùng khác nhau của vùng đích. Các cây tái tổ hợp có thể được nhận biết trong đó các cây này có thể nhập gen của thê cho B37HTN1 giữa các chỉ thị MA0005 và MA0021 – vùng chỉ thị M7 và các chỉ thị MA0013 và MA0022 – vùng chỉ thị M8, trong nền di truyền của RP1. Fig.4 thể hiện rằng vùng này chỉ chứa ba gen RLK4, EXT1 và RLK1. Các cây tái tổ hợp này, mà bao gồm vùng M7 – M8, có kiểu hình kháng ở cả thử nghiệm trên cánh đồng có cây ghép nhân tạo và ở cả thử nghiệm trong nhà kính.

8. Nhận biết gen ứng viên truyền tính kháng

Để nhận biết gen truyền tính kháng, tiến hành sàng lọc quần thể TILLING gồm 10000 cây đã có thể nhập gen từ Pepitilla trên nhiễm sắc thể 8 ở vùng từ 151688552 đến 153139596 bp so với B73 tham chiếu AGPv02 (<http://www.genome.arizona.edu>) (RP3HTN1) và tính kháng đối với *Helminthosporium turcicum*.

Các amplicon được phát triển cho các gen RLK4 và RLK1 (bảng 10) và sau khi khuếch đại ADN của từng cây riêng lẻ của quần thể TILLING, chúng được giải trình tự bằng phương pháp giải trình tự Sanger.

Bảng 10: Các trình tự đoạn mồi cho các amplicon

Tên gen	Tên đoạn mồi	SEQ ID NO:	Các trình tự đoạn mồi (F = Trình tự thuận; R = Trình tự nghịch)	Chiều dài của amplicon (theo bp)	Nhiệt độ ủ (°C)
RLK4	MA04916-6f MA04916-6r	247	F: TGTTTCAGGAATCACGCAAC TGGA R: GCACCACGCCATGACCAAC ATC	399	60
		248			
RLK1	TG10013-10.f	249	F: CTTCCTACAGAAGAACGAG AGT R: TTCCTCACGAGCTCTGTGGT C	804	60
	TG10013-11.r	250			

Các trình tự amplicon được đánh giá bằng cách sử dụng phần mềm DNASTAR Lasergene và các đột biến bazơ được nhận biết. Bảng 11 liệt kê các đột biến chọn lọc được tìm ra.

Bảng 11: Các đột biến được nhận biết cho các gen RLK4 và RLK1

Tên gen	Tên đột biến	Vị trí của đột biến trong cADN của RP3HTN1 (bp)	Cải biến trao đổi bazơ	Vị trí của đột biến trong trình tự protein của RP3HTN1 (bp)	Tác động trao đổi axit amin
RLK4	RLK4d	977 trong SEQ ID NO: 3	G > A	326 trong SEQ ID NO: 4	G > D
	RLK4f	1169 trong SEQ ID NO: 3	C > T	390 trong SEQ ID NO: 4	T > I
RLK1	RLK1b	1365 trong SEQ ID NO: 1	G > A	455 trong SEQ ID NO: 2	M > I
	RLK1d	1490 trong SEQ ID NO: 1	G > A	497 trong SEQ ID NO: 2	G > E

Các thế đột biến đã nhận biết được tự thụ tinh trong nhà kính và hạt giống cây được thu hoạch từ các cây đồng hợp tử với alen kiêu dại và alen đột biến trong mỗi sự kiện đột biến cho thử nghiệm kiêu hình.

15 cây riêng lẻ đồng hợp tử có alen kiều dài và alen đột biến cho các thê đột biến RLK1b, RLK1d, RLK4d và RLK4f và các đối chứng RP1 và RP1HTN1 được cây ghép *H. turcicum* như được mô tả ở trên, trong nhà kính. Trong giai đoạn từ 11 đến 25 ngày sau cây ghép, sự xâm nhiễm được xác định hàng ngày. Các trị số AUDPC của tất cả các cây thử nghiệm được tổng kết trong bảng 12. Sự thay đổi axit amin ở bô mẹ kháng của quần thể RP3HTN1 TILLING được mong đợi là làm cho các thê đột biến đồng hợp tử dễ bị gây hại.

Bảng 12: các trị số AUDPC đối với các cây đồng hợp tử có alen kiều dài và alen đột biến của các gen RLK1 và RLK4. Trong cột kiều hình, 0 – 100 nghĩa là kháng, 101 – 450 nghĩa là dị hợp tử, và > 450 nghĩa là dễ bị gây hại.

Tên thê đột biến	Alen	AUDPC	Kiều hình
RLK4d	Hom. thê đột biến	33,3	kháng
	Hom. kiều dài	0,0	kháng
RLK4f	Hom. thê đột biến	46,7	kháng
	Hom. kiều dài	96,7	kháng
RLK1b	Hom. thê đột biến	346,7	dị hợp tử
	Hom. kiều dài	46,4	kháng
RLK1d	Hom. thê đột biến	406,7	dị hợp tử
	Hom. kiều dài	83,3	kháng
RP1		1030,0	dễ bị gây hại
RP1HTN1		0,0	kháng

Tài liệu tham khảo

Bar-Zur, A, Tadmor, Y, Juvik, JA, Shimoni, M, & Reuveni, R (1998). "Resistance to northern leaf blight in maize (*Zea mays*) conditioned by the *HtN* gene and the association with isoperoxidases." *Canadian Journal of Plant Pathology* 20(1): 28-34.

Brunner, S., Hurni, S., Herren, G., Kalinina, O., from Burg, S., Zeller, S.L., Schmid, B., Winzeler, M. and Keller, B. (2011) Transgenic *Pm3b* wheat lines show resistance to powdery mildew in the field. *Plant Biotechnology Journal*, no-no.

Chevalier, BS, Kortemme, T, Chadsey, MS, Baker, D, Monnat, RJ, Stoddard, BL (2002). "Design, activity, and structure of a highly specific artificial endonuclease". *Mol. Cell* 10 (4): 895–905. doi:10.1016/S1097-2765(02)00690-1.

Carson, ML (1995) "A new gene in maize conferring the chlorotic halo reaction to infection by *Exserohilum turcicum*. *Plant Disease* 79: 717-720.

Chung, C-L, Poland, J, Wisser, R, Kolkman, J, and Nelson, R (2008). "Analysis of qEt8.06, a Major QTL for Resistance to Northern Leaf Blight in Maize" Poster, Annual Research Meeting of Generation Challenge Programme, Bangkok, Thailand.

http://www.plantpath.cornell.edu/labs/nelson_r/Docs/01_CLC_08GCP_12Sep08_2.pdf

Chung, C-L, Jamann, T, Longfellow, J and Nelson, R (2010). "Characterization and fine-mapping of a resistance locus for northern leaf blight in maize bin 8.06" *Theoretical and Applied Genetics* 121(2): 205-227.

Coates, ST and White DG (1998). "Inheritance of resistance to gray leaf spot in crosses involving selected resistant inbred lines of corn." *Phytopathology* 88(9): 972-982.

Depicker A, Stachel S, Dhaese P, Zambryski P, Goodman HM (1982) Nopaline synthase: transcript mapping and DNA sequence. *J Mol Appl Genet.* 1(6): 561-73.

Ferguson, LM and Carson ML (2007). "Temporal Variation in *Setosphaeria turcica* Between 1974 and 1994 and Origin of Races 1, 23, and 23N in the United States." *Phytopathology* 97: 1501-1511.

Gevers, HO (1975). "A new major gene for resistance to *Helminthosporium turcicum* leaf blight of maize." *Plant Dis Rep* 59: 296-300.

Gaj, T, Gersbach, CA and Barbas III, CF (2013). ZFN, TALEN, and CRISPR/Cas-based methods for genome engineering. *Trends in biotechnology*.

Ganal MW, Durstewitz G, Polley A, Bérard A, Buckler ES, Charsosset A, Clarke JD, Graner E-M, et al. (2011) "A large maize (*Zea mays* L.) SNP genotyping array: Development and germplasm genotyping, and genetic mapping to compare with the B73 reference genome." *PLoS ONE* 6 e28334.

Gianasi, L, de Castro, HA and da Silva, HP (1996). "Raças fisiológicas de *Exserohilum turcicum* identificadas em regiões produtoras de milho no Brasil, Safra 93/94." [Physiological races of *Exserohilum turcicum* identified in maize-producing regions of Brazil, Safra 93/94] *Summa Phytopathol.* 22: 214-217.

Griffiths, AJF, Miller, JH, Suzuki, DT, Lewontin, RC and Gelbart, WM (2000) An Introduction to Genetic Analysis, 7th edition, New York: W. H. Freeman; ISBN-10: 0-7167-3520-2

Gupta, PK and Varshney, R (2013) Cereal Genomics II. Springer Science+Business Media Dordrecht, Netherlands; DOI: 10.1007/978-94-007-6401-9_1.

Hanekamp H., Kessel B., Koopmann B., von Thiedemann A.: Turcicum Blattdürre an Mais: Rassenbestimmung und regionales Auftreten von *Exserohilum turcicum* in Europa [Turcicum leaf blight in maize: race determination and regional occurrence of *Exserohilum turcicum* in Europe]; 28.01.2013, PG Krankheiten an Getreide, Vortrag; Blattdürre.

Jordan, EG, Perkins, JM, Schall, RA and Pedersen, WL (1983). "Occurrence of race 2 of *Exserohilum turcicum* on corn in the central and eastern United States." *Plant Disease* 67: 1163-1165.

Li, T., Huang, S., Jiang, W. Z., Wright, D., Spalding, M. H., Weeks, D. P., & Yang, B. (2011). TAL nucleases (TALNs): hybrid proteins composed of TAL effectors and FokI DNA-cleavage domain. *Nucleic acids research*, 39(1), 359-372.

Lipps, PE, and Hite, RE (1982). "Exserohilum turcicum virulent on corn with the HT resistance gene in Ohio." *Plant Disease* 66: 397-398.

Lipps, PE, Pratt, RA and Hakiza, JJ (1997). "Interaction of HT and partial resistance to *Exserohilum turcicum* in maize." *Plant Disease* 81: 277-282.

Maniatis, T, Fritsch, EF, Sambrook, J (1982) Molecular cloning. Cold Spring Harbor Laboratory, Cold Spring Harbor, New York

Manoli A., Sturaro A., Trevisan S., Quaggiotti S., Nonis A. (2012) Evaluation of candidate reference genes for qPCR in maize, *Journal of Plant Physiology*, Volume 169, Issue 8, 15 May 2012, Pages 807-815.

Margulies, M, Egholm, M, Altman, WE, Attiya, S, Bader, JS, Bemben, LA et al. and Volkmer, GA (2005) "Genome sequencing in microfabricated high-density picolitre reactors." *Nature*, 437(7057), 376-380.

Moghaddam, FP and Pataky, JK (1994). "Reactions for isolates from mating of races 1 and 23N of *Exserohilum turcicum*." *Plant Disease* 78: 767-771.

Min, J, Chunyu, Z, Khalid, H, Nan, L., Quan, S, Qing, M, Suwen, W and Feng, L (2012). "Pyramiding resistance genes to Northern Leaf Blight and Head Smut in maize." *Int. J. Agric. Biol.* 14(3): 430-434.

Odell JT, Nagy F, Chua N-H (1985) Identification of DNA sequences required for activity of the cauliflower mosaic virus 35S promoter. *Nature* 313, 810 – 812

Pataky, JK, Raid, RN, du Toit, LJ and Schueneman, TJ (1998). "Disease severity and yield of sweet corn hybrids with resistance to Northern Leaf Blight." *Plant Disease* 82(1): 57-63.

Perkins, JM and Pedersen, WL (1987). "Disease development and yield losses associated with northern leaf blight on corn." *Plant Disease* 71: 940-943.

Pratt, R and Gordon, S (2006). "Breeding for resistance to maize foliar pathogens." *Plant Breed Rev.* 27: 119-173.

Puchta, H and Hohn, B (2010). Breaking news: Plants mutate right on target. *Proceedings of the National Academy of Sciences*, 107(26), 11657-11658.

Raymundo, AD and Hooker, AL (1981a). "Measuring the relationship between northern corn leaf blight and yield losses." *Plant Disease* 65: 325-327.

Raymundo, AD, Hooker, AL and Perkins, JM (1981b). "Effect of Gene HtN on the Development of Northern Corn Leaf Blight Epidemics." *Plant Disease* 65(4): 327-329.

Risk, J.M., Selter, L.L., Krattinger, S.G., Viccars, L.A., Richardson, T.M., Buesing, G., Herren, G., Lagudah, E.S. and Keller, B. (2012) Functional variability of the *Lr34* durable resistance gene in transgenic wheat. *Plant Biotechnology Journal*, 10, 477-487.

Rozen, S and Skaletsky, HJ (2000) primer3 on the WWW for general users and for biologist programmers. In: Krawetz S, Misener S (eds) *Bioinformatics Methods and Protocols: Methods in Molecular Biology*. Humana Press, Totowa, NJ, pp 365-386

Rushton, PJ, Torres, JT, Parniske, M, Wernert, P, Hahlbrock, K and Somssich, IE (1996) Interaction of elicitor-induced DNA-binding proteins with elicitor response elements in the promoters of parsley PR1 genes. *EMBO J.* 15(20): 5690–5700.

Sambrook J, Russell DW (2001) Molecular Cloning. A laboratory manual, Cold Spring Harbor Laboratory Press, 3. Aufl. 2001. Sanger, F and Coulson, AR. (1975) *J. molec. Biol.* 94, 414–418.

Silva, G, Poirot, L, Galetto, R, Smith, J, Montoya, G, Duchateau, P, & Pâques, F (2011) Meganucleases and other tools for targeted genome engineering: perspectives and challenges for gene therapy. *Current gene therapy*, 11(1), 11.

Simcox, KD, and Bennetzen, JL (1993). "The use of molecular markers to study *Setosphaeria turcica* resistance in maize." *Phytopathology* 83: 1326-1330.

Shimoni, M, Bar-Zur, A, & Reuveni, R (1991). The association of peroxidase activity and resistance of maize to *Exserohilum turcicum*. *Journal of phytopathology*, 131(4), 315-321.

Stanković, S, Lević, J, & Ivanović, D (2007). Genetic variability of maize pathogens in Serbia. *Genetika*, 39(2), 227-240.

Thakur, RP, Leonard, KJ and Leath, S (1989). "Effects of temperature and light on virulence of *Exserohilum turcicum* on corn." *Phytopathology* 1989, 79: 631–635.

Tzfira, T, Weinthal, D, Marton, I, Zeevi, V, Zuker, A, & Vainstein, A (2012). Genome modifications in plant cells by custom-made restriction enzymes. *Plant biotechnology journal*, 10(4), 373-389.

Ullstrup, AJ and Miles, SR (1957). "The effects of some leaf blights on corn grain yield." *Phytopathology* 47:331-336.

Walsh et al. (2008), Poster presentation P192, 50th Maize Genetics Conference in Washington D.C.

Welz, HG (1998). "Genetics and epidemiology of the pathosystem *Zea mays* / *Setosphaeria turcica*." *Habilitationsschrift Institut für Pflanzenzüchtung, Saatgutforschung und Populationsgenetik, Universität Hohenheim*.

Welz, HG and Geiger, HH (2000). "Genes for resistance to northern corn leaf blight in diverse maize populations." *Plant Breeding* 119: 1-14.

WO/2000/29592 (Max-Planck-Gesellschaft zur Förderung der Wissenschaften e.V.). Chimeric promoters capable of conferring gene expression in plants upon pathogen infection and uses thereof.

WO/2007/147395 (KWS SAAT AG). Pathogen induzierbarer synthetischer Promotor [Pathogen-inducible synthetid promoter].

WO/2010/079430 (Bonas et al.) Modular DNA-binding domains and methods of use

WO/2011/072246 (Regents of the University of Minnesota) TAL effector-conferred DNA modification.

WO/2011/163590 (Du Pont) Compositions and methods for enhancing resistance to Northern Leaf Blight in maize.

Yêu cầu bảo hộ

1. Phương pháp nhận biết cây ngô kháng *Helminthosporium turcicum*, hệ gen của cây ngô được tích hợp đoạn nhiễm sắc thể từ thê cho Pepitilla, phương pháp này bao gồm việc phát hiện ít nhất hai alen trong hệ gen của cây,

(i) trong đó ít nhất một alen nằm trong đoạn hệ gen được chặn bằng chỉ thị trong vùng chỉ thị thứ nhất, vùng chỉ thị thứ hai, vùng chỉ thị thứ ba hoặc vùng chỉ thị thứ tư và bằng polynucleotit tạo ra đặc tính kháng *Helminthosporium turcicum* cho cây ngô,

(ii) trong đó ít nhất một alen nằm trong đoạn hệ gen được chặn bằng polynucleotit mà tạo ra tính kháng với *Helminthosporium turcicum* và bằng chỉ thị trong vùng chỉ thị thứ sáu hoặc vùng chỉ thị thứ năm; và trong đó vùng chỉ thị thứ nhất được chặn bằng các chỉ thị SYN14136 và PZE-108076510, vùng chỉ thị thứ hai được chặn bằng các chỉ thị SYN24931 và PZE-108077560, vùng chỉ thị thứ ba được chặn bằng các chỉ thị PZE-108093423 và PZE-108093748, vùng chỉ thị thứ tư được chặn bằng các chỉ thị MA0004 và MA0005, vùng chỉ thị thứ năm được chặn bằng các chỉ thị MA0006 và PZE-108097482, và vùng chỉ thị thứ sáu được chặn bằng các chỉ thị PZE-108107671 và SYN4196.

2. Phương pháp theo điểm 1, trong đó việc phát hiện cây ngô có đặc tính kháng *Helminthosporium turcicum* bao gồm việc sử dụng oligonucleotit chứa trình tự nucleotit được chọn từ nhóm gồm các SEQ ID NO: 17-52, 62-64, và 244-246.

3. Phương pháp theo điểm 1, trong đó việc phát hiện cây ngô có đặc tính kháng *Helminthosporium turcicum* bao gồm việc sử dụng oligonucleotit chứa trình tự nucleotit được chọn từ nhóm gồm các SEQ ID NO: 17-52,

trong đó oligonucleotit tương ứng với ít nhất một trong số vùng chỉ thị thứ nhất được chặn bằng các chỉ thị SYN14136 và PZE-108076510, vùng chỉ thị thứ hai được chặn bằng các chỉ thị SYN24931 và PZE-108077560, vùng chỉ thị thứ ba được chặn bằng các chỉ thị PZE-108093423 và PZE-108093748, vùng chỉ thị thứ tư được chặn bằng các chỉ thị MA0004 và MA0005, vùng chỉ thị thứ năm được chặn bằng các chỉ thị MA0006 và PZE-108097482, và vùng chỉ thị thứ sáu được chặn bằng các chỉ thị PZE-108107671 và SYN4196.

4. Phương pháp theo điểm 1, trong đó đoạn nhiễm sắc thể chứa khoảng cho còn chứa khoảng cho có ít nhất là alen cho của chỉ thị MA0008.

5. Phương pháp theo điểm 1, trong đó đoạn nhiễm sắc thể không chứa:

a) khoảng cho ở giữa chỉ thị trong vùng chỉ thị thứ nhất được chặn bằng các chỉ thị SYN14136 và PZE-108076510 và chỉ thị trong vùng chỉ thị thứ hai được chặn bằng các chỉ thị SYN24931 và PZE-108077560,

b) khoảng cho ở giữa chỉ thị trong vùng chỉ thị thứ ba được chặn bằng các chỉ thị PZE-108093423 và PZE-108093748 và chỉ thị trong vùng chỉ thị thứ tư được chặn bằng các chỉ thị MA0004 và MA0005, và

c) khoảng cho ở giữa chỉ thị trong vùng chỉ thị thứ năm được chặn bằng các chỉ thị MA0006 và PZE-108097482 và chỉ thị trong vùng chỉ thị thứ sáu được chặn bằng các chỉ thị PZE-108107671 và SYN4196.

6. Phương pháp theo điểm 1, trong đó đoạn nhiễm sắc thể không chứa:

a) khoảng cho được xác định bằng chỉ thị SYN14136 và chỉ thị SYN24931;

b) khoảng cho được xác định bằng chỉ thị PZE-108093748 và chỉ thị MA0005; và

c) khoảng cho được xác định bằng chỉ thị MA0006 và PZE-108107671.

7. Phương pháp theo điểm 1, trong đó đoạn nhiễm sắc thể không chứa khoảng cho được xác định bằng và bao gồm chỉ thị SYN14136 và chỉ thị SYN24931.

8. Phương pháp theo điểm 1, trong đó đoạn nhiễm sắc thể không chứa khoảng cho được xác định bằng và bao gồm chỉ thị PZE-108093748 và chỉ thị MA0005.

9. Phương pháp theo điểm 1, trong đó đoạn nhiễm sắc thể không chứa khoảng cho được xác định bằng và bao gồm chỉ thị MA0006 và chỉ thị PZE-108107671.

FIG. 1

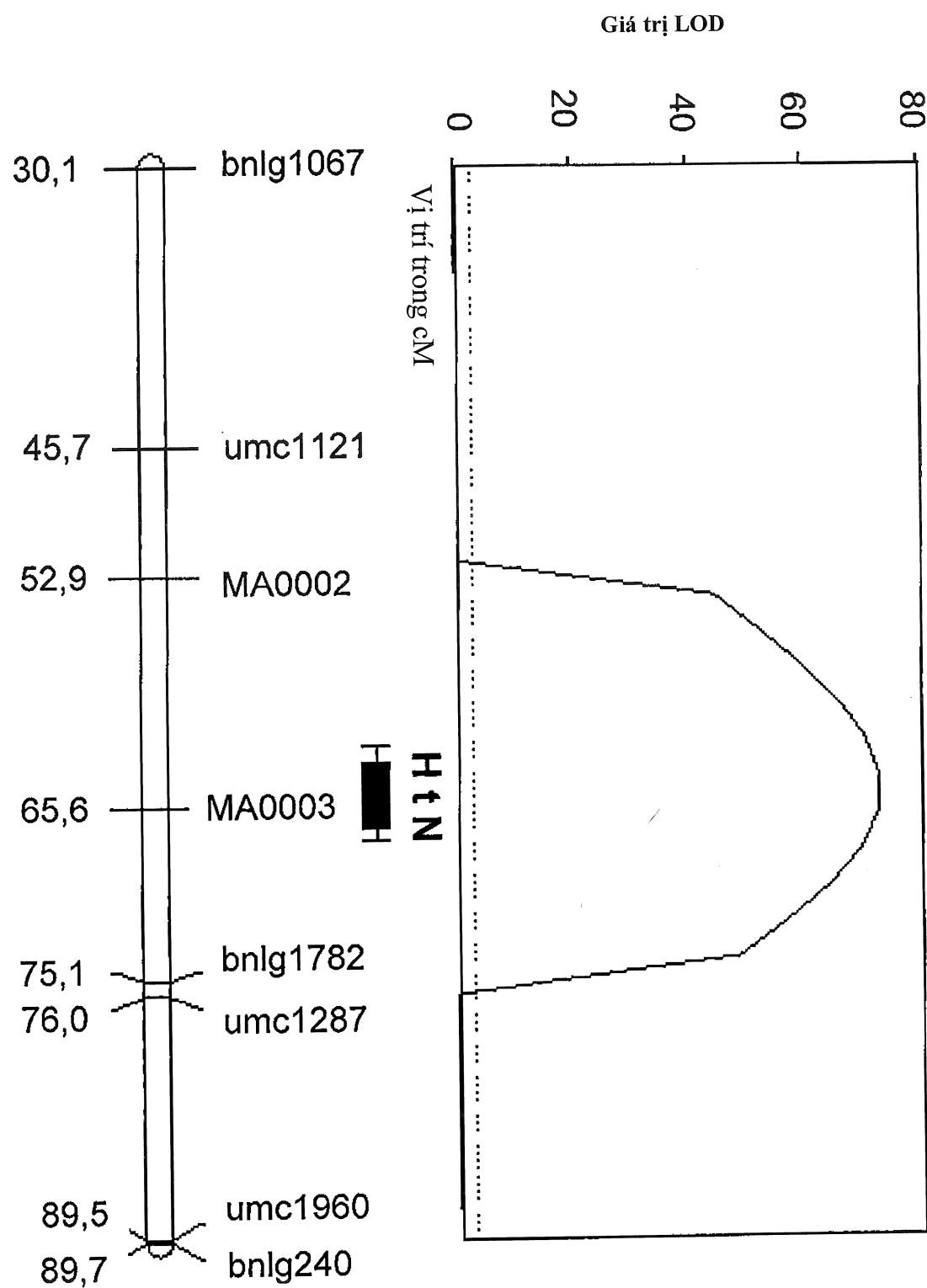


FIG. 2

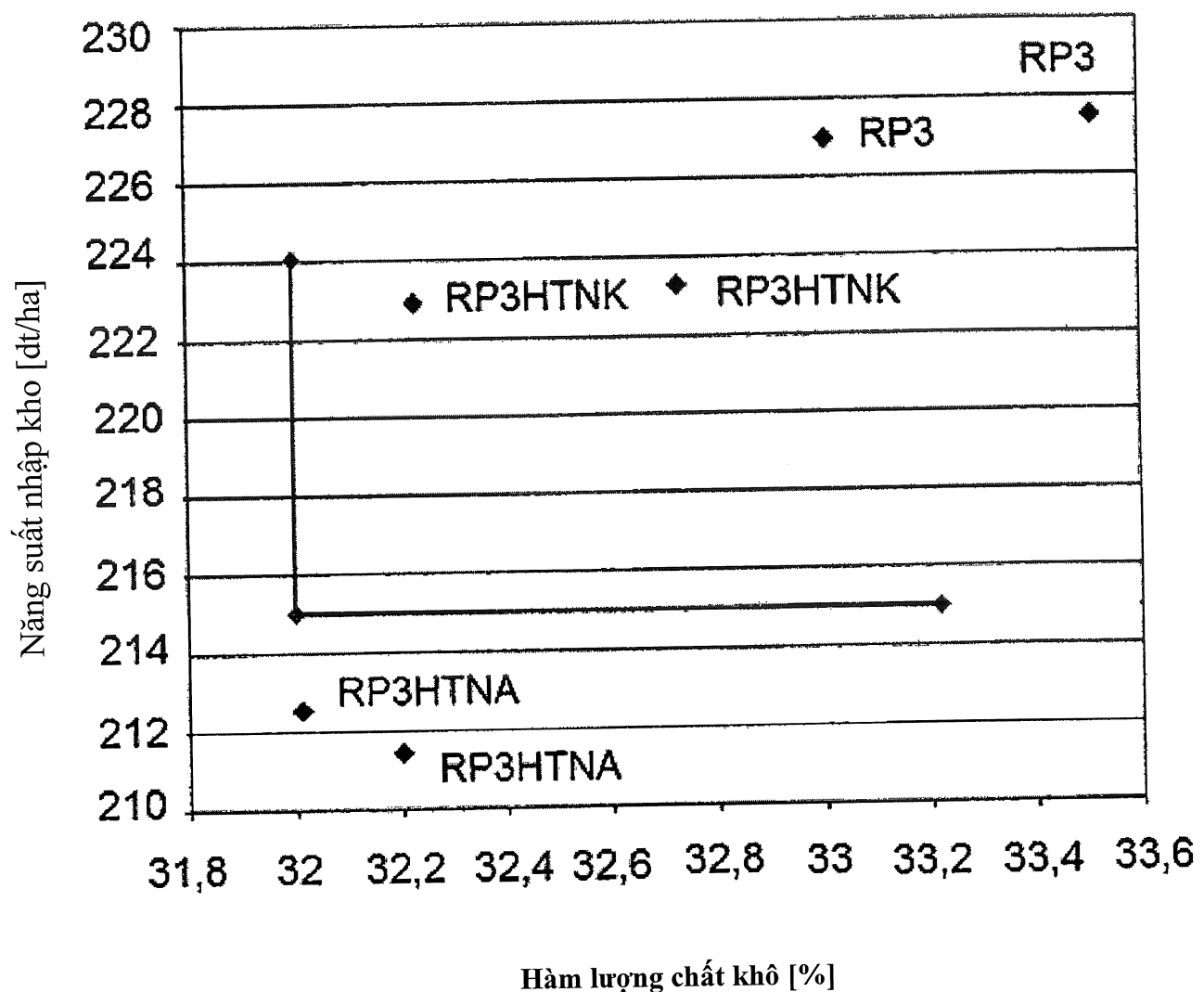


FIG. 3

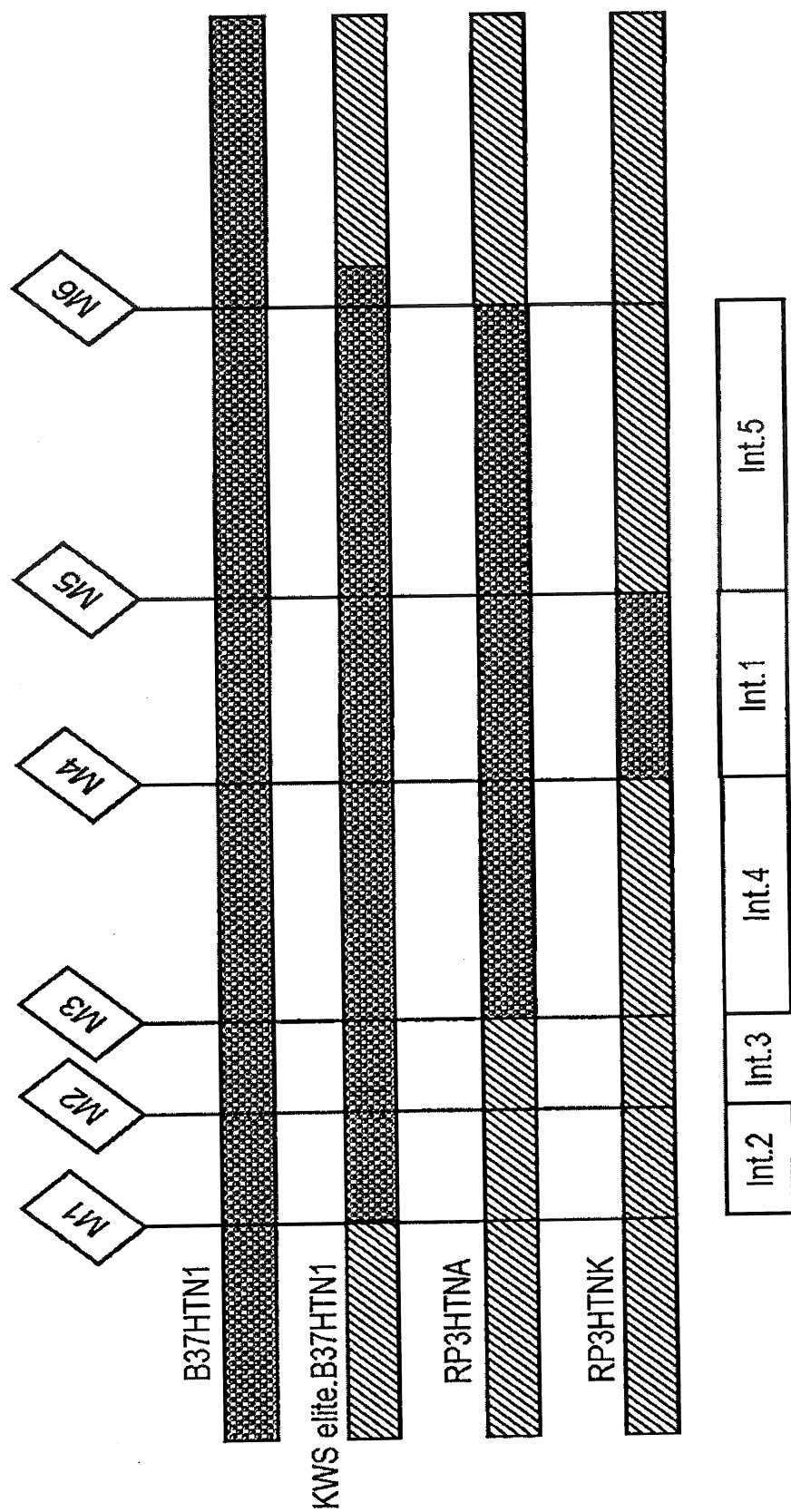
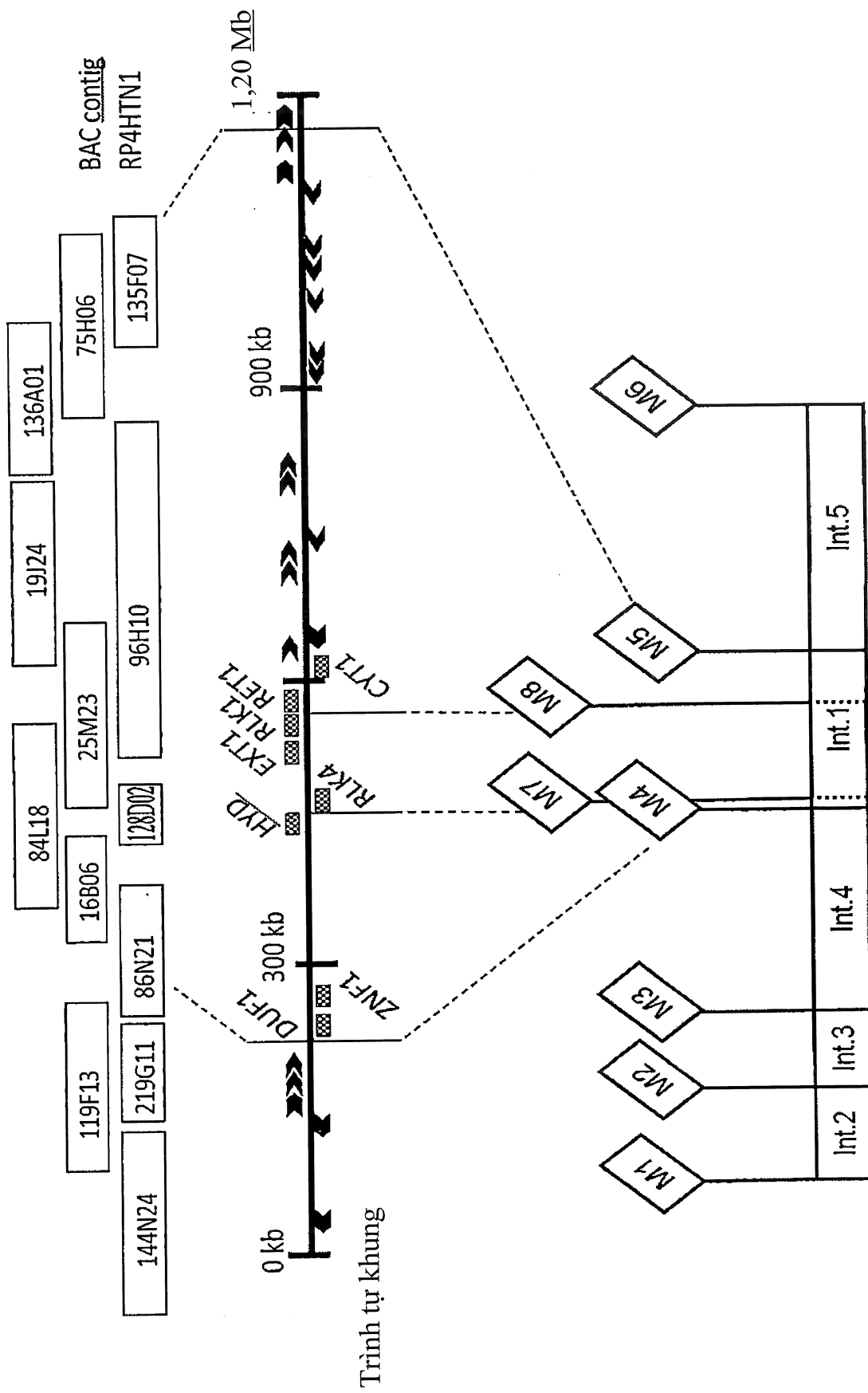


FIG. 4



DANH MỤC TRÌNH TỰ

<110> KWS SAAT AG
Universität Zürich

<120> PHƯƠNG PHÁP NHẬN BIẾT CÂY NGÔ KHÁNG HELMINTHOSPORIUM TURCICUM

<130> KWS 0206 PCT

<150> DE 10 2013 014 637.2
<151> 2013-09-04

<150> DE 10 2014 005 823.9
<151> 2014-04-24

<160> 250

<170> PatentIn phiên bản 3.5

<210> 1
<211> 2004
<212> ADN
<213> Zea mays

<400> 1	
atggctgctc accagcctca cctctccgtc ctccctcctcg tcctcctcgc tgcccatgtc	60
gtctccacct ccgccccatgg cgagcctcct cttccgagcc cttacaacac ctccgccccat	120
ggcgagcctc ctcttccgag cacttacaac gcctccatgt gctcgctggt ctggtgtggc	180
ggcgctcgaga tccgctaccc gttcttatctt gccaacgcaa tcgcccacta cagcgggagc	240
tactactcct gcggctacac cgacttgagc gtttcctgct aactcgaggt cgaggggctcg	300
ccgacgacct ggaccctac catccgtctc ggcggcggcg actacaccgt caagaacatc	360
tcctacacct acgaccagca gaccatctca ctggcggaca gagatgtgct cggaggcggc	420
ggctgccccg tcgtccgcca caacgtcagc ttgcacgaga cgtggctgca cctgcacaac	480
gccagcgcct tcgacaacct caccttcttc ttccggatgcc actgggggcc acggaataca	540
ccgcctgaat ttgccgacta caacatcagc tgccgcgggt tcaatactcc aactatcagc	600
ggtgaaagggt ctttcgtgtt caagactgga gatcttgacg aacaagagga gcaggagttg	660
gctttacact gcgacgaggt tttctccgtg ccagtgagaa gagatgctct gcaggcgatc	720
gtcagcaact tcagcctcac acgggacggg tacggcgagg tgcttaggca ggggttcgag	780
ttggaatgga atcggacatc ggaggatcag tgtggccggt gcgagggatc gggctccggc	840

ggatggtgcg	cctacagcca	gaagagagaa	ttcctggct	gcttgcag	cgaggaaag	900
gtgggcagcc	cgttctgcaa	accatcgaga	tcaaaaagga	aagaaggacc	tattgttggt	960
gctgttgcgg	ttgcattcct	gtgtctagtc	attctcacat	gcttcttggc	ttgttagacat	1020
ggttcgctgc	ccttcaaatac	ggagaacaaa	ccagggacaa	ggattgagtc	cttcctacag	1080
aagaacgaga	gtatacatcc	aaaaagatac	acctacgcgg	acgtaaaaag	aatgacaaaa	1140
tccttcgctg	tgaagctagg	ccaaggtggg	tttggtgctg	tatacaaagg	cagcctccac	1200
gatggccgac	aggttagcagt	caagatgctg	aaggacaccc	aaggtgacgg	cgaggaattc	1260
atgaacgagg	tggctagcat	cagcaggact	tctcatgtca	acgtcgtgac	acttcttaggg	1320
tttgcttgc	aagggtcgaa	aagagcaactg	atctacgagt	acatgccaa	tggttcgctc	1380
gaaaggtatg	cttcaccgg	tgacatgaac	agtgagaatt	tgctaacctg	ggaaaggcta	1440
tttgacatag	caattggcac	ggccagaggg	ctcgaataacc	tacaccgggg	atgcaacact	1500
cggatcgtgc	atttgacat	caagccacac	aacatcctgt	tagaccagga	tttctgtcct	1560
aagatctctg	actttggact	ggccaagcta	tgtctgaaca	aagagagcgc	tatctccatt	1620
gctggcgcaa	gagggacgat	agggtatatac	gccccggagg	tctactcaaa	gcaatttggaa	1680
ataataagca	gcaagtctga	tgtctatagc	tatggatga	tggccttga	gatggttggaa	1740
gcaagggaca	ggaataacaag	cgcagatagt	gaccatagca	gccaatattt	ccctcagtgg	1800
ctttatgaac	atttggacga	ctattgtgtt	ggtgcttccg	agattaatgg	tgagaccaca	1860
gagctcgtga	ggaagatgat	agttgttaggt	ctgtggtgca	tacaagtgtat	tccgactgtat	1920
cgaccaacaa	tgacgagagt	cgtcgagatg	ttggaaggaa	gcacaagtaa	tctagagttg	1980
ccacccagag	ttctctttag	ctga				2004

<210> 2
 <211> 667
 <212> PRT
 <213> Zea mays

<400> 2

Met Ala Ala His Gln Pro His Leu Ser Val Leu Leu Leu Val Leu Leu
 1 5 10 15

Ala Ala His Val Val Ser Thr Ser Ala His Gly Glu Pro Pro Leu Pro

20

25

30

Ser Pro Tyr Asn Thr Ser Ala His Gly Glu Pro Pro Leu Pro Ser Thr
 35 40 45

Tyr Asn Ala Ser Met Cys Ser Ser Phe Trp Cys Gly Gly Val Glu Ile
 50 55 60

Arg Tyr Pro Phe Tyr Leu Ala Asn Ala Ile Ala Asp Tyr Ser Gly Ser
 65 70 75 80

Tyr Tyr Ser Cys Gly Tyr Thr Asp Leu Ser Val Ser Cys Glu Leu Glu
 85 90 95

Val Glu Gly Ser Pro Thr Thr Trp Thr Pro Thr Ile Arg Leu Gly Gly
 100 105 110

Gly Asp Tyr Thr Val Lys Asn Ile Ser Tyr Leu Tyr Asp Gln Gln Thr
 115 120 125

Ile Ser Leu Ala Asp Arg Asp Val Leu Gly Gly Gly Cys Pro Val
 130 135 140

Val Arg His Asn Val Ser Phe Asp Glu Thr Trp Leu His Leu His Asn
 145 150 155 160

Ala Ser Ala Phe Asp Asn Leu Thr Phe Phe Phe Gly Cys His Trp Gly
 165 170 175

Pro Arg Asn Thr Pro Pro Glu Phe Ala Asp Tyr Asn Ile Ser Cys Ala
 180 185 190

Gly Phe Asn Thr Pro Thr Ile Ser Gly Gly Arg Ser Phe Val Phe Lys
 195 200 205

Thr Gly Asp Leu Asp Glu Gln Glu Gln Glu Leu Ala Leu His Cys
 210 215 220

Asp Glu Val Phe Ser Val Pro Val Arg Arg Asp Ala Leu Gln Ala Ile
 225 230 235 240

Val Ser Asn Phe Ser Leu Thr Arg Asp Gly Tyr Gly Glu Val Leu Arg
245 250 255

Gln Gly Phe Glu Leu Glu Trp Asn Arg Thr Ser Glu Asp Gln Cys Gly
260 265 270

Arg Cys Glu Gly Ser Gly Ser Gly Trp Cys Ala Tyr Ser Gln Lys
275 280 285

Arg Glu Phe Leu Gly Cys Leu Cys Ser Gly Gly Lys Val Gly Ser Pro
290 295 300

Phe Cys Lys Pro Ser Arg Ser Lys Arg Lys Glu Gly Pro Ile Val Gly
305 310 315 320

Ala Val Ala Val Ala Phe Leu Cys Leu Val Ile Leu Thr Cys Phe Leu
325 330 335

Ala Cys Arg His Gly Ser Leu Pro Phe Lys Ser Glu Asn Lys Pro Gly
340 345 350

Thr Arg Ile Glu Ser Phe Leu Gln Lys Asn Glu Ser Ile His Pro Lys
355 360 365

Arg Tyr Thr Tyr Ala Asp Val Lys Arg Met Thr Lys Ser Phe Ala Val
370 375 380

Lys Leu Gly Gln Gly Phe Gly Ala Val Tyr Lys Gly Ser Leu His
385 390 395 400

Asp Gly Arg Gln Val Ala Val Lys Met Leu Lys Asp Thr Gln Gly Asp
405 410 415

Gly Glu Glu Phe Met Asn Glu Val Ala Ser Ile Ser Arg Thr Ser His
420 425 430

Val Asn Val Val Thr Leu Leu Gly Phe Cys Leu Gln Gly Ser Lys Arg
435 440 445

Ala Leu Ile Tyr Glu Tyr Met Pro Asn Gly Ser Leu Glu Arg Tyr Ala
 450 455 460

Phe Thr Gly Asp Met Asn Ser Glu Asn Leu Leu Thr Trp Glu Arg Leu
 465 470 475 480

Phe Asp Ile Ala Ile Gly Thr Ala Arg Gly Leu Glu Tyr Leu His Arg
 485 490 495

Gly Cys Asn Thr Arg Ile Val His Phe Asp Ile Lys Pro His Asn Ile
 500 505 510

Leu Leu Asp Gln Asp Phe Cys Pro Lys Ile Ser Asp Phe Gly Leu Ala
 515 520 525

Lys Leu Cys Leu Asn Lys Glu Ser Ala Ile Ser Ile Ala Gly Ala Arg
 530 535 540

Gly Thr Ile Gly Tyr Ile Ala Pro Glu Val Tyr Ser Lys Gln Phe Gly
 545 550 555 560

Ile Ile Ser Ser Lys Ser Asp Val Tyr Ser Tyr Gly Met Met Val Leu
 565 570 575

Glu Met Val Gly Ala Arg Asp Arg Asn Thr Ser Ala Asp Ser Asp His
 580 585 590

Ser Ser Gln Tyr Phe Pro Gln Trp Leu Tyr Glu His Leu Asp Asp Tyr
 595 600 605

Cys Val Gly Ala Ser Glu Ile Asn Gly Glu Thr Thr Glu Leu Val Arg
 610 615 620

Lys Met Ile Val Val Gly Leu Trp Cys Ile Gln Val Ile Pro Thr Asp
 625 630 635 640

Arg Pro Thr Met Thr Arg Val Val Glu Met Leu Glu Gly Ser Thr Ser
 645 650 655

Asn Leu Glu Leu Pro Pro Arg Val Leu Leu Ser
 660 665

<210> 3
 <211> 2133
 <212> ADN
 <213> Zea mays

<400> 3		
atggctgctc acctaccacg cctcccggtc ctccctctcg tcctcctcgc tgcccatgtc	60	
gtctccacct ccgccccatgg cgagcctcct cttccgagca cttacaacac ctccgcccatt	120	
ggcgagcctc ttcttccgag cacttacaac gcctccatgt gctcggaatc gttctggtgt	180	
ggcggcgtcg agatccgcta cccgttcaat ctgccaaacg caaccggcga ctacagcggg	240	
aactactact cctgccccta caccgacttg agcgtttcct gcgaactcga ggtcgaaggg	300	
tcgcccacga cctggacccc taccatccgt ctccggcggcgc acatctacac cgtcaagaac	360	
atctcctacg actatcatac catctcactg gcggacaacg atgtgctcgg aggccggcgg	420	
tgccccgtcg tccgccacaa cgtcagcttc aacgagacgt ggctgcacaa cgccagcgcc	480	
ttcgacaacc tcaccttctt ctccggatgc cactgggggc cacggaatac accgcctgaa	540	
tttgccgact acaacatcag ctgcgcgggg ttcaatcctc caactatcag cggtgagac	600	
tccttcgtgt tcaaggctga atatcttgc acacaagagg agcaggagtt ggcttcacac	660	
tgcgacgagg ttttctccgt gccagtcaga agcgatgctc tgcggcgcac cttagcctc	720	
acagggtacg ggtacggcga gctgcttagg caggggttcg ggttggaaatg gaatcggaca	780	
tcggaggatc agtgtggcca gtgcgaggga tggggctccg gcggatggtg cgcctacagc	840	
cagaagagag aattcctggg ctgcttgc acggaggaa aggtggcaa cccgttctgc	900	
aaaccatcga agtcaacaag gaaaccaaga attcttgcgt gtgccttggg tggtggtgt	960	
gctgcgtgc ttgttgggtgc tgccatattt ttgttgcgtca tcatgcgcaa gaggaagcag	1020	
aagaagaaaag tgaccaactc gtcttcgaag ctccctcaagt acagcggctc tggggggacc	1080	
ccgcgttcgc ggggtggta catggagtcc ggcagcatcg aggacccgccc aacgcaccac	1140	
ttcgccctacg aggagctcga ggaggcgacc aaccgcttcg acgaaagcag agaactcggc	1200	
gatggcggct tcggcaccgt ctacaaagg tacctcaggg acggggcgcgt ggtggcgggt	1260	
aaggcggctgt acaacaacgg gtaccggcgc gtggagcagt tccagaacga ggccggccatc	1320	
ctgtcggggc tgccacccaa acacccgtc atgttctacg gctgcacgtc cagccacagc	1380	

cgcgagctcc	tgctggtgta	cgagttcgtg	gccaaacggca	cggtcgcccga	ccacacctgcac	1440
gggcagcggg	cccccgagcg	cgccctctcg	tggccgctcc	gcctcagcgt	cgccgtggag	1500
tccgcccgg	cgctcaccta	cctgcacgccc	atcgagccgc	ccgtcgtgca	ccgcgacgtc	1560
aagaccacca	acatcctcct	ggacgcccac	taccacgtca	aggtcgcccga	cttcggcctc	1620
tcccgcctct	tccccctcga	cgtcacgcac	gtctccaccgg	ctccgcaggg	cacgcccagg	1680
tatgttgate	cagagtacca	ccagtgctac	cagctgacgg	acaagagcga	cgtgtacagc	1740
ttcggggtgg	tcctggtgga	gctcatctcg	tccaagccgg	ccgtcgacat	cacccggcac	1800
cgcagcgaga	tcaaacctggc	cagcatggcc	atcagcaaga	tccagaagtg	ccagctggag	1860
gagctcgtcg	acctcggcct	gggctacgac	accgaccgg	ccaccaggaa	gatgatgacg	1920
atggtcgccc	agctggcctt	ccgctgcctg	cagcagaacg	gcgagatgcf	cccgccgatc	1980
aaggaggtgc	tcgaggtgct	caggaacatc	cagggcgagt	gtctgacgfc	ggggaaaggat	2040
ggggacaaga	gcaaggacgg	gcccttctct	cccaccacgg	ttcacgctcc	gtgggacacgc	2100
aggcccacga	cgcacaacac	cagcagggac	tag			2133

<210> 4

<211> 710

<212> PRT

<213> Zea mays

<400> 4

Met Ala Ala His Leu Pro Arg Leu Pro Val Leu Leu Leu Val Leu Leu
1 5 10 15

Ala Ala His Val Val Ser Thr Ser Ala His Gly Glu Pro Pro Leu Pro
20 25 30

Ser Thr Tyr Asn Thr Ser Ala His Gly Glu Pro Leu Leu Pro Ser Thr
35 40 45

Tyr Asn Ala Ser Met Cys Ser Glu Ser Phe Trp Cys Gly Gly Val Glu
50 55 60

Ile Arg Tyr Pro Phe Asn Leu Ala Asn Ala Thr Ala Asp Tyr Ser Gly
65 70 75 80

Asn Tyr Tyr Ser Cys Gly Tyr Thr Asp Leu Ser Val Ser Cys Glu Leu
85 90 95

Glu Val Glu Gly Ser Pro Thr Thr Trp Thr Pro Thr Ile Arg Leu Gly
100 105 110

Gly Asp Ile Tyr Thr Val Lys Asn Ile Ser Tyr Asp Tyr His Thr Ile
115 120 125

Ser Leu Ala Asp Asn Asp Val Leu Gly Gly Glu Cys Pro Val Val
130 135 140

Arg His Asn Val Ser Phe Asn Glu Thr Trp Leu His Asn Ala Ser Ala
145 150 155 160

Phe Asp Asn Leu Thr Phe Phe Gly Cys His Trp Gly Pro Arg Asn
165 170 175

Thr Pro Pro Glu Phe Ala Asp Tyr Asn Ile Ser Cys Ala Gly Phe Asn
180 185 190

Pro Pro Thr Ile Ser Gly Gly Asp Ser Phe Val Phe Lys Pro Glu Tyr
195 200 205

Leu Asp Glu Gln Glu Gln Glu Leu Ala Ser His Cys Asp Glu Val
210 215 220

Phe Ser Val Pro Val Arg Ser Asp Ala Leu Arg Ala Thr Phe Ser Leu
225 230 235 240

Thr Gly Tyr Gly Tyr Gly Glu Leu Leu Arg Gln Gly Phe Gly Leu Glu
245 250 255

Trp Asn Arg Thr Ser Glu Asp Gln Cys Gly Gln Cys Glu Gly Ser Gly
260 265 270

Ser Gly Gly Trp Cys Ala Tyr Ser Gln Lys Arg Glu Phe Leu Gly Cys
275 280 285

Leu Cys Ser Gly Gly Lys Val Gly Asn Pro Phe Cys Lys Pro Ser Lys
290 295 300

Ser Thr Arg Lys Pro Arg Ile Leu Ala Gly Ala Leu Gly Gly Ala
305 310 315 320

Ala Ala Leu Leu Val Gly Ala Ala Ile Phe Leu Phe Val Ile Met Arg
325 330 335

Lys Arg Lys Gln Lys Lys Val Thr Asn Ser Ser Ser Lys Leu Leu
340 345 350

Lys Tyr Ser Gly Ser Gly Gly Thr Pro Arg Ser Arg Val Gly Asp Met
355 360 365

Glu Ser Gly Ser Ile Glu Asp Pro Pro Thr His His Phe Ala Tyr Glu
370 375 380

Glu Leu Glu Glu Ala Thr Asn Arg Phe Asp Glu Ser Arg Glu Leu Gly
385 390 395 400

Asp Gly Gly Phe Gly Thr Val Tyr Lys Gly Tyr Leu Arg Asp Gly Arg
405 410 415

Val Val Ala Val Lys Arg Leu Tyr Asn Asn Gly Tyr Arg Arg Val Glu
420 425 430

Gln Phe Gln Asn Glu Ala Ala Ile Leu Ser Gly Leu Arg His Pro Asn
435 440 445

Leu Val Met Phe Tyr Gly Cys Thr Ser Ser His Ser Arg Glu Leu Leu
450 455 460

Leu Val Tyr Glu Phe Val Ala Asn Gly Thr Val Ala Asp His Leu His
465 470 475 480

Gly Gln Arg Ala Pro Glu Arg Ala Leu Ser Trp Pro Leu Arg Leu Ser
485 490 495

Val Ala Val Glu Ser Ala Ala Leu Thr Tyr Leu His Ala Ile Glu
500 505 510

Pro Pro Val Val His Arg Asp Val Lys Thr Thr Asn Ile Leu Leu Asp
515 520 525

Ala Asp Tyr His Val Lys Val Ala Asp Phe Gly Leu Ser Arg Leu Phe
530 535 540

Pro Leu Asp Val Thr His Val Ser Thr Ala Pro Gln Gly Thr Pro Gly
545 550 555 560

Tyr Val Asp Pro Glu Tyr His Gln Cys Tyr Gln Leu Thr Asp Lys Ser
565 570 575

Asp Val Tyr Ser Phe Gly Val Val Leu Val Glu Leu Ile Ser Ser Lys
580 585 590

Pro Ala Val Asp Ile Thr Arg His Arg Ser Glu Ile Asn Leu Ala Ser
595 600 605

Met Ala Ile Ser Lys Ile Gln Lys Cys Gln Leu Glu Glu Leu Val Asp
610 615 620

Leu Gly Leu Gly Tyr Asp Thr Asp Pro Ala Thr Arg Lys Met Met Thr
625 630 635 640

Met Val Ala Glu Leu Ala Phe Arg Cys Leu Gln Gln Asn Gly Glu Met
645 650 655

Arg Pro Pro Ile Lys Glu Val Leu Glu Val Leu Arg Asn Ile Gln Gly
660 665 670

Glu Cys Leu Thr Ser Gly Lys Asp Gly Asp Lys Ser Lys Asp Gly Pro
675 680 685

Phe Ser Pro Thr Thr Val His Ala Pro Trp Asp Ser Arg Ser Thr Thr
690 695 700

Pro Asn Thr Ser Arg Asp
705 710

<210> 5
<211> 879

<212> ADN

<213> Zea mays

<400>	5					
atggctcctc	tgctcctgct	cctgctactc	ttcccccgtcc	agttccagct	cctgctcctc	60
ctagccgttag	ccgacgctgt	ccccggtctc	tgcgccagag	ccacatgcgc	cggccatgtc	120
atccagtacc	cgttctggct	caactcctcg	gccccggact	gcggccgccc	ccacgggatc	180
ggccttgtct	gcgagggcaa	ctcgacgctg	accctcccct	acatgtccca	cagataacgta	240
gtgtccagca	tcgactacaa	gacgcgtacc	gtgctggct	cggacgcccga	catcgccgac	300
gagtaacgacg	cggccggctg	cccgccgcgtc	cgcgtgaacc	tcaccatcga	caccgcctgg	360
ctgcggcccg	cggcctccga	cgcacacatc	accttcctct	acgactgcaa	gaagagcatac	420
accctgcctt	ccgccgtgga	actgagtggt	tgccattgccc	accaggcagca	gcagcagcag	480
caacaggatt	attgcgttag	gtcgtaacgt	ctgcggacg	gcgggatcac	gggcgcggcag	540
gcgcaccagt	acgggtgcga	ggacgtggtg	gtggcgccgg	tgctggacgc	gcacaggagg	600
gagatcctgg	gcgcgcctcc	ggcgaacgga	tccctccgccc	gggtgctgca	gggcgggttc	660
gagctgaact	acgacaccca	ctctgagctg	tgcgaccgg	gcgaggcctc	cggcgggtgg	720
tgccggctacc	ggcgccggcga	ggcgcccgcc	accggcgccc	gcggcgggct	gacgttcgcc	780
tgcttctgct	acggcgcccc	gacgacgacg	ggcctgtgct	gtgcgggtac	gtacctcctc	840
ttcattcccc	cagcgttaca	atttattata	tgtttgtaa			879

<210> 6

<211> 292

<212> PRT

<213> Zea mays

<400> 6

Met	Ala	Pro	Leu	Leu	Leu	Leu	Leu	Leu	Phe	Pro	Val	Gln	Phe	Gln
1														

Leu	Leu	Leu	Leu	Ala	Val	Ala	Asp	Ala	Val	Pro	Gly	Leu	Cys	Ala
20														

Arg	Ala	Thr	Cys	Ala	Gly	His	Val	Ile	Gln	Tyr	Pro	Phe	Trp	Leu	Asn
35															

Ser Ser Ala Pro Asp Cys Gly Arg Arg His Gly Ile Gly Leu Val Cys
 50 55 60

Glu Gly Asn Ser Thr Leu Thr Leu Pro Tyr Met Ser His Arg Tyr Val
 65 70 75 80

Val Ser Ser Ile Asp Tyr Lys Thr Arg Thr Val Leu Val Ser Asp Ala
 85 90 95

Asp Ile Gly Asp Glu Tyr Asp Ala Ala Gly Cys Pro Arg Val Arg Val
 100 105 110

Asn Leu Thr Ile Asp Thr Ala Trp Leu Arg Pro Ala Ala Ser Asp Ala
 115 120 125

Asn Ile Thr Phe Leu Tyr Asp Cys Lys Lys Ser Ile Thr Leu Pro Ser
 130 135 140

Ala Val Glu Leu Ser Gly Cys His Cys His Gln Gln Gln Gln Gln
 145 150 155 160

Gln Gln Asp Tyr Cys Arg Arg Ser Tyr Val Leu Pro Asp Gly Gly Ile
 165 170 175

Thr Gly Ala Glu Ala His Gln Tyr Gly Cys Glu Asp Val Val Val Ala
 180 185 190

Pro Val Leu Asp Ala His Arg Arg Glu Ile Leu Gly Ala Pro Pro Ala
 195 200 205

Asn Gly Ser Leu Arg Arg Val Leu Gln Gly Gly Phe Glu Leu Asn Tyr
 210 215 220

Asp Thr His Ser Glu Leu Cys Asp Arg Cys Glu Ala Ser Gly Gly Trp
 225 230 235 240

Cys Gly Tyr Arg Arg Gly Glu Ala Pro Ala Thr Gly Ala Gly Gly Gly
 245 250 255

Leu Thr Phe Ala Cys Phe Cys Asp Gly Gly Pro Thr Thr Thr Gly Leu
 260 265 270

Cys Gly Ala Gly Thr Tyr Leu Leu Phe Ile Pro Pro Ala Leu Gln Phe
275 280 285

Ile Ile Cys Leu
290

```
<210>    7  
<211> 588  
<212> ADN  
<213> Zea mays
```

<400> 7
atggggtgca cgacacctcca cgacgcccgtc gccgcgtgctg tcacctcctc cagttcccg 60
ccccgtgcgc gcccgtcgac cgctccgac ccctcaccac ggccgcggaga ccccgcccg 120
ctgtgcccg agcgcgtggc gctcatccac gccgcgaccg accgcccggta cgcgctcgcc 180
accgcgcacg ctgcctactt ccgcgtcgctc gccgcgcgtcg gtgacgcgcgt gcggcgcttc 240
gtggcggtccg cgctcgcgcc cgccacgcct gggtcctcgc tgggtgctcac gctcccgccct 300
tcccccgcca agctggtcgc tgccgcgtcc gccagcctcc cgacgtggcc gttgtccacc 360
gtctcggtcgc tctcgactc cctacgcagag aagcggcgga tcttttaggga ggccggcggtg 420
aagggaagcg cgcgagagag gacacagtca cggactcagg ccaccgttgc tcacagctgc 480
attagaatcc gatttcgggt ccacgcgtcac acgtgtcaac gccggatacg ggatgctaac 540
gtqaagtgcg gacgaggctt caaaaagggtt gaggtttaa taacttag 588

<210> 8
<211> 195
<212> PRT
<213> Zea mays

<400> 8

Ser Ser Ser Arg Pro Arg Ala Arg Arg Ser Ser Ala Ser Asp Pro Ser
20 25 30

Pro Arg Arg Gly Asp Pro Ala Ala Leu Cys Arg Glu Arg Val Ala Leu
35 40 45

Ile His Ala Ala Thr Asp Arg Arg Tyr Ala Leu Ala Thr Ala His Ala
 50 55 60

Ala Tyr Phe Arg Ser Leu Ala Ala Val Gly Asp Ala Leu Arg Arg Phe
 65 70 75 80

Val Ala Ser Ala Leu Ala Pro Ala Thr Pro Gly Ser Ser Leu Val Leu
 85 90 95

Thr Leu Pro Pro Ser Pro Ala Lys Leu Val Ala Ala Ser Ala Ser
 100 105 110

Leu Pro Thr Trp Pro Leu Ser Thr Val Ser Ser Leu Ser His Ser Leu
 115 120 125

Ala Glu Lys Arg Arg Ile Phe Arg Glu Ala Ala Leu Lys Gly Ser Ala
 130 135 140

Arg Glu Arg Thr Gln Ser Arg Thr Gln Ala Thr Val Ala His Ser Cys
 145 150 155 160

Ile Arg Ile Arg Phe Arg Val His Ala His Thr Cys Gln Arg Arg Ile
 165 170 175

Arg Asp Ala Asn Val Lys Cys Gly Arg Gly Phe Lys Arg Gly Glu Val
 180 185 190

Leu Ile Thr
 195

<210> 9
 <211> 3699
 <212> ADN
 <213> Zea mays

<400> 9		
atggcgacgc cgacgccccat gcctggaggc gagggggacgc tcgcagcggt gatgccgcgg		60
tcccccgtctc cgacgccccgc ggaggcgggg acctcggcga ccgagacgcc cgtgctgata		120
ttcctttact ttcacaaggc gatccgcgcg gagctcgagg cgctgcacgg cgccgcgtg		180

ctcctggcca ccgagcgac cgccgatgt a gagatgctcg ccaagcgctg ccgcatttttc	240
ttcaacatt acaaacacca ctgcgacgcc gaggatgcgg tcattttcc agcactcgat	300
atccgagtaa agaatgttgc agggacctat tccttagagc ataaaggaga aagcgatctt	360
tttagccagt tatttgatct cctgcaattt gacatacata atgatgatgg tcttcgttagg	420
gagcttgcgt catgcacagg cgcgatacag acatgtctca gccaacatat gtccaaggag	480
gaagaacagg tctttccatt gcttacaaag aaattttcgt gtgaagaaca agctgattta	540
gtgtggcaat tcctatgcaa cattcctgtc aatatggtgg cagagttcct tccatggctt	600
tcaacttctg tcacatctga tgagcaccaa gatatccgta actgcttatg caaagtagtt	660
cctgatgaga aacttctcca acaggttgta ttcacatgga tggaaggaa agcaacaaga	720
gaagtggcag agagcattgc tgctggatt tcagcaagaa atcatagtgt tgaggatgtc	780
ccagaccaag ggaagattca tatttgttta catcacaatt ctaaacttgg gagtaaaaac	840
tgtggagaat ctaatggtcc tcaggctgac aagcatccta tagatgatat tttatactgg	900
cacaatgcta ttcgtatgga gttacgtgat ataaaagagg agacaagaag ggtgcagcaa	960
tctggggatt tttctgatat atcagccttc aatgagagggc ttcatgtat tgcagatgt	1020
tgcatttacc acagtatcgc tgaggatcag gttgttttc ctgcagtcga tagtgagctg	1080
tcctttgtgc aggagcatgc tgaagaagaa tgcagggttta acaatttttag gtgttaatt	1140
cagcaaatcc aaatagcagg agccgaatca actgcattgg acttctactc aaaactgtgt	1200
tcacatgctg ataaaatatt ggaggcaatc gaaaaacact tctgcaatga agaaaccaag	1260
gtgcttcctc aagctaggat gctttctct cttgagaagc aaagggact ttcatacaaa	1320
agtttgttg ttatgccatt gaaattatttgc gaaacgtgtt tgccgtgggtt ggtgtcgaag	1380
ctgagtgtatg ttcaaggcaac ttcatattttt cagaatatac gcttggcagc atcaccatct	1440
gaaactgcac tggtcactct tatctctggt tggcatgca aaggccggga taaatccaaa	1500
gatggagaat atttatgctt aacatcaggt gcggcgagat gtctatcaga tgcgtatgt	1560
gatctggaa aatgccgatc attctgtcca tgtgcttcac ccaacagctc agatcttct	1620
ctgcagctac atactgagaa tgattctagg ccaggcaagc gagaaaaaga tgcgtatct	1680
ttttctcata ctaatggaaat ctactgctct caaaactgctg acattgaagc aattccatgt	1740
agcaaaaaac catgttgtat tcctggtttgc agagtagaga gtagcaatct tggtattgg	1800

tccttggctt ctgcaaagtc ttttca	tctacttataca attcaactgc tccttcacta	1860
tattcgagcc tctttcatg ggagacagat acatcattgt cttgttcgga cagcattca		1920
aggccaatcg atacaatatt caaatttcat aaggcaattc gcaaggattt agaatactta		1980
gatgttgaat ctggcaagct cattgatggc aacgagtcct gccttcgcca attcattgga		2040
aggttccggtt tgttatgggg tctttacagg gctcacagca atgctgagga tgaaattgtg		2100
tttccagcat tggaatccag agaaacatta cacaatgtga gccattcata tactcttgac		2160
cacaaggcagg aagaacagtt gtttgaagat atctcaaatg ttctcttca actttcacaa		2220
ctacatgata gccagggcca tgcccagact gaagttaatg aagtaaagaa aagctgttc		2280
cattcatcta atgatgtcga ttttgctaga aagtataatg aacttgccac aaaacttcag		2340
ggcatgtgca agtctatccg ggtcgccctg actaatcatg tccatagaga agaacttcaa		2400
ttatggccgt tgtttgataa acattttct gtggaggagc aagataaact tgttaggtcgt		2460
ataattgggtt caacaggtgc tgaggttctc caatctatgt tacccctgggt tacatcagtt		2520
ctcaactcaag aggagcagaa caaaatgctt gatatgtgga agcaagctac aaaaaataca		2580
atgtttgggg aatggctaaa cgagtggtgg aagggagctg gaacagcatc tgattcttca		2640
gcagaggcgt cctctgctcc agaagatagt catttacaag ataagcttga acaaaatgac		2700
cagatgttca agcctggctg gaaggacata tttcgaatga atcagagtga acttgaggct		2760
gaggtgcgaa aggtttcacf agattctaca cttgacccaa ggcggaaggc gtatctaatt		2820
caaaatctca tgacaagccg ctggatagct gcacagcaga agttaccaga accaaattct		2880
gaagaatgtt atcacgatgc cagtataacct ggatgtgcac cttcataccg agaccaggag		2940
aaacaaattt atggttgtga acactacaaa cggaaactgca aacttggc tgcatgctgc		3000
aacaagctt tcacatgcag gttctgccat gataaagtta gtgaccatac gatggaaagg		3060
aaagcaacac aggagatgtat gtgcattggta tgcctaaaga ttcaacctgt tggttcgttc		3120
tgccaaaccc catcttgcaa cagactatcg atggcaaagt actactgtaa catctgtaaa		3180
ttttttgatg atgaaaggac tgtgtaccac tgtccgttt gtaatttgtg tcgtcttggg		3240
aaaggcttg gtgttgattt cttccattgc atgaaatgca actgctgcct tggaatgaaa		3300
ttaactgagc acaaatgtcg ggaaaaaggc ctagagacaa attgtccaaat atgctgtgac		3360
ttcctattta catcaagtgc cgcagtcaga gccctccctt gtggccactt catgcattca		3420

gcttgctttc aggcatcacac ttgttagtcac tacacttgcc cstatctgctg caaatccttg	3480
ggagatatgg cggttattt tggcatgctt gatgccttgt tggcggctga agagcttccg	3540
gaggaatacc gtgatcggtg tcagggatata ctttgcataatg actgtgagag gaaaggtaga	3600
tgtcgatttc attggttata ccacaaatgc ggctcctgtg ggtcgtaaaa cacccgagtt	3660
atcaagactg ccacagcaga ttgctctaca ccaaactag	3699

<210> 10

<211> 1232

<212> PRT

<213> Zea mays

<400> 10

Met Ala Thr Pro Thr Pro Met Pro Gly Gly Glu Gly Thr Leu Ala Ala	
1	5
	10
	15

Val Met Pro Arg Ser Pro Ser Pro Thr Pro Ala Glu Ala Gly Thr Ser	
20	25
	30

Ala Thr Glu Thr Pro Val Leu Ile Phe Leu Tyr Phe His Lys Ala Ile	
35	40
	45

Arg Ala Glu Leu Glu Ala Leu His Gly Ala Ala Val Leu Leu Ala Thr	
50	55
	60

Glu Arg Thr Gly Asp Val Glu Met Leu Ala Lys Arg Cys Arg Phe Phe	
65	70
	75
	80

Phe Asn Ile Tyr Lys His His Cys Asp Ala Glu Asp Ala Val Ile Phe	
85	90
	95

Pro Ala Leu Asp Ile Arg Val Lys Asn Val Ala Gly Thr Tyr Ser Leu	
100	105
	110

Glu His Lys Gly Glu Ser Asp Leu Phe Ser Gln Leu Phe Asp Leu Leu	
115	120
	125

Gln Leu Asp Ile His Asn Asp Asp Gly Leu Arg Arg Glu Leu Ala Ser	
130	135
	140

Cys Thr Gly Ala Ile Gln Thr Cys Leu Ser Gln His Met Ser Lys Glu
 145 150 155 160

Glu Glu Gln Val Phe Pro Leu Leu Thr Lys Lys Phe Ser Cys Glu Glu
 165 170 175

Gln Ala Asp Leu Val Trp Gln Phe Leu Cys Asn Ile Pro Val Asn Met
 180 185 190

Val Ala Glu Phe Leu Pro Trp Leu Ser Thr Ser Val Thr Ser Asp Glu
 195 200 205

His Gln Asp Ile Arg Asn Cys Leu Cys Lys Val Val Pro Asp Glu Lys
 210 215 220

Leu Leu Gln Gln Val Val Phe Thr Trp Met Glu Gly Lys Ala Thr Arg
 225 230 235 240

Glu Val Ala Glu Ser Ile Ala Ala Gly Ile Ser Ala Arg Asn His Ser
 245 250 255

Val Glu Asp Val Pro Asp Gln Gly Lys Ile His Ile Cys Leu His His
 260 265 270

Asn Ser Lys Leu Gly Ser Lys Asn Cys Gly Glu Ser Asn Gly Pro Gln
 275 280 285

Ala Asp Lys His Pro Ile Asp Asp Ile Leu Tyr Trp His Asn Ala Ile
 290 295 300

Arg Met Glu Leu Arg Asp Ile Lys Glu Glu Thr Arg Arg Val Gln Gln
 305 310 315 320

Ser Gly Asp Phe Ser Asp Ile Ser Ala Phe Asn Glu Arg Leu Gln Phe
 325 330 335

Ile Ala Asp Val Cys Ile Tyr His Ser Ile Ala Glu Asp Gln Val Val
 340 345 350

Phe Pro Ala Val Asp Ser Glu Leu Ser Phe Val Gln Glu His Ala Glu
 355 360 365

Glu Glu Cys Arg Phe Asn Asn Phe Arg Cys Leu Ile Gln Gln Ile Gln
 370 375 380

Ile Ala Gly Ala Glu Ser Thr Ala Leu Asp Phe Tyr Ser Lys Leu Cys
 385 390 395 400

Ser His Ala Asp Lys Ile Leu Glu Ala Ile Glu Lys His Phe Cys Asn
 405 410 415

Glu Glu Thr Lys Val Leu Pro Gln Ala Arg Met Leu Phe Ser Leu Glu
 420 425 430

Lys Gln Arg Glu Leu Ser Tyr Lys Ser Leu Cys Val Met Pro Leu Lys
 435 440 445

Leu Leu Glu Arg Val Leu Pro Trp Leu Val Ser Lys Leu Ser Asp Val
 450 455 460

Gln Ala Thr Ser Phe Leu Gln Asn Ile Arg Leu Ala Ala Ser Pro Ser
 465 470 475 480

Glu Thr Ala Leu Val Thr Leu Ile Ser Gly Trp Ala Cys Lys Gly Arg
 485 490 495

Asp Lys Ser Lys Asp Gly Glu Tyr Leu Cys Leu Thr Ser Gly Ala Ala
 500 505 510

Arg Cys Leu Ser Asp Asp Val Asp Asp Leu Gly Lys Cys Arg Ser Phe
 515 520 525

Cys Pro Cys Ala Ser Pro Asn Ser Ser Asp Leu Ser Leu Gln Leu His
 530 535 540

Thr Glu Asn Asp Ser Arg Pro Gly Lys Arg Gly Lys Asp Ala Val Ser
 545 550 555 560

Phe Ser His Thr Asn Gly Ile Tyr Cys Ser Gln Thr Ala Asp Ile Glu
 565 570 575

Ala Ile Pro Cys Ser Lys Lys Pro Cys Cys Ile Pro Gly Leu Arg Val
 580 585 590

Glu Ser Ser Asn Leu Gly Ile Gly Ser Leu Ala Ser Ala Lys Ser Phe
 595 600 605

His Ser Leu Ser Tyr Asn Ser Thr Ala Pro Ser Leu Tyr Ser Ser Leu
 610 615 620

Phe Ser Trp Glu Thr Asp Thr Ser Leu Ser Cys Ser Asp Ser Ile Ser
 625 630 635 640

Arg Pro Ile Asp Thr Ile Phe Lys Phe His Lys Ala Ile Arg Lys Asp
 645 650 655

Leu Glu Tyr Leu Asp Val Glu Ser Gly Lys Leu Ile Asp Gly Asn Glu
 660 665 670

Ser Cys Leu Arg Gln Phe Ile Gly Arg Phe Arg Leu Leu Trp Gly Leu
 675 680 685

Tyr Arg Ala His Ser Asn Ala Glu Asp Glu Ile Val Phe Pro Ala Leu
 690 695 700

Glu Ser Arg Glu Thr Leu His Asn Val Ser His Ser Tyr Thr Leu Asp
 705 710 715 720

His Lys Gln Glu Glu Gln Leu Phe Glu Asp Ile Ser Asn Val Leu Phe
 725 730 735

Gln Leu Ser Gln Leu His Asp Ser Gln Gly His Ala Gln Thr Glu Val
 740 745 750

Asn Glu Val Lys Lys Ser Cys Phe His Ser Ser Asn Asp Val Asp Phe
 755 760 765

Ala Arg Lys Tyr Asn Glu Leu Ala Thr Lys Leu Gln Gly Met Cys Lys
 770 775 780

Ser Ile Arg Val Ala Leu Thr Asn His Val His Arg Glu Glu Leu Glu
 785 790 795 800

Leu Trp Pro Leu Phe Asp Lys His Phe Ser Val Glu Glu Gln Asp Lys
 805 810 815

Leu Val Gly Arg Ile Ile Gly Ser Thr Gly Ala Glu Val Leu Gln Ser
 820 825 830

Met Leu Pro Trp Val Thr Ser Val Leu Thr Gln Glu Glu Gln Asn Lys
 835 840 845

Met Leu Asp Met Trp Lys Gln Ala Thr Lys Asn Thr Met Phe Gly Glu
 850 855 860

Trp Leu Asn Glu Trp Trp Lys Gly Ala Gly Thr Ala Ser Asp Ser Ser
 865 870 875 880

Ala Glu Ala Ser Ser Ala Pro Glu Asp Ser His Leu Gln Asp Lys Leu
 885 890 895

Glu Gln Asn Asp Gln Met Phe Lys Pro Gly Trp Lys Asp Ile Phe Arg
 900 905 910

Met Asn Gln Ser Glu Leu Glu Ala Glu Val Arg Lys Val Ser Arg Asp
 915 920 925

Ser Thr Leu Asp Pro Arg Arg Lys Ala Tyr Leu Ile Gln Asn Leu Met
 930 935 940

Thr Ser Arg Trp Ile Ala Ala Gln Gln Lys Leu Pro Glu Pro Asn Ser
 945 950 955 960

Glu Glu Cys Asn His Asp Ala Ser Ile Pro Gly Cys Ala Pro Ser Tyr
 965 970 975

Arg Asp Gln Glu Lys Gln Ile Tyr Gly Cys Glu His Tyr Lys Arg Asn
 980 985 990

Cys Lys Leu Val Ala Ala Cys Cys Asn Lys Leu Phe Thr Cys Arg Phe
 995 1000 1005

Cys His Asp Lys Val Ser Asp His Thr Met Glu Arg Lys Ala Thr
 1010 1015 1020

Gln Glu Met Met Cys Met Val Cys Leu Lys Ile Gln Pro Val Gly
 1025 1030 1035

Ser Phe Cys Gln Thr Pro Ser Cys Asn Arg Leu Ser Met Ala Lys
 1040 1045 1050

Tyr Tyr Cys Asn Ile Cys Lys Phe Phe Asp Asp Glu Arg Thr Val
 1055 1060 1065

Tyr His Cys Pro Phe Cys Asn Leu Cys Arg Leu Gly Lys Gly Leu
 1070 1075 1080

Gly Val Asp Phe Phe His Cys Met Lys Cys Asn Cys Cys Leu Gly
 1085 1090 1095

Met Lys Leu Thr Glu His Lys Cys Arg Glu Lys Gly Leu Glu Thr
 1100 1105 1110

Asn Cys Pro Ile Cys Cys Asp Phe Leu Phe Thr Ser Ser Ala Ala
 1115 1120 1125

Val Arg Ala Leu Pro Cys Gly His Phe Met His Ser Ala Cys Phe
 1130 1135 1140

Gln Ala Tyr Thr Cys Ser His Tyr Thr Cys Pro Ile Cys Cys Lys
 1145 1150 1155

Ser Leu Gly Asp Met Ala Val Tyr Phe Gly Met Leu Asp Ala Leu
 1160 1165 1170

Leu Ala Ala Glu Glu Leu Pro Glu Glu Tyr Arg Asp Arg Cys Gln
 1175 1180 1185

Asp Ile Leu Cys Asn Asp Cys Glu Arg Lys Gly Arg Cys Arg Phe
 1190 1195 1200

His Trp Leu Tyr His Lys Cys Gly Ser Cys Gly Ser Tyr Asn Thr
 1205 1210 1215

Arg	Val	Ile	Lys	Thr	Ala	Thr	Ala	Asp	Cys	Ser	Thr	Pro	Asn
1220					1225						1230		

<210> 11
 <211> 1152
 <212> ADN
 <213> Zea mays

<400> 11													
atggagagct	gggtccgcgc	ggtggtggag	gccatccact	cctctcgctc	ccagacagtc								60
atctacctcg	ccggcggtgc	atcccaggcg	ctcggttggc	tcctctccgt	gcccgccgct								120
tcgggcacccg	tcctcgaggt	cgtcgtgccc	tactctaggg	cctccatggc	gcagctcctt								180
ggcaagatgc	ccctgcaatt	cactagcaag	caggctgcag	aggacatggc	actggccgca								240
tacaatcgag	cactcaagct	ttctggacca	ggtctgcaag	ttatgggtgt	tggatttact								300
gggtcactgg	cgagctcacg	tccaaaacat	ggtgaccaca	ggttttatgt	gtcaacatgg								360
acacataatt	gtctcaggac	atcacatgtt	acttgtcga	agggtttacg	gagtagggag								420
gaagaagaca	aggtttcaag	ctacttttg	cttaaggcaa	tagcagatac	ctgcagagtt								480
tctgcaacca	ttcagccaga	cattcacaaa	tctgaaattc	cagaagaaat	catggaacaa								540
tttcatgttgc	atcaagaact	ccagcaagtt	attaatgggc	aagtttgcac	gaaagtatat								600
aattttgctg	ctccggcgga	aagtaacttg	aacagaaaaaa	taattctgcc	tggttcggtc								660
aaccccttgc	acgatggtca	ccttagattt	ctagaagctg	cagtaagcat	gtgtgatgat								720
gggcttccat	tctttgagat	atcagcaatt	aatgctgata	aacctccact	atctattgca								780
gaaattaaga	ggcgtgttga	gcaattttaga	aaagcagggaa	agaatgtgat	tatatctaac								840
cagccatact	tctataagaa	agcagaactt	ttcccaggaa	gcgcttttat	aattggtgca								900
gacactgcag	caaggcttgt	taaccctaag	tactatggag	gagattacaa	cagaatgctg								960
gagatacttc	tcgaatgtaa	gagcataggg	actactttt	ttgttggtgg	tcgaaagatt								1020
gaaggagatt	tcaaggtcct	tgagaactta	gacattccag	aagagctgag	agaaatgttc								1080
atttctatttgc	cgaggaaaaaa	gtttcgcata	gatatttcat	ctactgaaat	aagaaagagc								1140
caagggctct	ga												1152

<210> 12

<211> 383
<212> PRT
<213> Zea mays

<400> 12

Met Glu Ser Trp Val Arg Ala Val Val Glu Ala Ile His Ser Ser Arg
1 5 10 15

Ser Gln Thr Val Ile Tyr Leu Ala Gly Gly Ala Ser Gln Ala Leu Gly
20 25 30

Trp Leu Leu Ser Val Pro Gly Ala Ser Gly Thr Val Leu Glu Val Val
35 40 45

Val Pro Tyr Ser Arg Ala Ser Met Ala Gln Leu Leu Gly Lys Met Pro
50 55 60

Leu Gln Phe Thr Ser Lys Gln Ala Ala Glu Asp Met Ala Leu Ala Ala
65 70 75 80

Tyr Asn Arg Ala Leu Lys Leu Ser Gly Pro Gly Leu Gln Val Met Gly
85 90 95

Val Gly Phe Thr Gly Ser Leu Ala Ser Ser Arg Pro Lys His Gly Asp
100 105 110

His Arg Phe Tyr Val Ser Thr Trp Thr His Asn Cys Leu Arg Thr Ser
115 120 125

His Val Thr Leu Ser Lys Gly Leu Arg Ser Arg Glu Glu Asp Lys
130 135 140

Val Ser Ser Tyr Phe Leu Leu Lys Ala Ile Ala Asp Thr Cys Arg Val
145 150 155 160

Ser Ala Thr Ile Gln Pro Asp Ile His Lys Ser Glu Ile Pro Glu Glu
165 170 175

Ile Met Glu Gln Phe Asp Glu Asp Gln Glu Leu Gln Gln Val Ile Asn
180 185 190

Gly Gln Val Cys Met Lys Val Tyr Asn Phe Ala Ala Pro Ala Glu Ser
 195 200 205

Asn Leu Asn Arg Lys Ile Ile Leu Pro Gly Ser Phe Asn Pro Leu His
 210 215 220

Asp Gly His Leu Arg Leu Leu Glu Ala Ala Val Ser Met Cys Asp Asp
 225 230 235 240

Gly Leu Pro Phe Phe Glu Ile Ser Ala Ile Asn Ala Asp Lys Pro Pro
 245 250 255

Leu Ser Ile Ala Glu Ile Lys Arg Arg Val Glu Gln Phe Arg Lys Ala
 260 265 270

Gly Lys Asn Val Ile Ile Ser Asn Gln Pro Tyr Phe Tyr Lys Lys Ala
 275 280 285

Glu Leu Phe Pro Gly Ser Ala Phe Ile Ile Gly Ala Asp Thr Ala Ala
 290 295 300

Arg Leu Val Asn Pro Lys Tyr Tyr Gly Gly Asp Tyr Asn Arg Met Leu
 305 310 315 320

Glu Ile Leu Leu Glu Cys Lys Ser Ile Gly Thr Thr Phe Leu Val Gly
 325 330 335

Gly Arg Lys Ile Glu Gly Asp Phe Lys Val Leu Glu Asn Leu Asp Ile
 340 345 350

Pro Glu Glu Leu Arg Glu Met Phe Ile Ser Ile Pro Glu Glu Lys Phe
 355 360 365

Arg Ile Asp Ile Ser Ser Thr Glu Ile Arg Lys Ser Gln Gly Leu
 370 375 380

<210> 13
 <211> 666
 <212> ADN
 <213> Zea mays

<400> 13

atgcacccta	atttccaag	cgatcatggc	aacggacgag	gggtgggcgg	cggcggcggc	60
catagcaggc	gcaagccgat	tcatcagctt	ctcggtggag	ggcgagccgc	ggacatcttg	120
ctgtggaagg	acaggaattt	gtctgcaggc	ctgctcgctg	ggccacgct	ggtatggtag	180
ctgttcgagg	ttgtttagta	cagcattgta	ccgctcgttt	gccagatagc	catcctggcc	240
atgctcgctg	tcttcatctg	gtcgaatgct	gcgcctctct	tgaacatagc	ccctccaagg	300
atcccagaag	tgatcatctc	tgagcatgcc	ttccgacaaa	tagcacagat	cgtccattac	360
aaactggcac	acaccgtgtc	tgctcttat	gacattgcat	gcgggaagga	tctgaagaaa	420
ttcctcctgg	tggctttatc	actgctaata	gtgtcagagg	ttggaagttc	ttacagcttc	480
acaagtcttc	tatatcttgg	atttcttgc	gccccacactt	tgccagcggt	gtaccaaaga	540
tatgagacag	agggtgacca	ccttgccgca	aggggttagtg	aagacatcaa	gaggttctac	600
aagaggattt	attccaattt	gctgaacaaa	ataccaaggg	gcccagtcaa	gacaaaagtt	660
aaataaa						666

<210> 14

<211> 221

<212> PRT

<213> Zea mays

<400> 14

Met His Pro Asn Phe Pro Ser Asp His Gly Asn Gly Arg Gly Val Gly			
1	5	10	15

Gly Gly Gly Gly His Ser Arg Arg Lys Pro Ile His Gln Leu Leu Gly		
20	25	30

Gly Gly Arg Ala Ala Asp Ile Leu Leu Trp Lys Asp Arg Asn Leu Ser		
35	40	45

Ala Gly Leu Leu Ala Gly Ala Thr Leu Val Trp Tyr Leu Phe Glu Val		
50	55	60

Val Glu Tyr Ser Ile Val Pro Leu Val Cys Gln Ile Ala Ile Leu Ala			
65	70	75	80

Met Leu Val Val Phe Ile Trp Ser Asn Ala Ala Pro Leu Leu Asn Ile		
85	90	95

Ala Pro Pro Arg Ile Pro Glu Val Ile Ile Ser Glu His Ala Phe Arg
 100 105 110

Gln Ile Ala Gln Ile Val His Tyr Lys Leu Ala His Thr Val Ser Ala
 115 120 125

Leu Tyr Asp Ile Ala Cys Gly Lys Asp Leu Lys Lys Phe Leu Leu Val
 130 135 140

Val Leu Ser Leu Leu Ile Val Ser Glu Val Gly Ser Ser Tyr Ser Phe
 145 150 155 160

Thr Ser Leu Leu Tyr Leu Gly Phe Leu Cys Ala His Thr Leu Pro Ala
 165 170 175

Leu Tyr Gln Arg Tyr Glu Thr Glu Val Asp His Leu Ala Ala Arg Gly
 180 185 190

Ser Glu Asp Ile Lys Arg Phe Tyr Lys Arg Ile Asp Ser Asn Leu Leu
 195 200 205

Asn Lys Ile Pro Arg Gly Pro Val Lys Thr Lys Val Lys
 210 215 220

<210> 15

<211> 1113

<212> ADN

<213> Zea mays

<400> 15		
atgggcggcg tcacgtccac catcgccgcg cgcttcgcct tcttccgcgc gacgccgcgg	60	
tcctacacccg tcgtcggtcgcc cgacgcccgc accgggtcgcc tcgccccatccc ggagatctcc	120	
cgggcaccct cgccgcgtcg gaggcgggac ggccgcggcg ccgggggctc ctccctcgcc	180	
tcctccgtcg tcgcggccgc cgaggaggag gacggcgccgg aggtggtgcg cctccggacc	240	
cgcgcggga acgagatcggt ggggtctac gtgcgccacg cgccgggcctc cgccaccgtg	300	
ctctactccc acggcaacgc cgccgacccctc ggccagatgt acgggctctt cgtcgagctc	360	
agccgcccgc tccgcgtcaa cctctttggg tatgattatt ctggttatgg gagatctaca	420	

gggaagccca	ctgagtgtaa	tacatatgca	gacattgaag	cagcatataa	ctgcctcaag	480
aaaaaatatg	gtgttagcaga	tgaggatata	atcttatatg	gtcagtctgt	tggaagtgg	540
ccaaccattg	atcttgcttc	gcggttgccca	gacttgcgag	ctgtggttt	gcatagtcct	600
attttatctg	gactaagagt	aatatatcca	gtcaagcgga	cgtttgggtt	tgacatttac	660
aagaacatcg	ataaaaattgg	cttggtaaat	tgtccggtgc	ttgtcattca	tggtacatca	720
gatgacgtgg	ttgactgctc	ccacggaaaa	cagctatggg	agcactgcaa	agtaaaaat	780
tctccactgt	ggttaagtgg	tggtggccac	tgcaatctcg	agctatatcc	agattacatt	840
aagcacttga	aaaagttgt	gtcaagcggt	agcaaaaaag	catcatcgaa	acctgacc	900
aaagaaaaca	cgacaaagga	tgacactacc	agtaaagaaa	cagaggaagc	gtacccggag	960
aaacctcaag	aggccaagaa	gtgcccgcag	atctcgcgaa	agaggctgga	cagccgattc	1020
gggaaatcca	aaacagtgg	tgttcctgat	aaaccacgga	tgagctcgga	cgacatcgac	1080
aagttccgga	ggagcagatg	cttggtctgg	tga			1113

<210> 16
<211> 370
<212> PRT
<213> Zea mays

<400> 16

Met	Gly	Gly	Val	Thr	Ser	Thr	Ile	Ala	Ala	Arg	Phe	Ala	Phe	Phe	Pro
1															15

Pro	Thr	Pro	Pro	Ser	Tyr	Thr	Val	Val	Val	Ala	Asp	Ala	Ala	Thr	Gly
															30

Arg	Leu	Ala	Ile	Pro	Glu	Ile	Ser	Arg	Ala	Pro	Ser	Arg	Arg	Arg	

Arg	Asp	Gly	Ala	Gly	Ala	Gly	Ser	Ser	Ser	Ala	Ser	Ser	Val	Val	

Ala	Ala	Ala	Glu	Glu	Glu	Asp	Gly	Ala	Glu	Val	Val	Arg	Leu	Arg	Thr
65															80

Arg	Arg	Gly	Asn	Glu	Ile	Val	Gly	Val	Tyr	Val	Arg	His	Ala	Arg	Ala

Ser Ala Thr Val Leu Tyr Ser His Gly Asn Ala Ala Asp Leu Gly Gln
 100 105 110

Met Tyr Gly Leu Phe Val Glu Leu Ser Arg Arg Leu Arg Val Asn Leu
 115 120 125

Phe Gly Tyr Asp Tyr Ser Gly Tyr Gly Arg Ser Thr Gly Lys Pro Thr
 130 135 140

Glu Cys Asn Thr Tyr Ala Asp Ile Glu Ala Ala Tyr Asn Cys Leu Lys
 145 150 155 160

Glu Lys Tyr Gly Val Ala Asp Glu Asp Ile Ile Leu Tyr Gly Gln Ser
 165 170 175

Val Gly Ser Gly Pro Thr Ile Asp Leu Ala Ser Arg Leu Pro Asp Leu
 180 185 190

Arg Ala Val Val Leu His Ser Pro Ile Leu Ser Gly Leu Arg Val Ile
 195 200 205

Tyr Pro Val Lys Arg Thr Phe Trp Phe Asp Ile Tyr Lys Asn Ile Asp
 210 215 220

Lys Ile Gly Leu Val Asn Cys Pro Val Leu Val Ile His Gly Thr Ser
 225 230 235 240

Asp Asp Val Val Asp Cys Ser His Gly Lys Gln Leu Trp Glu His Cys
 245 250 255

Lys Val Lys Tyr Ser Pro Leu Trp Leu Ser Gly Gly His Cys Asn
 260 265 270

Leu Glu Leu Tyr Pro Asp Tyr Ile Lys His Leu Lys Phe Val Ser
 275 280 285

Ser Val Ser Lys Lys Ala Ser Ser Lys Pro Asp Pro Lys Glu Thr Thr
 290 295 300

Thr Lys Asp Asp Thr Thr Ser Lys Glu Thr Glu Glu Ala Tyr Pro Glu
 305 310 315 320

Lys Pro Gln Glu Ala Lys Lys Cys Pro Gln Ile Ser Arg Lys Ser Leu
 325 330 335

Asp Ser Arg Phe Gly Lys Ser Lys Thr Val Asp Val Pro Asp Lys Pro
 340 345 350

Arg Met Ser Ser Asp Asp Ile Asp Lys Phe Arg Arg Ser Arg Cys Leu
 355 360 365

Val Trp
 370

<210> 17
 <211> 47
 <212> ADN
 <213> Trình tự nhân tạo

<220>
 <223> SYN14136 Alen của đoạn mồi X

<400> 17
 gaaggtgacc aagttcatgc tcatcttgtt cggccttttc tacacta

47

<210> 18
 <211> 46
 <212> ADN
 <213> Trình tự nhân tạo

<220>
 <223> SYN14136 Alen của đoạn mồi Y

<400> 18
 gaaggtcgga gtcaacggat tatcttgttc ggcctttct acactc

46

<210> 19
 <211> 28
 <212> ADN
 <213> Trình tự nhân tạo

<220>
 <223> SYN14136 đoạn mồi gemeinsamer

<400> 19
 agaaccaaaa attcaccagc tgtgagaa

28

<210> 20
<211> 44
<212> ADN
<213> Trình tự nhân tạo

<220>
<223> PZE-108076510 Alen của đoạn mồi X

<400> 20
gaaggtgacc aagttcatgc tagcggcggg ctttcataca attt 44

<210> 21
<211> 43
<212> ADN
<213> Trình tự nhân tạo

<220>
<223> PZE-108076510 Alen của đoạn mồi Y

<400> 21
gaaggtcgga gtcaacggat tgcggcgggc tttcatacaa ttc 43

<210> 22
<211> 24
<212> ADN
<213> Trình tự nhân tạo

<220>
<223> PZE-108076510 đoạn mồi gemeinsamer

<400> 22
cttgtatca cgtgaggggc tcaa 24

<210> 23
<211> 49
<212> ADN
<213> Trình tự nhân tạo

<220>
<223> SYN24931 Alen của đoạn mồi X

<400> 23
gaaggtgacc aagttcatgc tccatttagat gagaaagcaa agagaacta 49

<210> 24
<211> 48
<212> ADN
<213> Trình tự nhân tạo

<220>
<223> SYN24931 Alen của đoạn mồi Y

<400> 24
gaaggtcgga gtcaacggat tcattagatg agaaagcaaa gagaactg 48

<210> 25
<211> 25
<212> ADN
<213> Trình tự nhân tạo

<220>
<223> SYN24931 đoạn mồi gemeinsamer

<400> 25
attggtcgac atctcatgga ggctt 25

<210> 26
<211> 36
<212> ADN
<213> Trình tự nhân tạo

<220>
<223> PZE-108077560 Alen của đoạn mồi X

<400> 26
gaaggtgacc aagttcatgc tgcagtggcc tgcgca 36

<210> 27
<211> 39
<212> ADN
<213> Trình tự nhân tạo

<220>
<223> PZE-108077560 Alen của đoạn mồi Y

<400> 27
gaaggtcgga gtcaacggat tgctgcagtgcgcg 39

<210> 28
<211> 28
<212> ADN
<213> Trình tự nhân tạo

<220>
<223> PZE-108077560 đoạn mồi gemeinsamer

<400> 28
agataatgag tcatcaggct atcagcaa 28

<210> 29
 <211> 49
 <212> ADN
 <213> Trình tự nhân tạo

<220>
 <223> PZE-108093423 Alen của đoạn mồi X

<400> 29
 gaaggtgacc aagttcatgc tgtaatccat tgtgaacata tcgctatca 49

<210> 30
 <211> 47
 <212> ADN
 <213> Trình tự nhân tạo

<220>
 <223> PZE-108093423 Alen của đoạn mồi Y

<400> 30
 gaaggtcgga gtcaacggat taatccattg tgaacatatc gctatcg 47

<210> 31
 <211> 25
 <212> ADN
 <213> Trình tự nhân tạo

<220>
 <223> PZE-108093423 đoạn mồi gemeinsamer

<400> 31
 gaaacggttc tgctgcagtt tggta 25

<210> 32
 <211> 47
 <212> ADN
 <213> Trình tự nhân tạo

<220>
 <223> PZE-108093748 Alen của đoạn mồi X

<400> 32
 gaaggtgacc aagttcatgc tggatagagt tgcagctaat gcttcaa 47

<210> 33
 <211> 46
 <212> ADN
 <213> Trình tự nhân tạo

<220>
<223> PZE-108093748 Alen của đoạn mồi Y

<400> 33
gaaggtcgga gtcaacggat tgatagagtt gcagctaatg cttag 46

<210> 34
<211> 28
<212> ADN
<213> Trình tự nhân tạo

<220>
<223> PZE-108093748 đoạn mồi gemeinsamer

<400> 34
cctgcgcattt gtaaataagt taggcaa 28

<210> 35
<211> 38
<212> ADN
<213> Trình tự nhân tạo

<220>
<223> PZE-108107671 Alen của đoạn mồi X

<400> 35
gaaggtgacc aagttcatgc ttgcacctgc acacgccc 38

<210> 36
<211> 40
<212> ADN
<213> Trình tự nhân tạo

<220>
<223> PZE-108107671 Alen của đoạn mồi Y

<400> 36
gaaggtcgga gtcaacggat tcttgcacct gcacacgccc 40

<210> 37
<211> 21
<212> ADN
<213> Trình tự nhân tạo

<220>
<223> PZE-108107671 đoạn mồi gemeinsamer

<400> 37
gatgccaaagg atcgggcgct t 21

<210> 38
 <211> 47
 <212> ADN
 <213> Trình tự nhân tạo

<220>
 <223> SYN4196 Alen của đoạn mồi X

<400> 38
 gaagggtgacc aagttcatgc tctgcactct ggaatatcta taacaga 47

<210> 39
 <211> 47
 <212> ADN
 <213> Trình tự nhân tạo

<220>
 <223> SYN4196 Alen của đoạn mồi Y

<400> 39
 gaagggtcgga gtcaacggat tctgcactct ggaatatcta taacagc 47

<210> 40
 <211> 25
 <212> ADN
 <213> Trình tự nhân tạo

<220>
 <223> SYN4196 đoạn mồi gemeinsamer

<400> 40
 tggttatac caggaaggga cgcat 25

<210> 41
 <211> 41
 <212> ADN
 <213> Trình tự nhân tạo

<220>
 <223> MA0004 Alen của đoạn mồi X

<400> 41
 gaagggtgacc aagttcatgc tgcctcggtcc gcacttcacg t 41

<210> 42
 <211> 40
 <212> ADN
 <213> Trình tự nhân tạo

<220>
<223> MA0004 Alen của đoạn mồi Y

<400> 42
gaaggtcgga gtcaacggat tcctcgtccg cacttcacgg 40

<210> 43
<211> 22
<212> ADN
<213> Trình tự nhân tạo

<220>
<223> MA0004 đoạn mồi gemeinsamer

<400> 43
gtgtcaacgc cggtatacggg at 22

<210> 44
<211> 52
<212> ADN
<213> Trình tự nhân tạo

<220>
<223> MA0005 Alen của đoạn mồi X

<400> 44
gaaggtgacc aagttcatgc tccaaaattt tagaatcaca aacagattta cg 52

<210> 45
<211> 52
<212> ADN
<213> Trình tự nhân tạo

<220>
<223> MA0005 Alen của đoạn mồi Y

<400> 45
gaaggtcgga gtcaacggat tccaaaattt tagaatcaca aacagattta ct 52

<210> 46
<211> 30
<212> ADN
<213> Trình tự nhân tạo

<220>
<223> MA0005 đoạn mồi gemeinsamer

<400> 46
aaacgccagt atcaaggagt tattagtatt 30

<210> 47
 <211> 49
 <212> ADN
 <213> Trình tự nhân tạo

<220>
 <223> MA0006 Alen của đoạn mồi X

<400> 47
 gaaggtgacc aagttcatgc tgcacacaaa cacaattat gtcaaactg 49

<210> 48
 <211> 50
 <212> ADN
 <213> Trình tự nhân tạo

<220>
 <223> MA0006 Alen của đoạn mồi Y

<400> 48
 gaaggtcgga gtcaacggat tagcacacaa acacaaatta tgtcaaacta 50

<210> 49
 <211> 29
 <212> ADN
 <213> Trình tự nhân tạo

<220>
 <223> MA0006 đoạn mồi gemeinsamer

<400> 49
 ggctgtctta cgatataccca gttttctta 29

<210> 50
 <211> 43
 <212> ADN
 <213> Trình tự nhân tạo

<220>
 <223> PZE-108097482 Alen của đoạn mồi X

<400> 50
 gaaggtgacc aagttcatgc tagtcgggga tgcatgccat tga 43

<210> 51
 <211> 42
 <212> ADN
 <213> Trình tự nhân tạo

<220>
<223> PZE-108097482 Alen của đoạn mồi Y

<400> 51
gaaggtcgga gtcaacggat tgtcgggat gcatgccatt gc

42

<210> 52
<211> 25
<212> ADN
<213> Trình tự nhân tạo

<220>
<223> PZE-108097482 đoạn mồi gemeinsamer

<400> 52
gactccagag agagacagaa aggaa

25

<210> 53
<211> 41
<212> ADN
<213> Trình tự nhân tạo

<220>
<223> MA0002 Alen của đoạn mồi X

<400> 53
gaaggtgacc aagttcatgc tgcctcggtcc gcacttcacg t

41

<210> 54
<211> 40
<212> ADN
<213> Trình tự nhân tạo

<220>
<223> MA0002 Alen của đoạn mồi Y

<400> 54
gaaggtcgga gtcaacggat tcctcggtcc cacttcacgg

40

<210> 55
<211> 22
<212> ADN
<213> Trình tự nhân tạo

<220>
<223> MA0002 đoạn mồi gemeinsamer

<400> 55
gtgtcaacgc cggtatacggg at

22

<210> 56
 <211> 41
 <212> ADN
 <213> Trình tự nhân tạo

<220>
 <223> MA0003 Alen của đoạn mồi X

<400> 56
 gaaggtgacc aagttcatgc tccgtgatgc gccttgccgt a 41

<210> 57
 <211> 40
 <212> ADN
 <213> Trình tự nhân tạo

<220>
 <223> MA0003 Alen của đoạn mồi Y

<400> 57
 gaaggtcggga gtcaacggat tcgtgatgctg ccttgcgcgtc 40

<210> 58
 <211> 24
 <212> ADN
 <213> Trình tự nhân tạo

<220>
 <223> MA0003 đoạn mồi gemeinsamer

<400> 58
 gcacatcaat cgactcagcc ctat 24

<210> 59
 <211> 48
 <212> ADN
 <213> Trình tự nhân tạo

<220>
 <223> MA0007 Alen của đoạn mồi X

<400> 59
 gaaggtgacc aagttcatgc tgaaattatt ctcagcgagc atataacc 48

<210> 60
 <211> 49
 <212> ADN
 <213> Trình tự nhân tạo

<220>
<223> MA0007 Alen của đoạn mồi Y

<400> 60
gaaggctcgga gtcaacggat tggaaattat tctcagcgag catataact 49

<210> 61
<211> 24
<212> ADN
<213> Trình tự nhân tạo

<220>
<223> MA0007 đoạn mồi gemeinsamer

<400> 61
cgaacaggca grcccatatg cttt 24

<210> 62
<211> 48
<212> ADN
<213> Trình tự nhân tạo

<220>
<223> MA0008 Alen của đoạn mồi X

<400> 62
gaaggtgacc aagttcatgc tggtaaaatg aagtaaaagc atatggc 48

<210> 63
<211> 50
<212> ADN
<213> Trình tự nhân tạo

<220>
<223> MA0008 Alen của đoạn mồi Y

<400> 63
gaaggctcgga gtcaacggat tgaggtaaaa tgaagtaaaa gcatatgggt 50

<210> 64
<211> 25
<212> ADN
<213> Trình tự nhân tạo

<220>
<223> MA0008 đoạn mồi gemeinsamer

<400> 64
tagacggagg gtgtacttat gcgaa 25

<210> 65
 <211> 51
 <212> ADN
 <213> Trình tự nhân tạo

<220>
 <223> MA0009 Alen của đoạn mồi X

<400> 65
 gaagggtgacc aagttcatgc tgtaacaaat ttgtgcttta tgtttctgg t 51

<210> 66
 <211> 49
 <212> ADN
 <213> Trình tự nhân tạo

<220>
 <223> MA0009 Alen của đoạn mồi Y

<400> 66
 gaagggtcgga gtcaacggat taacaaattt gtgctttatg tttctgg 49

<210> 67
 <211> 29
 <212> ADN
 <213> Trình tự nhân tạo

<220>
 <223> MA0009 đoạn mồi gemeinsamer

<400> 67
 gatttsagca agattaagct gattcacgt 29

<210> 68
 <211> 47
 <212> ADN
 <213> Trình tự nhân tạo

<220>
 <223> MA0010 Alen của đoạn mồi X

<400> 68
 gaagggtgacc aagttcatgc tgttggtaag agcctatagt caataca 47

<210> 69
 <211> 47
 <212> ADN
 <213> Trình tự nhân tạo

<220>
<223> MA0010 Alen của đoạn mồi Y

<400> 69
gaaggtcggat gtcaacggat tgttggtaag agcctatacg caatacc

47

<210> 70
<211> 30
<212> ADN
<213> Trình tự nhân tạo

<220>
<223> MA0010 đoạn mồi gemeinsamer

<400> 70
aattcatcay atgcgtttct tctgctcttt

30

<210> 71
<211> 44
<212> ADN
<213> Trình tự nhân tạo

<220>
<223> MA0011 Alen của đoạn mồi X

<400> 71
gaaggtgacc aagttcatgc tccttcctac agaagaacga gagc

44

<210> 72
<211> 44
<212> ADN
<213> Trình tự nhân tạo

<220>
<223> MA0011 Alen của đoạn mồi Y

<400> 72
gaaggtcggat gtcaacggat tccttcctac agaagaacga gagt

44

<210> 73
<211> 25
<212> ADN
<213> Trình tự nhân tạo

<220>
<223> MA0011 đoạn mồi gemeinsamer

<400> 73
ttcacgtccg cgttaggtgta tcttt

25

<210> 74
 <211> 47
 <212> ADN
 <213> Trình tự nhân tạo

<220>
 <223> MA0012 Alen của đoạn mồi X

<400> 74
 gaaggtgacc aagttcatgc tatagacatc agacttgctg cttattg 47

<210> 75
 <211> 49
 <212> ADN
 <213> Trình tự nhân tạo

<220>
 <223> MA0012 Alen của đoạn mồi Y

<400> 75
 gaaggtcgga gtcaacggat tctatagaca tcagacttgc tgcttatta 49

<210> 76
 <211> 25
 <212> ADN
 <213> Trình tự nhân tạo

<220>
 <223> MA0012 đoạn mồi gemeinsamer

<400> 76
 cccggaggta tactcaaagc aattt 25

<210> 77
 <211> 45
 <212> ADN
 <213> Trình tự nhân tạo

<220>
 <223> MA0013 Alen của đoạn mồi X

<400> 77
 gaaggtgacc aagttcatgc tccttccgac aaatagcaca gatca 45

<210> 78
 <211> 44
 <212> ADN
 <213> Trình tự nhân tạo

<220>
<223> MA0013 Alen của đoạn mồi Y

<400> 78
gaaggtcgga gtcaacggat tcttccgaca aatagcacag atcg 44

<210> 79
<211> 25
<212> ADN
<213> Trình tự nhân tạo

<220>
<223> MA0013 đoạn mồi gemeinsamer

<400> 79
gacacggtgt gtgccagttt gtaat 25

<210> 80
<211> 47
<212> ADN
<213> Trình tự nhân tạo

<220>
<223> MA0014 Alen của đoạn mồi X

<400> 80
gaaggtgacc aagttcatgc tcaacctctg acactattag cagtgat 47

<210> 81
<211> 46
<212> ADN
<213> Trình tự nhân tạo

<220>
<223> MA0014 Alen của đoạn mồi Y

<400> 81
gaaggtcgga gtcaacggat taacctctga cactattagc agtgac 46

<210> 82
<211> 29
<212> ADN
<213> Trình tự nhân tạo

<220>
<223> MA0014 đoạn mồi gemeinsamer

<400> 82
tgttctgttt ctgattctaa ggtggctt 29

<210> 83
<211> 44
<212> ADN
<213> Trình tự nhân tạo

<220>
<223> MA0015 Alen của đoạn mồi X

<400> 83
gaaggtgacc aagttcatgc tacaggtatg ccttgctcat aagc

44

<210> 84
<211> 45
<212> ADN
<213> Trình tự nhân tạo

<220>
<223> MA0015 Alen của đoạn mồi Y

<400> 84
gaaggtcgga gtcaacggat tcacaggtat gccttgctca taaga

45

<210> 85
<211> 26
<212> ADN
<213> Trình tự nhân tạo

<220>
<223> MA0015 đoạn mồi gemeinsamer

<400> 85
catarccact gttctaggct ggtgaa

26

<210> 86
<211> 43
<212> ADN
<213> Trình tự nhân tạo

<220>
<223> MA0016 Alen của đoạn mồi X

<400> 86
gaaggtgacc aagttcatgc tcgagcaacc ggagataacc aca

43

<210> 87
<211> 42
<212> ADN
<213> Trình tự nhân tạo

<220>
<223> MA0016 Alen của đoạn mồi Y

<400> 87
gaaggtcgga gtcaacggat tgagcaaccg gagataacca cg 42

<210> 88
<211> 30
<212> ADN
<213> Trình tự nhân tạo

<220>
<223> MA0016 đoạn mồi gemeinsamer

<400> 88
tttcggtaac ttgagacctc taattcttt 30

<210> 89
<211> 38
<212> ADN
<213> Trình tự nhân tạo

<220>
<223> MA0017 Alen của đoạn mồi X

<400> 89
gaaggtgacc aagttcatgc tcccaaacac gtgcgcacg 38

<210> 90
<211> 43
<212> ADN
<213> Trình tự nhân tạo

<220>
<223> MA0017 Alen của đoạn mồi Y

<400> 90
gaaggtcgga gtcaacggat tatgctccca aacacgtcgc aca 43

<210> 91
<211> 23
<212> ADN
<213> Trình tự nhân tạo

<220>
<223> MA0017 đoạn mồi gemeinsamer

<400> 91
cgccccgtcac ctaacaacag caa 23

<210>	92	
<211>	50	
<212>	ADN	
<213>	Trình tự nhân tạo	
<220>		
<223>	MA0018 Alen của đoạn mồi X	
<400>	92	
gaaggtgacc aagttcatgc tattctagag tatagatgtc taaacaaacc		50
<210>	93	
<211>	47	
<212>	ADN	
<213>	Trình tự nhân tạo	
<220>		
<223>	MA0018 Alen của đoạn mồi Y	
<400>	93	
gaaggtcgga gtcaacggat tctagagtat agatgtctaa acaaact		47
<210>	94	
<211>	22	
<212>	ADN	
<213>	Trình tự nhân tạo	
<220>		
<223>	MA0018 đoạn mồi gemeinsamer	
<400>	94	
cgacgggtga cgagtgacga tt		22
<210>	95	
<211>	46	
<212>	ADN	
<213>	Trình tự nhân tạo	
<220>		
<223>	MA0019 Alen của đoạn mồi X	
<400>	95	
gaaggtgacc aagttcatgc tataaatatc tactcggcgc caatac		46
<210>	96	
<211>	46	
<212>	ADN	
<213>	Trình tự nhân tạo	

<220>
<223> MA0019 Alen của đoạn mồi Y

<400> 96
gaaggtcgga gtcaacggat tataaatatc tactcggcgc caatag

46

<210> 97
<211> 27
<212> ADN
<213> Trình tự nhân tạo

<220>
<223> MA0019 đoạn mồi gemeinsamer

<400> 97
ygagatctag gtgtcatctt ctagtca

27

<210> 98
<211> 42
<212> ADN
<213> Trình tự nhân tạo

<220>
<223> MA0020 Alen của đoạn mồi X

<400> 98
gaaggtgacc aagttcatgc tttgccagca tctctctgct cc

42

<210> 99
<211> 46
<212> ADN
<213> Trình tự nhân tạo

<220>
<223> MA0020 Alen của đoạn mồi Y

<400> 99
gaaggtcgga gtcaacggat taatttgcc agcatctctc tgctca

46

<210> 100
<211> 25
<212> ADN
<213> Trình tự nhân tạo

<220>
<223> MA0020 đoạn mồi gemeinsamer

<400> 100
gtgaatcgga gaccaaggat tgctt

25

<210> 101
 <211> 45
 <212> ADN
 <213> Trình tự nhân tạo

<220>
 <223> PZE-108095998 Alen của đoạn mồi X

<400> 101
 gaaggtgacc aagttcatgc ttcaaacaag caagaggagc agcat

45

<210> 102
 <211> 44
 <212> ADN
 <213> Trình tự nhân tạo

<220>
 <223> PZE-108095998 Alen của đoạn mồi Y

<400> 102
 gaaggtcgga gtcaacggat tcaaacaagc aagaggagca gcag

44

<210> 103
 <211> 25
 <212> ADN
 <213> Trình tự nhân tạo

<220>
 <223> PZE-108095998 đoạn mồi gemeinsamer

<400> 103
 ttgtctcggt tgtaggtcg ccaat

25

<210> 104
 <211> 45
 <212> ADN
 <213> Trình tự nhân tạo

<220>
 <223> PZE-108096011 Alen của đoạn mồi X

<400> 104
 gaaggtgacc aagttcatgc tccactaatg cagagatgga gacta

45

<210> 105
 <211> 44
 <212> ADN
 <213> Trình tự nhân tạo

<220>
<223> PZE-108096011 Alen của đoạn mồi Y

<400> 105
gaaggtcgga gtcaacggat tcactaatgc agagatggag actg 44

<210> 106
<211> 26
<212> ADN
<213> Trình tự nhân tạo

<220>
<223> PZE-108096011 đoạn mồi gemeinsamer

<400> 106
catttacaca ctttgcaagg gcccta 26

<210> 107
<211> 44
<212> ADN
<213> Trình tự nhân tạo

<220>
<223> PZE-108096791 Alen của đoạn mồi X

<400> 107
gaaggtgacc aagttcatgc tagcacgaat cagttccaa gagt 44

<210> 108
<211> 43
<212> ADN
<213> Trình tự nhân tạo

<220>
<223> PZE-108096791 Alen của đoạn mồi Y

<400> 108
gaaggtcgga gtcaacggat tgcacgaatc agcttccaag agc 43

<210> 109
<211> 29
<212> ADN
<213> Trình tự nhân tạo

<220>
<223> PZE-108096791 đoạn mồi gemeinsamer

<400> 109
attcgaagtg cactgcattc tttgtcaaa 29

<210> 110
 <211> 47
 <212> ADN
 <213> Trình tự nhân tạo

<220>
 <223> PZE-108096791 Alen của đoạn mồi X

<400> 110
 gaaggtgacc aagttcatgc tgtcaaacat ataagaggc aaagtca

47

<210> 111
 <211> 47
 <212> ADN
 <213> Trình tự nhân tạo

<220>
 <223> PZE-108096791 Alen của đoạn mồi Y

<400> 111
 gaaggtcgga gtcaacggat tgtcaaacat ataagaggc aaagtct

47

<210> 112
 <211> 29
 <212> ADN
 <213> Trình tự nhân tạo

<220>
 <223> PZE-108096791 đoạn mồi gemeinsamer

<400> 112
 tgcccggttc tacattttga tgtacctct

29

<210> 113
 <211> 20
 <212> ADN
 <213> Trình tự nhân tạo

<220>
 <223> đoạn mồi thuận bnlg1782

<400> 113
 cgatgctccg ctaggaatag

20

<210> 114
 <211> 20
 <212> ADN
 <213> Trình tự nhân tạo

<220>
<223> đoạn mồi nghịch bnlg1782

<400> 114
tgtgttggaa attgacccaa

20

<210> 115
<211> 23
<212> ADN
<213> Trình tự nhân tạo

<220>
<223> đoạn mồi thuận umc1960

<400> 115
ctgctggact acatgggtgga ctt

23

<210> 116
<211> 21
<212> ADN
<213> Trình tự nhân tạo

<220>
<223> đoạn mồi nghịch umc1960

<400> 116
gagctgttagc acccccaaaa c

21

<210> 117
<211> 25
<212> ADN
<213> Trình tự nhân tạo

<220>
<223> đoạn mồi thuận bnlg240

<400> 117
aagaacagaa ggcattgata cataa

25

<210> 118
<211> 20
<212> ADN
<213> Trình tự nhân tạo

<220>
<223> đoạn mồi nghịch bnlg240

<400> 118
tgcagggtgta tggcgagcta

20

<210> 119		
<211> 24		
<212> ADN		
<213> Trình tự nhân tạo		
<220>		
<223> đoạn mồi thuận umc1121		
<400> 119		24
aaaacgacat gtcatcgct tcaa		
<210> 120		
<211> 24		
<212> ADN		
<213> Trình tự nhân tạo		
<220>		
<223> đoạn mồi thuận umc1121		
<400> 120		24
ggggtcaggt acagggttagt tagt		
<210> 121		
<211> 20		
<212> ADN		
<213> Trình tự nhân tạo		
<220>		
<223> đoạn mồi thuận bnlg1067		
<400> 121		20
ggcttgctt tgcttcactt		
<210> 122		
<211> 20		
<212> ADN		
<213> Trình tự nhân tạo		
<220>		
<223> đoạn mồi nghịch bnlg1067		
<400> 122		20
ctcatcccat tcgttccact		
<210> 123		
<211> 42		
<212> ADN		
<213> Trình tự nhân tạo		

<220>
<223> đoạn mồi thuận umc1287

<400> 123
tgtaaaacga cggccagttat gggatgatca gtcgtttcag tc 42

<210> 124
<211> 24
<212> ADN
<213> Trình tự nhân tạo

<220>
<223> đoạn mồi nghịch umc1287

<400> 124
aacgcacttc ttgttagctgt aggg 24

<210> 125
<211> 20
<212> ADN
<213> Trình tự nhân tạo

<220>
<223> đoạn mồi 579ZMPM0_2F

<400> 125
actcgcttgt ctgtgtcacg 20

<210> 126
<211> 21
<212> ADN
<213> Trình tự nhân tạo

<220>
<223> đoạn mồi 579ZMPM0_2R

<400> 126
cttgcgatt ctccgatctc a 21

<210> 127
<211> 20
<212> ADN
<213> Trình tự nhân tạo

<220>
<223> đoạn mồi 579ZMPM0_4F

<400> 127
cttccagacc gacgtgagat 20

<210> 128
 <211> 20
 <212> ADN
 <213> Trình tự nhân tạo

<220>
 <223> đoạn mồi 579ZMPM0_4R

<400> 128
 aatactatgc aaggctggcg 20

<210> 129
 <211> 20
 <212> ADN
 <213> Trình tự nhân tạo

<220>
 <223> đoạn mồi 579ZMPM0_5F

<400> 129
 ggcattatta gctaggcgca 20

<210> 130
 <211> 20
 <212> ADN
 <213> Trình tự nhân tạo

<220>
 <223> đoạn mồi 579ZMPM0_5R

<400> 130
 ttgggaaaact caggttctgc 20

<210> 131
 <211> 20
 <212> ADN
 <213> Trình tự nhân tạo

<220>
 <223> đoạn mồi 579ZMPM0_17F

<400> 131
 tgtaccccaag ctacgacgtt 20

<210> 132
 <211> 20
 <212> ADN
 <213> Trình tự nhân tạo

<220>
<223> đoạn mồi 579ZMPM0_17R

<400> 132
aaccttcacg caaagaatcg 20

<210> 133
<211> 20
<212> ADN
<213> Trình tự nhân tạo

<220>
<223> đoạn mồi 579ZMPM0_16F

<400> 133
aaacatatgc gtgatcggct 20

<210> 134
<211> 20
<212> ADN
<213> Trình tự nhân tạo

<220>
<223> đoạn mồi 579ZMPM0_16R

<400> 134
atggctcggt tcttcaggtg 20

<210> 135
<211> 22
<212> ADN
<213> Trình tự nhân tạo

<220>
<223> đoạn mồi 579ZMPM0_25F

<400> 135
ttggaccaaa cactatcgat cc 22

<210> 136
<211> 21
<212> ADN
<213> Trình tự nhân tạo

<220>
<223> đoạn mồi 579ZMPM0_25R

<400> 136
cgttggcaaa accttaggaat c 21

<210> 137
 <211> 20
 <212> ADN
 <213> Trình tự nhân tạo

<220>
 <223> đoạn mồi 579ZMPM0_22F

<400> 137
 actggaaactg caggaagggtg

20

<210> 138
 <211> 20
 <212> ADN
 <213> Trình tự nhân tạo

<220>
 <223> đoạn mồi 579ZMPM0_22R

<400> 138
 gacgtttaac cggcagtcag

20

<210> 139
 <211> 20
 <212> ADN
 <213> Trình tự nhân tạo

<220>
 <223> đoạn mồi 579ZMPM0_34F

<400> 139
 tgaattgcaa gcccacacta

20

<210> 140
 <211> 20
 <212> ADN
 <213> Trình tự nhân tạo

<220>
 <223> đoạn mồi 579ZMPM0_34R

<400> 140
 cctggtttgc tgctcttcat

20

<210> 141
 <211> 20
 <212> ADN
 <213> Trình tự nhân tạo

<220>
<223> đoạn mồi 579ZMPM0_35F

<400> 141
ccaaatgaac acgaacacca 20

<210> 142
<211> 20
<212> ADN
<213> Trình tự nhân tạo

<220>
<223> đoạn mồi 579ZMPM0_35R

<400> 142
ggcgtggta cttttgtct 20

<210> 143
<211> 20
<212> ADN
<213> Trình tự nhân tạo

<220>
<223> đoạn mồi 579ZMPM0_38F

<400> 143
cccaagatga agatccgatg 20

<210> 144
<211> 20
<212> ADN
<213> Trình tự nhân tạo

<220>
<223> đoạn mồi 579ZMPM0_38R

<400> 144
caaaccaaag aactcgagcg 20

<210> 145
<211> 20
<212> ADN
<213> Trình tự nhân tạo

<220>
<223> đoạn mồi 579ZMPM0_37F

<400> 145
gtaatgggc agatgttgg 20

<210> 146
<211> 20
<212> ADN
<213> Trình tự nhân tạo

<220>
<223> đoạn mồi 579ZMPM0_37R

<400> 146
gcgactcttc gctacacacc

20

<210> 147
<211> 24
<212> ADN
<213> Trình tự nhân tạo

<220>
<223> đoạn mồi 5579ZMPM0_41F

<220>
<221> đặc tính hỗn hợp
<222> (1)..(3)
<223> n là a, c, g, hoặc t

<400> 147
nnncctgtt catgtaactt caat

24

<210> 148
<211> 20
<212> ADN
<213> Trình tự nhân tạo

<220>
<223> đoạn mồi 579ZMPM0_41R

<400> 148
tgcacacgat aaggacatgc

20

<210> 149
<211> 24
<212> ADN
<213> Trình tự nhân tạo

<220>
<223> đoạn mồi 5579ZMPM0_41F

<220>

<221> đặc tính hỗn hợp
<222> (1)..(3)
<223> n là a, c, g, hoặc t

<400> 149
nnnccctgtt catgtaactt caat

24

<210> 150
<211> 20
<212> ADN
<213> Trình tự nhân tạo

<220>
<223> đoạn mồi 579ZMPM0_41R

<400> 150
tgcacacgat aaggacatgc

20

<210> 151
<211> 20
<212> ADN
<213> Trình tự nhân tạo

<220>
<223> đoạn mồi 579ZMPM0_46F

<400> 151
tcaagagaac tctgggtggc

20

<210> 152
<211> 20
<212> ADN
<213> Trình tự nhân tạo

<220>
<223> đoạn mồi 579ZMPM0_46r

<400> 152
ggccaacaat gacgagagtc

20

<210> 153
<211> 20
<212> ADN
<213> Trình tự nhân tạo

<220>
<223> đoạn mồi 579ZMPM0_180F

<400> 153
gggagggttg ttctggttt

20

<210> 154
 <211> 20
 <212> ADN
 <213> Trình tự nhân tạo

<220>
 <223> đoạn mồi 579ZMPM0_180R2

<400> 154
 ggtccttgc aatgtcaccc 20

<210> 155
 <211> 20
 <212> ADN
 <213> Trình tự nhân tạo

<220>
 <223> đoạn mồi 579ZMPM0_48F

<400> 155
 atggacccccc gttgttatct 20

<210> 156
 <211> 20
 <212> ADN
 <213> Trình tự nhân tạo

<220>
 <223> đoạn mồi 579ZMPM0_48R

<400> 156
 gcctgcagac aaattcctgt 20

<210> 157
 <211> 20
 <212> ADN
 <213> Trình tự nhân tạo

<220>
 <223> đoạn mồi 579ZMPM0_48F

<400> 157
 atggacccccc gttgttatct 20

<210> 158
 <211> 20
 <212> ADN
 <213> Trình tự nhân tạo

<220>
<223> đoạn mồi 579ZMPM0_48R

<400> 158
gcctgcagac aaattcctgt 20

<210> 159
<211> 20
<212> ADN
<213> Trình tự nhân tạo

<220>
<223> đoạn mồi 579ZMPM0_56F

<400> 159
cctgtcatgg tgggaacaat 20

<210> 160
<211> 20
<212> ADN
<213> Trình tự nhân tạo

<220>
<223> đoạn mồi 579ZMPM0_56R

<400> 160
ctcatcagcg aagcgaaaaaa 20

<210> 161
<211> 20
<212> ADN
<213> Trình tự nhân tạo

<220>
<223> đoạn mồi 579ZMPM0_51F

<400> 161
accctctcct tgctattggc 20

<210> 162
<211> 20
<212> ADN
<213> Trình tự nhân tạo

<220>
<223> đoạn mồi 579ZMPM0_51R

<400> 162
ctccagctct tcgttcggttc 20

<210> 163
 <211> 20
 <212> ADN
 <213> Trình tự nhân tạo

<220>
 <223> đoạn mồi 579ZMPM0_199F

<400> 163
 gcaggctgga caaaaagtgtt 20

<210> 164
 <211> 20
 <212> ADN
 <213> Trình tự nhân tạo

<220>
 <223> đoạn mồi 579ZMPM0_199R

<400> 164
 ttcttttgc ggccttatctg 20

<210> 165
 <211> 20
 <212> ADN
 <213> Trình tự nhân tạo

<220>
 <223> đoạn mồi 579ZMPM0_63F

<400> 165
 atttgcttgg cgttaatcctg 20

<210> 166
 <211> 20
 <212> ADN
 <213> Trình tự nhân tạo

<220>
 <223> đoạn mồi 579ZMPM0_63R

<400> 166
 cagccgtgtt tttctttgct 20

<210> 167
 <211> 20
 <212> ADN
 <213> Trình tự nhân tạo

<220>
<223> đoạn mồi 579ZMPM0_208F

<400> 167
cgcacggatc aagaagagtt 20

<210> 168
<211> 20
<212> ADN
<213> Trình tự nhân tạo

<220>
<223> đoạn mồi 579ZMPM0_208R

<400> 168
caatcgccat gcatactttg 20

<210> 169
<211> 22
<212> ADN
<213> Trình tự nhân tạo

<220>
<223> đoạn mồi 579ZMPM0_206F

<400> 169
atggtacaag tgtcgatccc tc 22

<210> 170
<211> 20
<212> ADN
<213> Trình tự nhân tạo

<220>
<223> đoạn mồi 579ZMPM0_206R

<400> 170
aatgaatcga tgtcgctgg 20

<210> 171
<211> 22
<212> ADN
<213> Trình tự nhân tạo

<220>
<223> đoạn mồi 579ZMPM0_86F

<400> 171
cacaactaaa gagggaaacctg ga 22

<210> 172
 <211> 20
 <212> ADN
 <213> Trình tự nhân tạo

<220>
 <223> đoạn mồi 579ZMPM0_86R

<400> 172
 ggctgacggt ctagtcttcg

20

<210> 173
 <211> 20
 <212> ADN
 <213> Trình tự nhân tạo

<220>
 <223> đoạn mồi 579ZMPM0_79F

<400> 173
 aacccaaatgg ggtcttagcc

20

<210> 174
 <211> 20
 <212> ADN
 <213> Trình tự nhân tạo

<220>
 <223> đoạn mồi 579ZMPM0_79R

<400> 174
 atccgccact ggtcaaaaata

20

<210> 175
 <211> 20
 <212> ADN
 <213> Trình tự nhân tạo

<220>
 <223> đoạn mồi 579ZMPM0_278F

<400> 175
 catcgcaaca tcagcaacat

20

<210> 176
 <211> 20
 <212> ADN
 <213> Trình tự nhân tạo

<220>
<223> đoạn mồi 579ZMPM0_278R

<400> 176
acgtttggtc ccttcattca 20

<210> 177
<211> 20
<212> ADN
<213> Trình tự nhân tạo

<220>
<223> đoạn mồi 579zmpm0_209F

<400> 177
ctgtgcttct ggtgctgaaa 20

<210> 178
<211> 20
<212> ADN
<213> Trình tự nhân tạo

<220>
<223> đoạn mồi 579zmpm0_209R

<400> 178
ctttcccgcc tgtaaatgaa 20

<210> 179
<211> 22
<212> ADN
<213> Trình tự nhân tạo

<220>
<223> đoạn mồi 579ZMPM0_86F

<400> 179
cacaactaaa gagggaaacctg ga 22

<210> 180
<211> 22
<212> ADN
<213> Trình tự nhân tạo

<220>
<223> 579zmpm0_86F

<400> 180
cacaactaaa gagggaaacctg ga 22

<210> 181
 <211> 20
 <212> ADN
 <213> Trình tự nhân tạo

<220>
 <223> đoạn mồi 579zmpm0_87F

<400> 181
 ctcaccccac cctaccctat 20

<210> 182
 <211> 20
 <212> ADN
 <213> Trình tự nhân tạo

<220>
 <223> đoạn mồi 579zmpm0_87R

<400> 182
 ggggagctgt tgaaggaaat 20

<210> 183
 <211> 20
 <212> ADN
 <213> Trình tự nhân tạo

<220>
 <223> đoạn mồi 579zmpm0_91F

<400> 183
 acgtcgatct gcttgctacc 20

<210> 184
 <211> 20
 <212> ADN
 <213> Trình tự nhân tạo

<220>
 <223> đoạn mồi 579zmpm0_91R

<400> 184
 gagaccttagc gatccaacga 20

<210> 185
 <211> 21
 <212> ADN
 <213> Trình tự nhân tạo

<220>
 <223> đoạn mồi 579ZMPM0_216F
 <400> 185
 ctccatagtg tttcgccctt t 21

<210> 186
 <211> 20
 <212> ADN
 <213> Trình tự nhân tạo

<220>
 <223> đoạn mồi 579ZMPM0_216R
 <400> 186
 gccctcaggaa cttaccgact 20

<210> 187
 <211> 20
 <212> ADN
 <213> Trình tự nhân tạo

<220>
 <223> đoạn mồi 579ZMPM0_95F
 <400> 187
 gtcactatac ggagacggcg 20

<210> 188
 <211> 20
 <212> ADN
 <213> Trình tự nhân tạo

<220>
 <223> đoạn mồi 579ZMPM0_95R
 <400> 188
 ctcggccttc aatttgtat 20

<210> 189
 <211> 20
 <212> ADN
 <213> Trình tự nhân tạo

<220>
 <223> đoạn mồi 579ZMPM0_99F
 <400> 189
 agagcaacat gccttgaacc 20

<210> 190
 <211> 20
 <212> ADN
 <213> Trình tự nhân tạo

<220>
 <223> đoạn mồi 579ZMPM0_99R

<400> 190
 gttttgatcc cgaaggccttt 20

<210> 191
 <211> 21
 <212> ADN
 <213> Trình tự nhân tạo

<220>
 <223> đoạn mồi 579ZMPM0_244F

<400> 191
 attcaatgga cacgcaacaa t 21

<210> 192
 <211> 20
 <212> ADN
 <213> Trình tự nhân tạo

<220>
 <223> đoạn mồi 579ZMPM0_244R

<400> 192
 tgtggtgtggg atttttagtgg 20

<210> 193
 <211> 20
 <212> ADN
 <213> Trình tự nhân tạo

<220>
 <223> đoạn mồi 579ZMPM0_241F

<400> 193
 cattcgaaaa tctggccact 20

<210> 194
 <211> 20
 <212> ADN
 <213> Trình tự nhân tạo

<220>
<223> đoạn mồi 579ZMPM0_241R

<400> 194
gccaatggaa tggagaacag

20

<210> 195
<211> 20
<212> ADN
<213> Trình tự nhân tạo

<220>
<223> đoạn mồi 579ZMPM0_109F

<400> 195
gagcaaatca gatgcagcaa

20

<210> 196
<211> 20
<212> ADN
<213> Trình tự nhân tạo

<220>
<223> đoạn mồi 579ZMPM0_109R

<400> 196
tgatgatggc tgttgccag

20

<210> 197
<211> 20
<212> ADN
<213> Trình tự nhân tạo

<220>
<223> đoạn mồi 579ZMPM0_109F

<400> 197
gagcaaatca gatgcagcaa

20

<210> 198
<211> 20
<212> ADN
<213> Trình tự nhân tạo

<220>
<223> đoạn mồi 579ZMPM0_109R

<400> 198
tgatgatggc tgttgccag

20

<210> 199
 <211> 20
 <212> ADN
 <213> Trình tự nhân tạo

<220>
 <223> đoạn mồi 579ZMPM0_247F

<400> 199
 tgcaaccata tgttgatggg 20

<210> 200
 <211> 20
 <212> ADN
 <213> Trình tự nhân tạo

<220>
 <223> đoạn mồi 579ZMPM0_247R

<400> 200
 cagcttgaga caaacgctga 20

<210> 201
 <211> 20
 <212> ADN
 <213> Trình tự nhân tạo

<220>
 <223> đoạn mồi 579ZMPM0_112F

<400> 201
 tgaaaacctt acctgaagcg 20

<210> 202
 <211> 20
 <212> ADN
 <213> Trình tự nhân tạo

<220>
 <223> đoạn mồi 579ZMPM0_112R

<400> 202
 actgcactga tccggacttc 20

<210> 203
 <211> 21
 <212> ADN
 <213> Trình tự nhân tạo

<220>
<223> đoạn mồi 579ZMPM0_125F

<400> 203
tcgaggctaa catggtctct g

21

<210> 204
<211> 21
<212> ADN
<213> Trình tự nhân tạo

<220>
<223> 579ZMPM0_125R

<400> 204
catacacatc atgtcggtccc g

21

<210> 205
<211> 20
<212> ADN
<213> Trình tự nhân tạo

<220>
<223> đoạn mồi 579ZMPM0_253F

<400> 205
ggccggggacg tactagtgtta

20

<210> 206
<211> 20
<212> ADN
<213> Trình tự nhân tạo

<220>
<223> đoạn mồi 579ZMPM0_253R

<400> 206
tggttgtcat catttggcac

20

<210> 207
<211> 21
<212> ADN
<213> Trình tự nhân tạo

<220>
<223> đoạn mồi 579ZMPM0_125F

<400> 207
tcgaggctaa catggtctct g

21

<210> 208
 <211> 21
 <212> ADN
 <213> Trình tự nhân tạo

 <220>
 <223> đoạn mồi 579ZMPM0_125R

 <400> 208
 catacaacttc atgtcgatccc g

21

<210> 209
 <211> 20
 <212> ADN
 <213> Trình tự nhân tạo

 <220>
 <223> đoạn mồi 579ZMPM0_128F

 <400> 209
 gctcaaggcg atacatgctt

20

<210> 210
 <211> 20
 <212> ADN
 <213> Trình tự nhân tạo

 <220>
 <223> 579ZMPM0_128F

 <400> 210
 gctcaaggcg atacatgctt

20

<210> 211
 <211> 16
 <212> ADN
 <213> Trình tự nhân tạo

 <220>
 <223> đoạn mồi 579ZMPM0_136F

 <400> 211
 ggcttgactg taatgg

16

<210> 212
 <211> 20
 <212> ADN
 <213> Trình tự nhân tạo

<220>
<223> đoạn mồi 579ZMPM0_136R

<400> 212
tttctgctca cacttcggtg 20

<210> 213
<211> 25
<212> ADN
<213> Trình tự nhân tạo

<220>
<223> đoạn mồi 579ZMPM0_131F

<400> 213
tcaagcaaac gagactcttc ttgtta 25

<210> 214
<211> 20
<212> ADN
<213> Trình tự nhân tạo

<220>
<223> đoạn mồi 579ZMPM0_131R

<400> 214
tagccatgga cagatcgaca 20

<210> 215
<211> 20
<212> ADN
<213> Trình tự nhân tạo

<220>
<223> đoạn mồi 579ZMPM0_137F

<400> 215
cggacacctgt actccgtcac 20

<210> 216
<211> 20
<212> ADN
<213> Trình tự nhân tạo

<220>
<223> đoạn mồi 579ZMPM0_137R

<400> 216
agaatgtgga ggctacggtg 20

<210> 217
 <211> 20
 <212> ADN
 <213> Trình tự nhân tạo

<220>
 <223> đoạn mồi 579ZMPM0_138F

<400> 217
 taaaaatttag gacttgcccg

20

<210> 218
 <211> 20
 <212> ADN
 <213> Trình tự nhân tạo

<220>
 <223> đoạn mồi 579ZMPM0_138R

<400> 218
 acatctgaac accgcattga

20

<210> 219
 <211> 20
 <212> ADN
 <213> Trình tự nhân tạo

<220>
 <223> đoạn mồi 579ZMPM0_147F

<400> 219
 cttgtggtcc cactccactt

20

<210> 220
 <211> 20
 <212> ADN
 <213> Trình tự nhân tạo

<220>
 <223> đoạn mồi 579ZMPM0_147R

<400> 220
 ttactttcca tggcctccaa

20

<210> 221
 <211> 20
 <212> ADN
 <213> Trình tự nhân tạo

<220>
<223> đoạn mồi 579ZMPM0_145F

<400> 221
tgtgctcggg tattgacgta 20

<210> 222
<211> 20
<212> ADN
<213> Trình tự nhân tạo

<220>
<223> đoạn mồi 579ZMPM0_145R

<400> 222
ccgtcaacct cctccccat 20

<210> 223
<211> 20
<212> ADN
<213> Trình tự nhân tạo

<220>
<223> đoạn mồi 579ZMPM0_262F

<400> 223
ttgctggctt gttatcctcc 20

<210> 224
<211> 20
<212> ADN
<213> Trình tự nhân tạo

<220>
<223> đoạn mồi 579ZMPM0_262R

<400> 224
ccctgtcggtt caaggaaaaaa 20

<210> 225
<211> 20
<212> ADN
<213> Trình tự nhân tạo

<220>
<223> đoạn mồi 579ZMPM0_161F

<400> 225
taggtaacag aattgcgggc 20

<210> 226
 <211> 20
 <212> ADN
 <213> Trình tự nhân tạo

<220>
 <223> đoạn mồi 579ZMPM0_161R

<400> 226
 tttctaaggc atggagtg 20
 c

<210> 227
 <211> 20
 <212> ADN
 <213> Trình tự nhân tạo

<220>
 <223> đoạn mồi 579ZMPM0_265F

<400> 227
 catttcatgg catatgagcg 20
 c

<210> 228
 <211> 20
 <212> ADN
 <213> Trình tự nhân tạo

<220>
 <223> đoạn mồi 579ZMPM0_265R

<400> 228
 ctaaaggccc tgttccagt 20
 c

<210> 229
 <211> 20
 <212> ADN
 <213> Trình tự nhân tạo

<220>
 <223> ZNF1_GH034_F_Đoạn mồi

<400> 229
 tggttggtgt cgaagctgag 20
 c

<210> 230
 <211> 20
 <212> ADN
 <213> Trình tự nhân tạo

<220>		
<223> ZNF1_GH033_R_Đoạn mồi		
<400> 230		20
atttatcccg gcctttgcat		
<210> 231		
<211> 22		
<212> ADN		
<213> Trình tự nhân tạo		
<220>		
<223> HYD_GH039_F_Đoạn mồi		
<400> 231		22
gatctacagg gaagccccact ga		
<210> 232		
<211> 25		
<212> ADN		
<213> Trình tự nhân tạo		
<220>		
<223> HYD_GH040_R_Đoạn mồi		
<400> 232		25
tttttccttg aggcaagttat atgct		
<210> 233		
<211> 17		
<212> ADN		
<213> Trình tự nhân tạo		
<220>		
<223> RLK4_GH220_F_Đoạn mồi		
<400> 233		17
ttgtgcagcg gagggaa		
<210> 234		
<211> 19		
<212> ADN		
<213> Trình tự nhân tạo		
<220>		
<223> RLK4_GH221_R_Đoạn mồi		
<400> 234		19
ccagggcacc agcaagaat		

<210> 235
 <211> 19
 <212> ADN
 <213> Trình tự nhân tạo

<220>
 <223> EXT1_GH168_F_Đoạn mồi

<400> 235
 cgactacaag acgcgtacc 19

<210> 236
 <211> 19
 <212> ADN
 <213> Trình tự nhân tạo

<220>
 <223> EXT1_GH170_R_Đoạn mồi

<400> 236
 ggtgtcgatg gtgaggttc 19

<210> 237
 <211> 20
 <212> ADN
 <213> Trình tự nhân tạo

<220>
 <223> RLK1_GH138_F_Đoạn mồi

<400> 237
 tatttgttggt gctgttgccg 20

<210> 238
 <211> 20
 <212> ADN
 <213> Trình tự nhân tạo

<220>
 <223> RLK1_GH139_R_Đoạn mồi

<400> 238
 ggactcaatc cttgtccctg 20

<210> 239
 <211> 20
 <212> ADN
 <213> Trình tự nhân tạo

<220>
<223> RET1_GH055_F_Đoạn mồi

<400> 239
cgctcgtttg ccagatagcc 20

<210> 240
<211> 20
<212> ADN
<213> Trình tự nhân tạo

<220>
<223> RET1_GH056_R_Đoạn mồi

<400> 240
cacgggtgtgt gccagtttgt 20

<210> 241
<211> 42
<212> ADN
<213> Trình tự nhân tạo

<220>
<223> MA0021 Alen của đoạn mồi X

<400> 241
gaagggtgacc aagttcatgc tgagctcatc tcgtccaagc cc 42

<210> 242
<211> 42
<212> ADN
<213> Trình tự nhân tạo

<220>
<223> MA0021 Alen của đoạn mồi Y

<400> 242
gaagggtcgga gtcaacggat tgagctcatc tcgtccaagc cg 42

<210> 243
<211> 19
<212> ADN
<213> Trình tự nhân tạo

<220>
<223> MA0021 đoạn mồi gemeinsamer

<400> 243
cgctgcggtg ccgggtgat 19

<210> 244		
<211> 47		
<212> ADN		
<213> Trình tự nhân tạo		
<220>		
<223> MA0022 Alen của đoạn mồi X		
<400> 244		47
gaaggtgacc aagttcatgc tcaccaacac aatagtcgtc caaatgt		
<210> 245		
<211> 46		
<212> ADN		
<213> Trình tự nhân tạo		
<220>		
<223> MA0022 Alen của đoạn mồi Y		
<400> 245		46
gaaggtcgga gtcaacggat taccaacaca atagtcgtcc aaatgc		
<210> 246		
<211> 25		
<212> ADN		
<213> Trình tự nhân tạo		
<220>		
<223> MA0022 đoạn mồi gemeinsamer		
<400> 246		25
cagccaatat ttccctcagt ggctt		
<210> 247		
<211> 24		
<212> ADN		
<213> Trình tự nhân tạo		
<220>		
<223> Đoạn mồi MA04916-6f		
<400> 247		24
tgtttcagga atcacgcaac tgga		
<210> 248		
<211> 22		
<212> ADN		
<213> Trình tự nhân tạo		

<220>
<223> Đoạn mồi MA04916-6r

<400> 248
gcaccacgcc atgaccaaca tc 22

<210> 249
<211> 22
<212> ADN
<213> Trình tự nhân tạo

<220>
<223> Đoạn mồi TG10013-10.f

<400> 249
cttcctacag aagaacgaga gt 22

<210> 250
<211> 21
<212> ADN
<213> Trình tự nhân tạo

<220>
<223> Đoạn mồi TG10013-11.r

<400> 250
ttcctcacga gctctgtggc c 21